

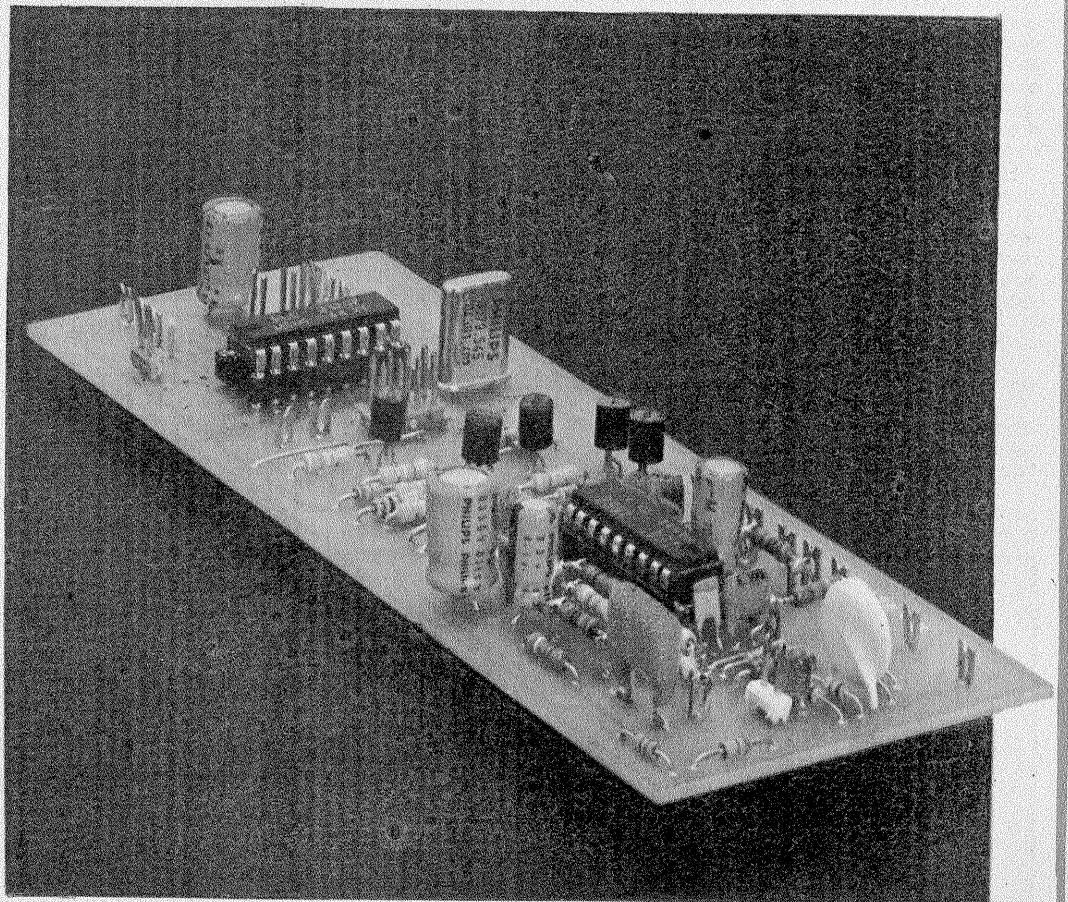
# Tehniium

REVISTĂ LUNARĂ EDITATĂ DE C.C. AL U.T.C. ANUL XX - NR. 229 **12/89**

## CONSTRUCTII PENTRU AMATORI

### SUMAR

<b>LUCRAREA PRACTICĂ DE BACALAUREAT</b> ..... pag. 2-3	
Sursă de tensiune stabilizată	
<b>INIȚIERE ÎN RADIOELECTRONICĂ</b> ..... pag. 4-5	
Barieră IR Telecomandă pornit/oprit A.B.C.	
<b>CQ-YO</b> ..... pag. 6-7	
Merită oare să mărim puterea?	
<b>HI-FI</b> ..... pag. 8-9	
Controlul digital al tonului	
<b>ATELIER</b> ..... pag. 10-11	
Automat de cuplare Fonocardiograf Convertor	
<b>TV-DX</b> ..... pag. 12-13	
Recepția în banda SHF	
<b>INFORMATICĂ</b> ..... pag. 14-15	
Interconectarea HC 85 cu un microcalculator Calculatorul electronic între două generații	
<b>LA CEREREA CITITORILOR</b> ..... pag. 16-17	
Introducere în televiziune	
<b>CITITORII RECOMANDĂ</b> ..... pag. 18-19	
Utilizarea circuitului C520 Preamplificator Adaptare	
<b>FOTOTEHNICĂ</b> ..... pag. 20-21	
Pentru aparatul de fotografiat Dispozitiv pentru copiat film Știți ce este JCII?	
<b>REVISTA REVISTELOR</b> ..... pag. 22	
Amuzament Amplificator Receptor SSB Generator	
<b>PUBLICITATE</b> ..... pag. 23	
Întreprinderea MICROELECTRONICA	
<b>SERVICE</b> ..... pag. 24	
Radioreceptorul MADRIGAL-2	



## CONTROLUL DIGITAL AL TONULUI

(CITIȚI ÎN PAG. 8-9)



# LUCRAREA PRACTICĂ DE BACALAUREAT

## SURSĂ DE TENSIUNE STABILIZATĂ

Student **BOGDAN KUCINSCHI**

Este bine cunoscut faptul că în lucrările de laborator este necesară o sursă de tensiune continuă stabilizată, reglabilă și protejată la suprasarcină și scurtcircuit.

Nu vom insista asupra necesității sursei, ci asupra unor caracteristici ca factorul de stabilizare, reglarea precisă a tensiunii de ieșire și în special protecția.

Se știe că accidentele cele mai frecvente și mai periculoase sînt scurtcircuiturile în impuls, avînd ca urmare străpungerea joncțiunilor emitor-colector ale tranzistorului elementului serie. În aceste situații siguranța, chiar bine calibrată, este ineficace datorită inerției termice mari în comparație cu timpul de străpungere a joncțiunilor.

Literatura de specialitate pune la dispoziție celor interesați o mulțime de date, scheme și montaje în acest sens. Dar cum totul este perfectibil, prezentăm în cele ce urmează o sursă de tensiune continuă stabilizată, reglabilă, cu protecție totală, cu performanțe comparabile cu ale celor de producție industrială.

Originalitatea montajului prezentat rezidă din următoarele aspecte:  
 — sursa este prevăzută, în afara elementului de referință, cu preregulator, ceea ce conferă o stabilitate excelentă a tensiunii la ieșire;  
 — protecția ultrarapidă la suprasarcină ( $I_{max}$  reglat), realizată cu tristor, exclude posibilitatea scurt-

circuitului propriu-zis (o dată pragul curentului limită atins, sursa se deconectează, tensiunea la ieșire devine nulă, fapt semnalizat de un LED, iar repunerea în funcțiune se face prin apăsarea butonului de avarie);

— introducerea reglajului fin, notat cu  $\pm \Delta V$ , permite reglarea precisă a tensiunii la ieșire, reglaj absolut necesar la tensiuni cuprinse între 15 și 22 V;

— extensia scalei instrumentului de măsură, realizată electronic, permite citirea exactă a tensiunii, în două trepte (de două ori pe aceeași scală), cu un singur instrument, de sensibilitate și gabarit redus.

Dintre avantajele schemei, ce pot fi asimilate cu caracteristicile tehnice, menționez:

- plaja largă a tensiunilor de debit,  $U = 1,8 \div 22$  V;
- curentul admisibil de valoare relativ mare,  $I_{max} = 1$  A ( $I_{max}$  este curentul limită de protecție la care deconectează sursa și rămîne același pentru oricare tensiune de lucru reglată);
- $I_{max}$  poate fi ajustat în limitele 0,3—1 A dacă lucrările o impun;
- protecția la suprasarcină și scurtcircuit cu tristor, eficientă;
- factorul de stabilizare,  $K \geq 1500$ ;
- rezistența de ieșire,  $R_i \leq 0,1 \Omega$ ;
- onduțațiile la ieșire  $\leq 5$  mV;
- citirea comodă și precisă a

tensiunii de lucru reglate în treptele 1,8 ÷ 10 V și 9 ÷ 22 V;  
 — gabarit redus.

### DESCRIEREA ȘI MODUL DE FUNCȚIONARE

Sursa de tensiune stabilizată are schema prezentată în figura 1 și este alcătuită din următoarele părți:

- blocul de alimentare;
- elementul regulator serie;
- preregulatorul;
- amplificatorul de eroare;
- elementul de protecție la supra-curent și scurtcircuit;
- sistemul de semnalizare a avariei (intrarea în funcțiune a protecției);
- montajul de extensie a scalei și instrumentul de măsură.

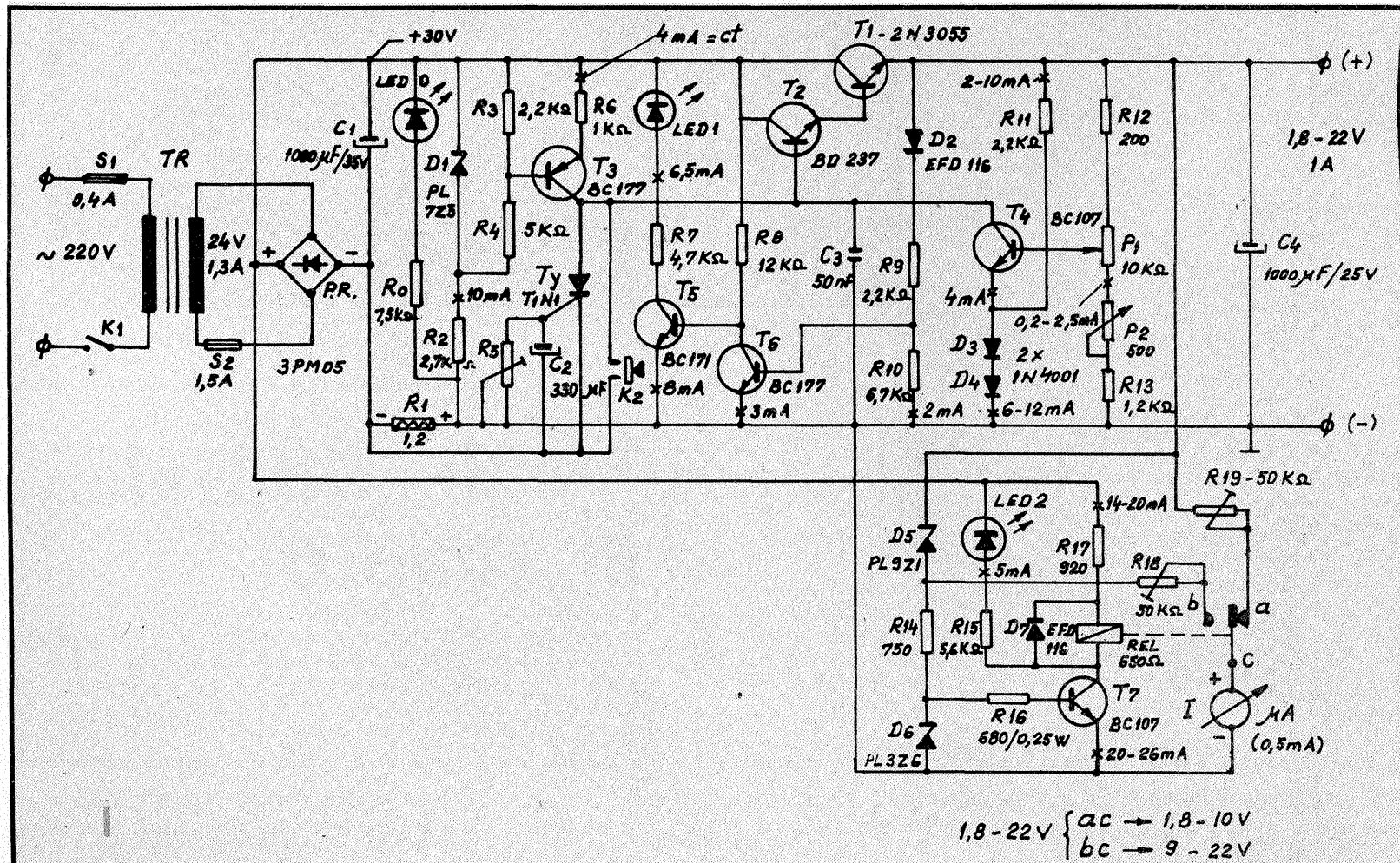
**Blocul de alimentare**, realizat cu transformatorul de rețea TR, puntea redresoare PR de tipul 3PM05 și condensatorul de filtraj C1, de 1000  $\mu$ F/35 V, este clasic și furnizează tensiunea necesară de 30 V la un curent de 1,3 A. Transformatorul TR este confecționat din tole E+I din ferossiliciu, debitează 24 V la 1,3 A și este protejat de siguranțele S<sub>1</sub> (0,4 A) și S<sub>2</sub> (1,25—1,5 A) în eventualitatea străpungerii condensatorului C<sub>1</sub> sau a punții redresoare.

**Elementul regulator serie** este realizat cu tranzistoarele T1 (2N3055 pe radiator) și T2 (BD237), montate în conexiune Darlington.

**Preregulatorul** este realizat cu tranzistorul T3 (BC177), dioda Zener PL7V5Z și grupul de rezistoare R3, R4 și R6; el constituie un generator de curent constant, conferind schemei proprietăți deosebite. Grație prezenței diodei Zener D1, tensiunea bazei lui T3, dată de divizorul R3, R4, este menținută la o valoare constantă. Din această cauză curentul prin T3 și deci și curentul din colectorul lui T4 este menținut constant, lucru care conferă avantajele:

- tensiunea la ieșire este practic independentă de variațiile tensiunii de intrare (pe un domeniu foarte larg de tensiuni de intrare, tensiunea la ieșire este, în aceste condiții, menținută practic constantă);
- tensiunea de pulsație este redusă la o valoare foarte mică (de ordinul milivolților);
- impedanța de ieșire a generatorului de curent constant, realizat cu T3, fiind practic infinită, amplificarea lui T4 este mult mărită;
- regimul de stabilizare al elementului de referință (D3, D4) este substanțial îmbunătățit.

**Amplificatorul de eroare** este realizat cu un singur tranzistor T4 (BC107). Pentru a preveni apariția oscilațiilor datorită amplificării mari, în acest etaj între colectorul tranzistorului T4 și masă este montat condensatorul C3. Pentru a obține o tensiune de referință mică (în acest caz 1,5 V), în scopul lărgirii plajei de



tensiune reglată, știut fiind faptul că tensiunea minimă la ieșire este cu puțin mai mare decât tensiunea elementului de referință, precum și dificultatea procurării unor diode Zener de tensiune mică, am utilizat ca element de referință două diode cu siliciu D3, D4 de tipul 1N4001 înseriate, polarizate direct.

**Protecția la supracurent și scurtcircuit** este realizată cu tiristorul Ty de tipul T1N1 (1 A la 100 V) și componentele aferente R1, R5 și C2.

Acest etaj constituie unul din elementele de originalitate a lucrării, sugerând și ideea denumirii „cu protecție totală”. Astfel, la o creștere a curentului în circuitul de sarcină peste limita reglată ( $I_{max}$  în acest caz se poate ajusta în limitele 0,3 — 1 A), elementul de protecție intră în funcțiune, blocând total sursa, efectul fiind anularea tensiunii la ieșire, stare ce poate fi menținută timp nelimitat. Restabilirea funcționării este posibilă prin apăsarea butonului de avarie K2. Tensiunea între anodul și catodul tiristorului devine zero, tiristorul se blochează, iar sursa revine la starea inițială.

Modul de funcționare a etajului de protecție este relativ simplu. Pe R1 (1—1,2  $\Omega$ ), confecționată din sirmă de kanthal cu  $\varnothing = 0,6$  mm, se obține o cădere de tensiune proporțională cu curentul absorbit de sarcină. Prin R5 (potențiomtru ajustabil de 1 k $\Omega$ ) tensiunea se aplică pe poarta tiristorului Ty. Când curentul absorbit depășește valoarea stabilită cu R5 (caz de suprasarcină), Ty se deschide și, intrând în conducție, pune la masă baza tranzistorului T2, iar acesta, la rândul său, blochează tranzistorul de putere T1 (elementul serie). Astfel, circuitul de alimentare se întrerupe, iar tensiunea la ieșire scade pînă la anularea.

O particularitate a protecției cu tiristor este sensibilitatea mare și deschiderea instantanee și totală (ultrarapidă) a acestuia la atingerea curentului limită ( $I_{max}$ , reglat) din circuitul de sarcină. Faptul devine un inconvenient cînd avem la ieșire condensatorul de filtraj C4 de capacitate mare, sau un consumator cu reactanță capacitivă apreciabilă. La pornire condensatorul descărcat absoarbe un curent mare în timp foarte scurt, suficient ca protecția să intre în funcțiune și să blocheze sursa. Remediu constă în introducerea în circuitul de poartă al tiristorului a unei constante de timp RC care să întîrzie deschiderea tiristorului un timp foarte scurt, suficient pentru încărcarea condensatorului de la ieșire. Astfel, rolul lui R5 și C2 (220—470  $\mu$ F/3 V) este de constantă de timp RC. Din R5, pentru C2 = constant, se reglează pragul de deschidere a tiristorului, respectiv curentul limită ( $I_{max}$ ) de protecție.

Astfel, de exemplu, pentru C2 = 300  $\mu$ F/3 V, curentul limită de protecție ( $I_{max}$ ) în funcție de valoarea lui R5 este:

- pentru R5 = 800  $\Omega$ ,  $I_{max}$  = 1 A;
- pentru R5 = 600  $\Omega$ ,  $I_{max}$  = 0,7 A;
- pentru R5 = 400  $\Omega$ ,  $I_{max}$  = 0,6 A.

Deci prin ajustarea valorii lui R5 se stabilește curentul limită de protecție.  $I_{max}$  crește cu mărirea lui R5.

Cu valorile din schemă  $I_{max}$  = 1 A, iar capacitatea montată la ieșire, fără ca protecția să intre în funcțiune, este  $\leq 8$  000  $\mu$ F.

Dintre particularitățile esențiale ale schemei de protecție cu tiristor, care devin avantaje, enumerăm următoarele:

- la atingerea curentului limită de protecție reglat, blocarea sursei se produce instantaneu, total și sigur (protecție ultrarapidă);
- practic curentul de scurtcircuit este identic cu curentul limită de protecție ( $I_{max}$ );
- blocarea sursei sub aspectul solicitării este similară cu funcționarea, cel mult, în gol a tuturor componentelor schemei;
- permite restabilirea funcțio-

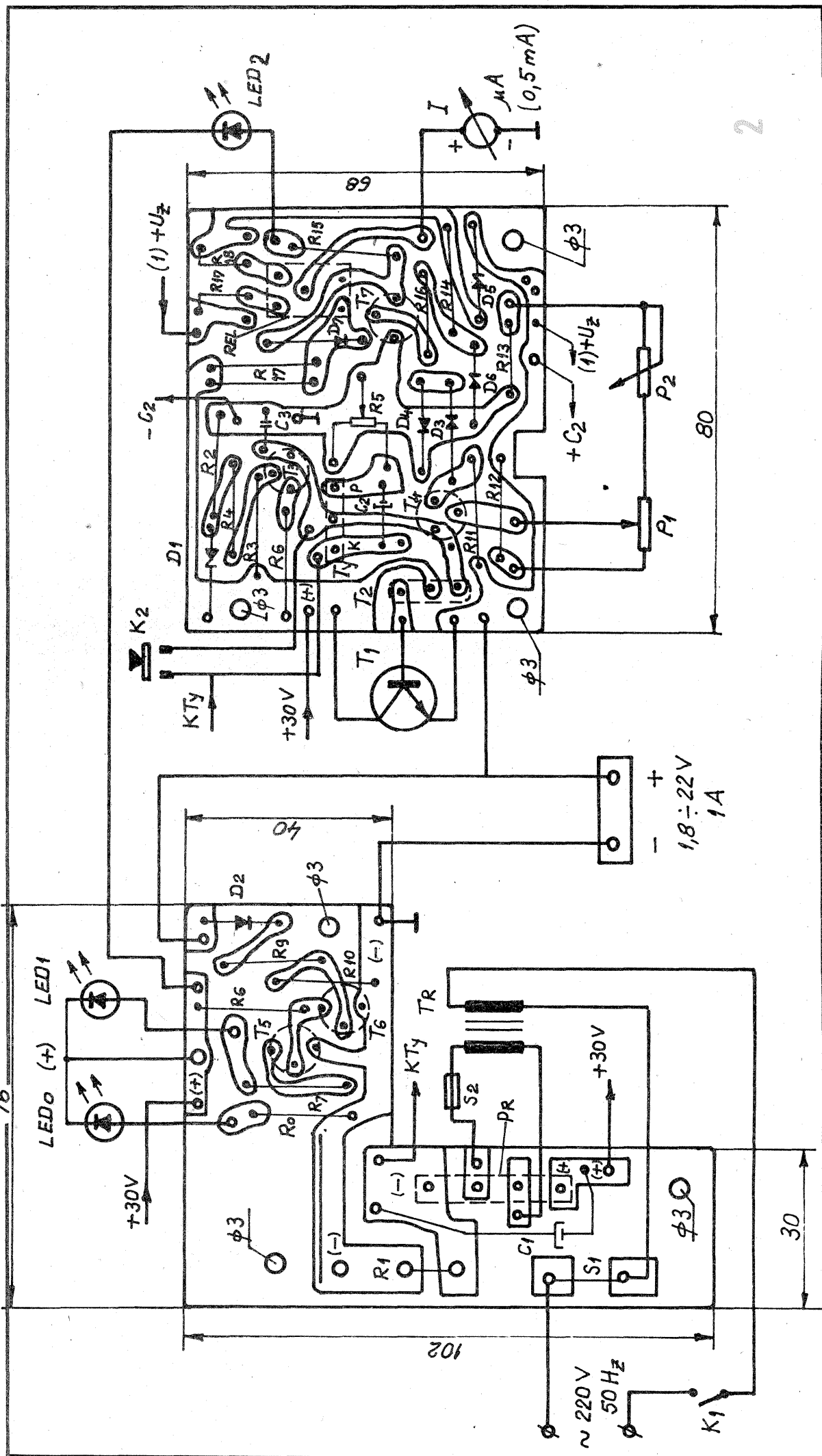
nării, prin apăsarea butonului de avarie K2, la orice valoare a curentului din circuitul de sarcină cuprinsă în domeniul reglat ( $I_s \leq I_{max}$ ), deci pornire în sarcină.

**Sistemul de semnalizare a avariei** sau intrarea în funcțiune a elemen-

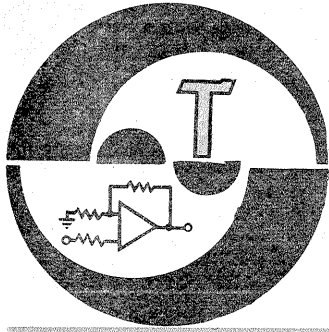
tului de protecție este realizat cu dioda cu germaniu D2 de tipul EFD, tranzistoarele T5, T6 (2 x BC171) și dioda LED-1. Principiul de funcționare este simplu. Cît timp exista tensiune la ieșire, dioda D2 conduce ( $U_{iesire} \geq 0,3$  V), divizorul de

tensiune format din rezistoarele R9, R10 polarizează baza lui T6, menținînd tranzistorul saturat, iar T5 blocat.

(CONTINUARE ÎN PAG. 13)







# INITIERE IN RADIOELETRONICĂ

## BARIERĂ IR

(URMARE DIN NR. TRECUT)

Constructorii amatori care experimentează astfel de montaje se confruntă însă cu un impediment supărător, anume faptul că majoritatea dispozitivelor receptoare IR de uz curent (fotodiode, fototranziatoare, celule fotovoltaice, LED-uri polarizate invers etc.), chiar dacă prezintă un maxim al curbei de sensibilitate în domeniul infraroșului apropiat (de regulă între 800 și 900 nm), manifestă o sensibilitate apreciabilă și în domeniul vizibil, ceea ce impune luarea unor măsuri adeseori complicate de „ecranare” optică sau compensare. Din acest motiv tot mai frecvent se întâlnesc schemele în care „lumina” infraroșie de comandă este transmisă de către emițător sub un anumit cod, de regulă prin modulare în frecvență, iar receptorul este la rândul său echipat cu un bloc adecvat de decodificare, amplasat între elementul de recepție propriu-zis și partea de comandă.

Un exemplu clasic de acest fel îl reprezintă bariera IR, destinată supravegherii unei căi de acces spre un obiectiv oarecare și având sarcina

de a avertiza (sonor sau prin aite mijloace dorite) de fiecare dată când calea păzită este traversată de către un obiect opac.

Pentru ca nivelul iluminării ambiante a elementului receptor să nu ne deranjeze (mai bine zis să poată fi ușor compensat, într-o plajă largă de iluminare), fasciculul IR ce constituie „bariera” nu se trimite ca un flux continuu, cu intensitate constantă, ci sub forma unui tren de impulsuri scurte cu frecvență constantă. De exemplu, elementul emițător (LED-IR) poate fi comandat prin intermediul unui multivibrator cu frecvență foarte stabilă; vom reveni asupra acestui aspect mai departe.

În acest caz, receptorul trebuie să fie capabil să deceleze — indiferent de gradul de iluminare ambiantă — prezența trenului de impulsuri la nivelul suprafeței elementului său fotosensibil, iar în cazul absenței acestui semnal să declanșeze avertizarea dorită.

Există două căi principale de a realiza demodularea la recepție, anume captarea globală a impulsurilor emise, prin metodele specifice

de prelucrare a semnalelor alternative, separarea de componenta continuă (iluminarea ambiantă) efectuându-se prin decuplaje capacitive și, respectiv, captarea individuală a fiecărui impuls, prin circuite adecvate de comutație cu cuplaje galvanice.

Vom începe tratarea propriu-zisă a subiectului enunțat printr-un exemplu practic din cea de-a doua categorie, redat în figura 1. Alegerea nu este întâmplătoare, deoarece receptorul face apel la aplicația circuitului integrat  $\beta E555$  ca detector de lipsă de impuls, tratată în articolul „Indicator de viteză CW” din nr. trecut.

Observăm că partea de la ieșire este practic aceeași, cu deosebirea că s-au suprimat aici cele două LED-uri indicatoare de stare împreună cu rezistențele lor de alimentare. În partea de comandă a intrării PJ s-a înlocuit însă tranzistorul unic (T1 din aplicația precedentă, fig. 3) printr-un circuit basculant de tip trigger Schmitt, realizat cu T1, T2 și piesele aferente.

Să urmărim modul de funcționare, presupunând pentru început că elementul receptor IR (aici fototranzistorul FT, de tip ROL31) primește neîntrerupt trenul de impulsuri trimis de emițător. În ritmul acestor impulsuri, tranzistorul T1 este blocat, iar T2 este simultan adus în conducție la saturație, în colectorul său obținându-se astfel semnalul Vi necesar pentru comanda intrării PJ a lui  $\beta E555$ : un tren de impulsuri negative scurte, cu frecvența de repetiție constantă.

Prin manevrarea potențiometrului P2 ne asigurăm că în această situație ieșirea lui  $\beta E555$  să se afle la nivelul „sus”, deci T4 blocat și releul în repaus.

Procedăm acum la obtinerea „barierii”, intercalând pentru o durată de cca 0,2—0,3 s, între emițător și receptor (pe axa lor optică), un obiect opac, de exemplu palma unei mâini. În funcție de frecvența de re-

petiție a impulsurilor (orientativ 5—10 pe secundă), unul sau mai multe impulsuri succesive vor dispărea astfel din tren, mai bine zis nu vor mai putea ajunge la elementul receptor.

Fototranzistorul va rămâne pe această durată de timp blocat, tranzistorul T1 va conduce (reglaj din P1) suficient pentru a-l menține blocat pe T2, deci baza tranzistorului T3 nu va mai primi trenul de impulsuri negative. Tranzistorul T3 rămânând astfel blocat un timp mai îndelungat decât durata critică stabilită din P2, condensatorul C1 va „apuca” să se încarce pînă la pragul de 0,66 V, determinând bascularea ieșirii lui  $\beta E555$  la nivelul „jos”. Cu ajustarea adecvată a lui R8, tranzistorul T4 va intra în conducție, ducând la anclanșarea releului; acesta, la rândul său, va acționa dispozitivul de avertizare dorit, pe care nu l-am mai figurat pentru simplificarea schemei. De exemplu, dacă avertizorul se alimentează de la aceeași sursă V și dacă se dorește acționarea sa cu automenținere nelimitată, conexiunile se pot face ca în detaliul din figura 2. Ambele perechi de contacte ale releului (k1, k2) vor fi în acest caz normal deschise. Un buton suplimentar, B, cu contacte normal închise, este util pentru blocarea avertizorului.

Cu valorile pieselor indicate în figura 1 (eventual mici rețușuri pentru R1 și R3), montajul s-a dovedit experimental suficient de sensibil pentru a fi comandat de la o distanță maximă de cel puțin 5—6 m.

Înainte de a vă propune o altă variantă de „receptor”, să facem câteva precizări în legătură cu „emițătorul”. După cum am menționat deja, el trebuie să genereze un tren continuu de impulsuri scurte în infraroșu, cu perioada de repetiție suficient de constantă. Frecvența impulsurilor nu este critică, deoarece prin manevrarea lui P2 (eventual și prin ajustarea valorii lui C1), avem posibilitatea de „sincronizare” într-o gamă foarte largă, de la fracțiuni de hertz pînă la ordinul kilohertziilor. Să presupunem, de exemplu, că am ales o frecvență a emițătorului de cca 5 impulsuri pe secundă, valoare ce se poate dovedi prea mică pentru unele situații practice, dar care nu permite urmărirea vizuală a modului de funcționare.

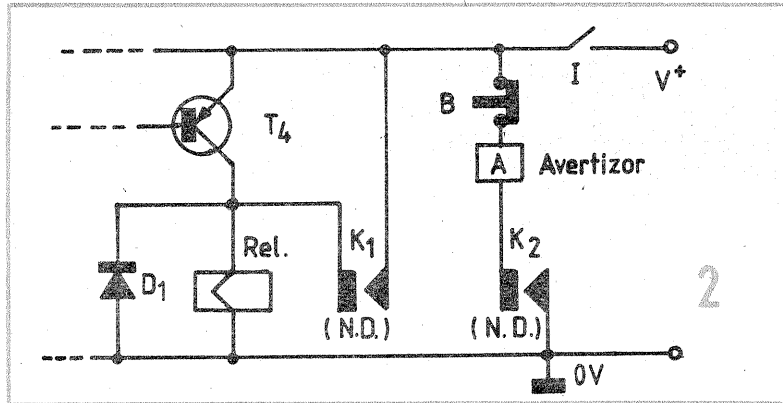
(CONTINUARE ÎN NR. VIITOR)

este reamintită schema de principiu a circuitului basculant bistabil realizat cu tranzistoare. Începătorilor care nu au întâlnit încă acest montaj le recomandăm chiar să-l improvizăm experimental, pentru o mai bună fixare. Se pot folosi orice tranzistoare npn cu siliciu, de mică putere, cu factorul beta de cel puțin 150, nu neapărat imperecheate. Butoanele B1 și B2 sînt fără reținere, cu contacte normal deschise (gen buton de sonerie).

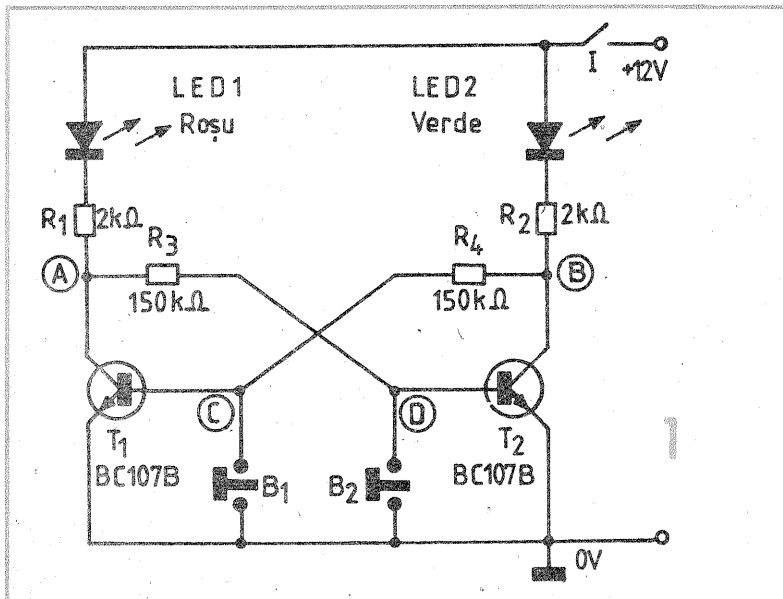
La alimentarea montajului, prin închiderea întrerupătorului I (butoanele B1 și B2 fiind neapăsate), observăm că unul din LED-uri se aprinde, iar celălalt rămîne în continuă stins. Situația se menține un timp nelimitat, deci avem de-a face cu o stare stabilă.

Este practic imposibil să deducem anticipat care LED se va aprinde — de fapt, nici nu ne interesează deocamdată —, situația fiind determinată de nesimetria inevitabilă a componentelor din cele două „brațe” ale circuitului (în primul rînd neidentitatea parametrilor interni ai celor două tranzistoare).

Să presupunem, de exemplu, că s-a aprins LED-ul roșu (1), ceea ce



## TELECOMANDĂ PORNIT/OPRIT

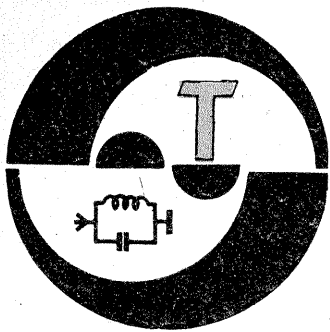


Propunem constructorilor începători, ca pretext pentru familiarizarea lor cu circuitul basculant bistabil, un montaj simplu de telecomandă în infraroșu, care permite pornirea, respectiv oprirea de la distanță, a unui consumator electric (televizor, casetofon, videocasetofon, ventilator etc.). El este conceput pentru acționarea de la o distanță maximă de cel puțin 6—8 m, utilizînd undele electromagnetice din domeniul infraroșului apropiat, dar se dovedește suficient de sensibil și în domeniul vizibil. Semnalul de comandă poate fi astfel și un impuls luminos scurt, obținut de la o lanternă de buzunar cu focalizare bună, eventual supravoltînd ușor becul acestuia (de exemplu, bec de 2,2—2,5 V alimentat un timp scurt la o tensiune de 4,5 V). Firește, acționarea în infraroșu este mai eficientă și mai „spectaculoasă”, necesitînd însă un LED-IR cu directivitate bună, cu un curent maxim admis de 30 ÷ 100 mA.

Să urmărim întîi figura 1, în care







EQ-48



# MERITĂ OARE SĂ MĂRIM PUTEREA?

Prof. N. CODĂRNAI YO3ZM

Iată o întrebare la care se pot da cel puțin două răspunsuri: da și nu.

De ce da? În primul rând pentru că marea masă a radioamatorilor sînt dornici de a lucra în condiții sigure DX-uri, pe de o parte, iar pe de altă parte pentru că în cazul participării la competițiile internaționale de an-vergură, datorită regulamentului, radioamatorii noștri sînt handica-

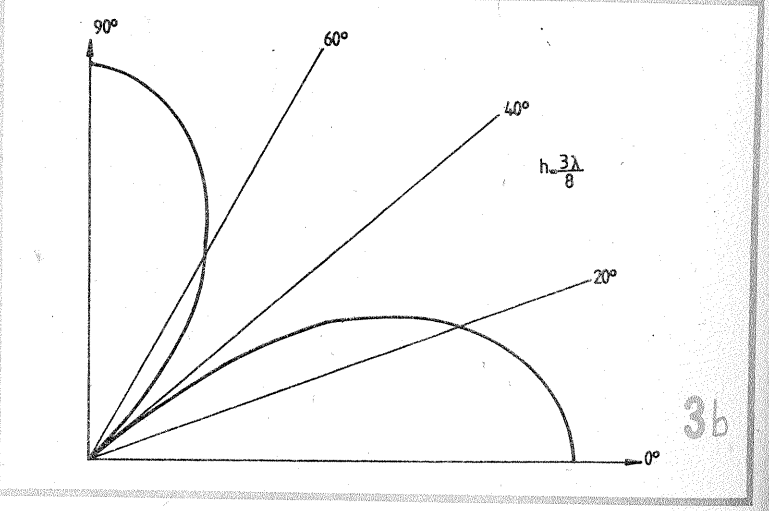
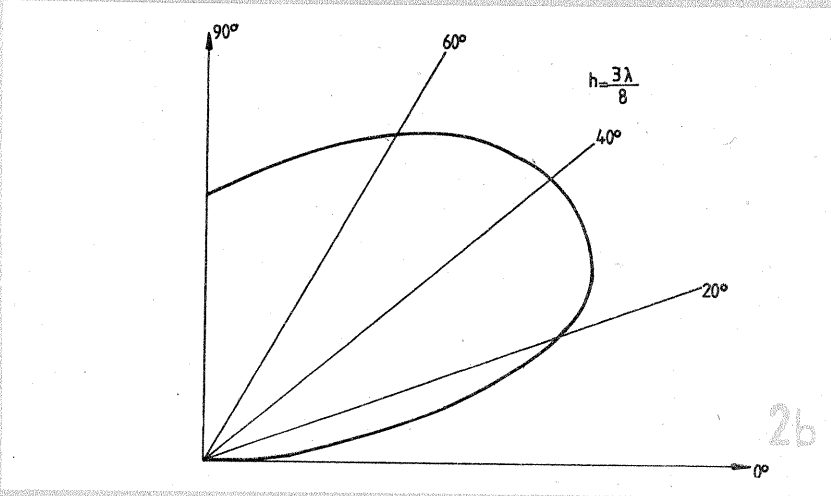
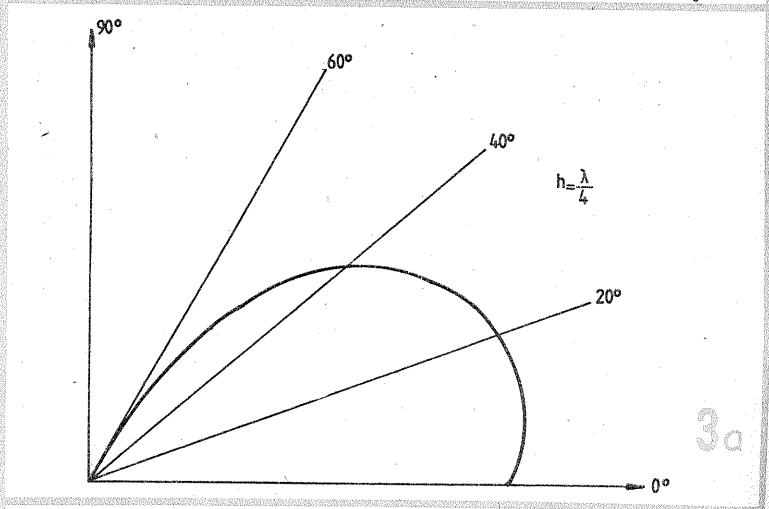
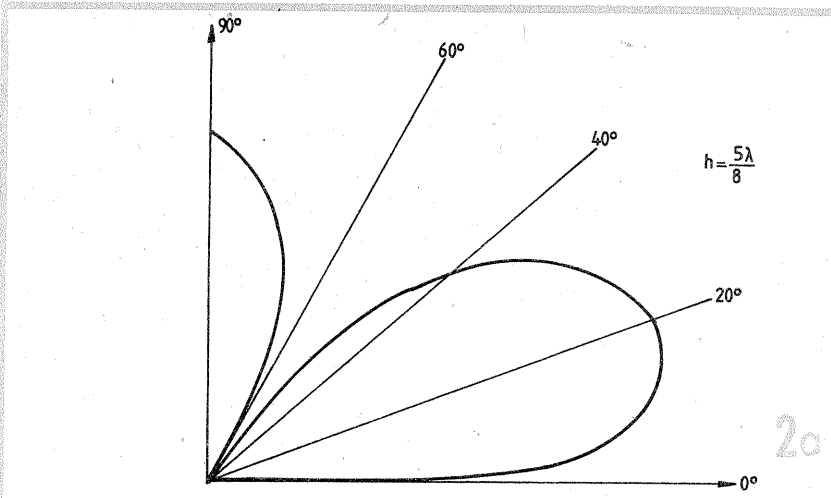
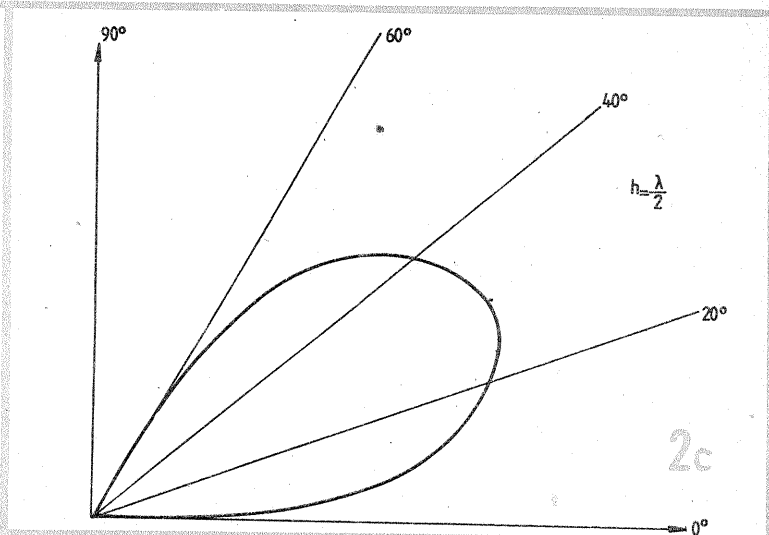
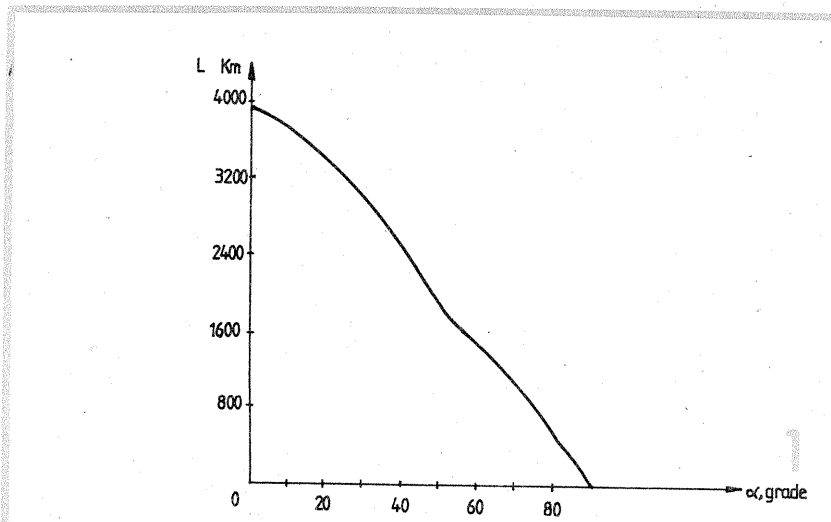
pați față de ceilalți radioamatori pe care-i favorizează regulamentele lor. Or, în aceste condiții, radioamatorii din R.S.R. greu pot ajunge în virful unor clasamente sportive, cu toată măiestria de care ar putea și pot da dovadă, dacă nu sînt ajutați și de dotarea tehnică. Sînt radioamatori care caută și experimentează scheme ce vin în ajutorul lor

pentru optimizarea aparaturii și pun mare accent pe RX și antene. Este de altfel știut că aportul într-un QSO îl are 50% RX-ul, 30% antenele și numai 20% TX-ul.

Ideea lansată de YO4HW de a se lucra în miniconcursuri interne cu stații ce nu depășesc 5 W input mi se pare mai mult decît interesantă.

Pe de altă parte, revenind la pu-

teri, o stație în afara celor de club care să depășească 2 kW nu-și are sens; să ne gîndim doar la cîțiva factori reali: instalația electrică a casei din care să se alimenteze o astfel de stație este oare concepută să mai suporte încă 2 ÷ 3 kW în plus? Sa presupunem că da. Tuburile finale ale unei astfel de stații sînt totuși o problemă... nu? Gabaritul stației nu





va fi deloc mic, transformatoarele de asemenea, condensatoarele celei redresoare idem și să nu uităm ca o astfel de stație poate crea perturbații radioelectrice pe care foarte greu le putem înlătura.

Pledoaria pentru a se lucra în timpul zilei în QSO-urile din țară și chiar din afara ei o fac pentru un motiv legat mai mult de tehnicizarea și optimizarea instalațiilor QRP pe de o parte, iar pe de alta pentru a ne crea antene cu câștig bun și bine adaptate, cât și pentru evitarea interferențelor TVI. Vom ține seama și de faptul că intensitatea cîmpului la locul recepției depinde de puterea emițătorului, dar această dependență nu este liniară — mărirea puterii nu produce proporțional mărirea intensității cîmpului. De asemenea, nu există o dependență directă între putere și legătura sigură.

În practică este știut — de exemplu — că pentru mărirea puterii de 30 de ori, eficacitatea legăturilor sigure crește doar de 3,5 ori. În cazurile de absorbție puternică, stații chiar de 15 kW abia reușesc să asigure legături eficiente doar în proporție de 30%; 500 W sînt suficienți pentru legături cu o eficiență de 20%.

Pe de altă parte, ridicarea intensității cîmpului la locul recepției se poate face și pe altă cale — utilizarea unor antene mult mai eficiente. În condițiile de radioamator aceasta metodă este cea mai rațională, dacă nu și unicul mijloc de a se ajunge la performanțe.

În cazurile legăturilor la distanță se folosesc reflexiile undelor radio de ionosferă și de suprafața Pămîntului.

La fiecare astfel de reflexie o parte din energie se pierde, de aceea cu cît sînt mai puține reflexii pe drumul undelor, cu atît mai multă energie radiată de emițător va excita antena de recepție a corespondentului.

În figura 1 este arătată dependența aproximativă a distanței de acoperire — în cazul unei singure reflexii de ionosferă — de unghiul de reflexie  $\alpha$  (graficul este compus pentru stratul ionosferic care se află la înălțimea de 330 km).

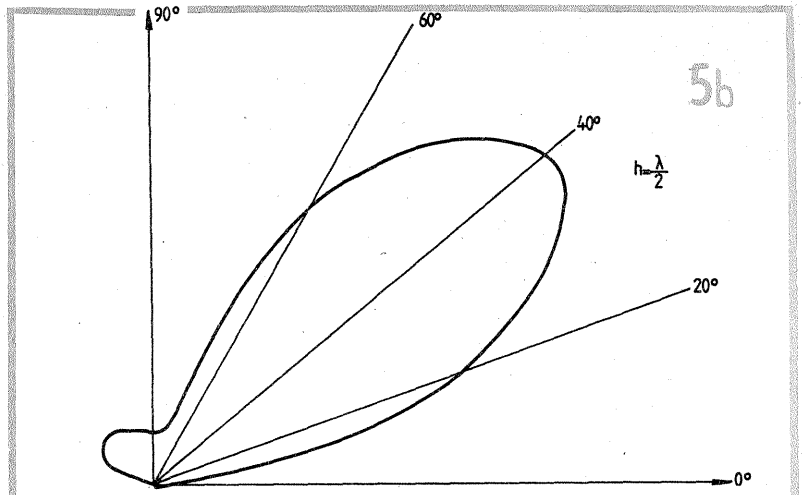
Din acest grafic se poate vedea că antena cea mai eficace pentru legăturile la mari distanțe este aceea care radiază sub unghi mic față de orizont.

În figurile 2—6 sînt date diagramele de directivitate în plan vertical pentru înălțimi efective (h) la cîteva tipuri de antene folosite de radioamatori. În figura 2 — dipolul (W3DZZ, G5RV); în figura 3 — antena verticală, în figura 4 — antena „Ground-Plane”, în figura 5 — antena canal de undă cu două elemente (HB9CV, ZL beam), în figura 6 — antena „dublu pătrat” sau „cubical quad”, cum se mai numește.

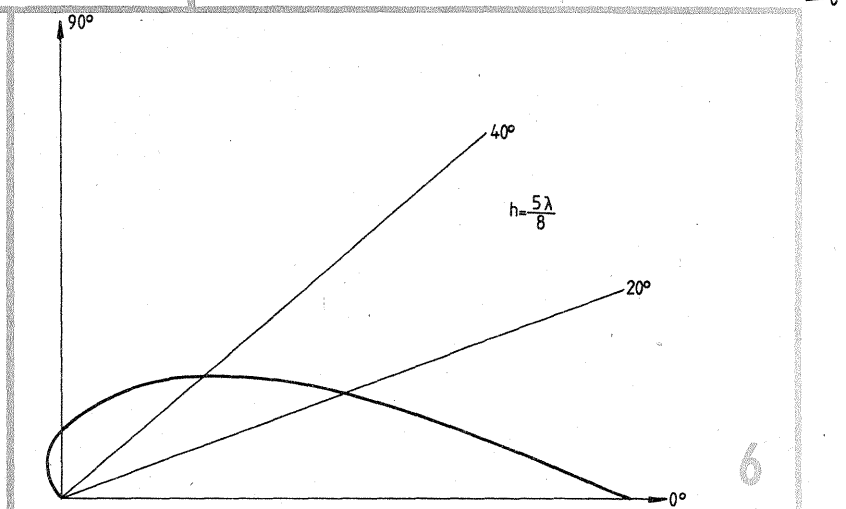
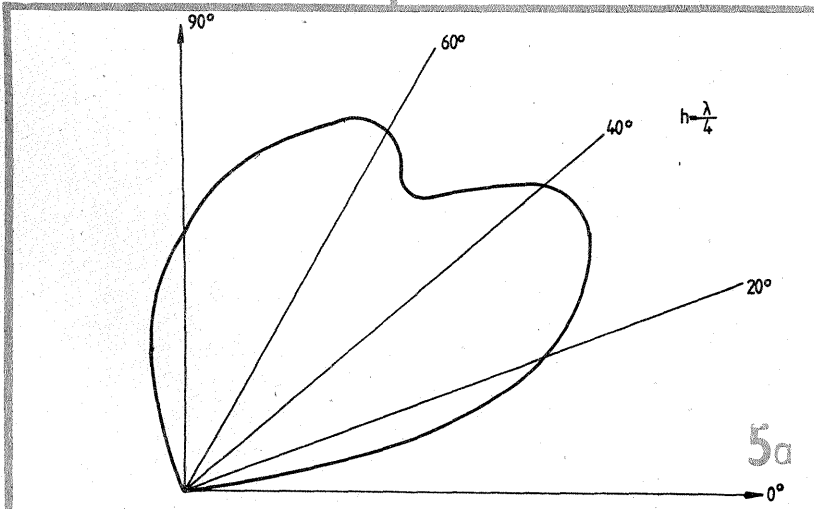
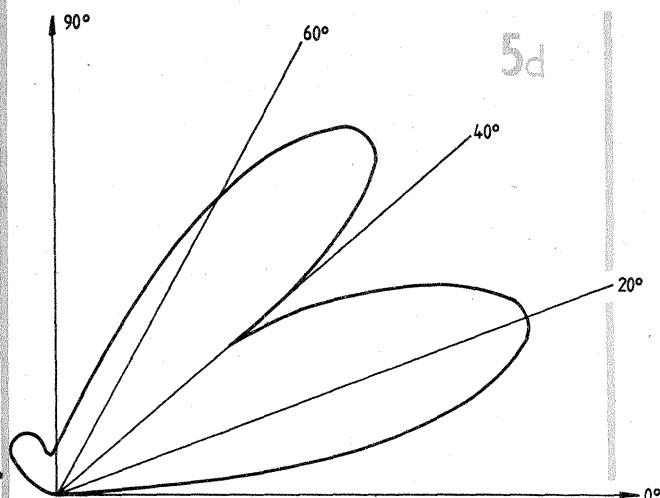
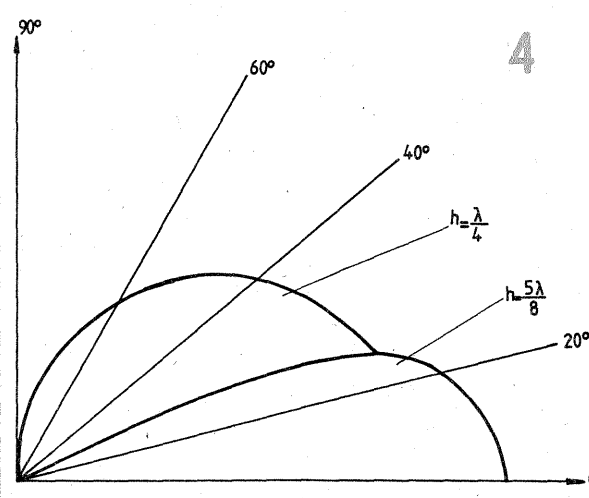
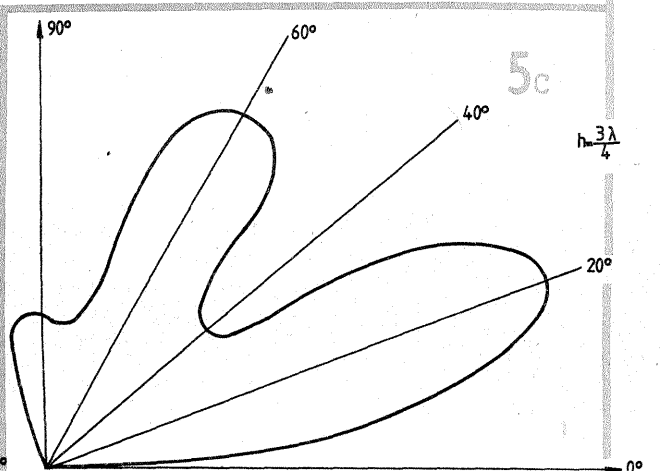
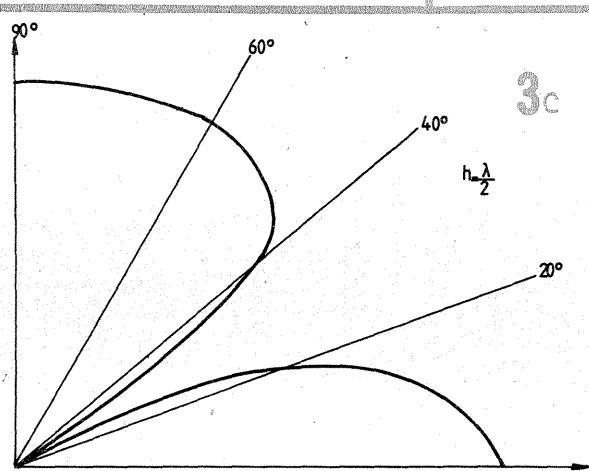
La baza diagramelor au stat tabele în care au fost notate date des-

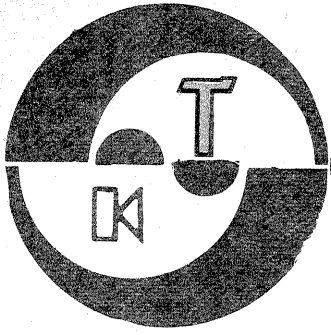
pre radiația antenei în sectoarele care au reprezentat cel mai mare interes pentru legăturile la mare distanță. Din aceste tabele se vede că, de exemplu, la folosirea emițătorului de 100 W cu antenă dipol, numai 2 W vor radia sub un unghi între 0 și 5°. Antena „Ground-Plane” cu lungimea de  $5\lambda/8$  și antena „cubical quad” radiază deja 30 W. Față de aceasta, antena „cubical quad” are directivitate și în plan orizontal, de aceea puterea echivalentă a emițătorului pare mai mare și în cazuri separate poate să ajungă la 300 W (datorită câștigului antenei).

După cum se vede, un emițător cu putere de 100 W care lucrează pe antenă „cubical quad” produce la locul recepției o astfel de intensitate a cîmpului ca un emițător de 1 kW cu o antenă de tip „Ground-Plane” și 15 kW cu o antenă de tip dipol. Acest exemplu subliniază în mod evident cele prezentate anterior. De aici și concluzia că antenele cele mai bune sînt cele ce radiază sub unghi mic energia produsă de emițător.



TIPUL ANTENEI	PARTEA ENERGIEI RADIATE SUB UN UNGHI DETERMINAT, ÎN PROCENTE		
	3—20°	3—12°	0—5°
Dipol, $h = \lambda/2$	30	12	2
Antene verticale $h = \lambda/2$	15	8	5
Antene verticale $h = \lambda/4$	50	33	12
„Ground-Plane” $h = 5\lambda/8$	90	65	30
Antena „canal de undă” cu două elemente $h = \lambda/2$	15	5	2
Antena tip dublu pătrat („cubical quad”) $h = \lambda/2$	80	50	30





# CONTROLUL DIGITAL AL TONULUI

Necesitatea controlului digital al tonului nu este chiar așa de evidentă ca în cazul volumului, datorită, în special, „mînuirii” mai rare a potențimetrelor de ton. Totuși eliminarea zgomotului provocat de potențimetrele uzate, cît și posibilitățile largi de corecție, completate

și cu ideea digitalizării totale a comenzilor (volum, balans, joase, înalte) din aparatura audio, explică în cea mai mare parte conceperea unui astfel de montaj.

Acesta are la bază convertorul digital analogic DAC08 prezentat pe larg în [1]. Deși circuitul este desti-

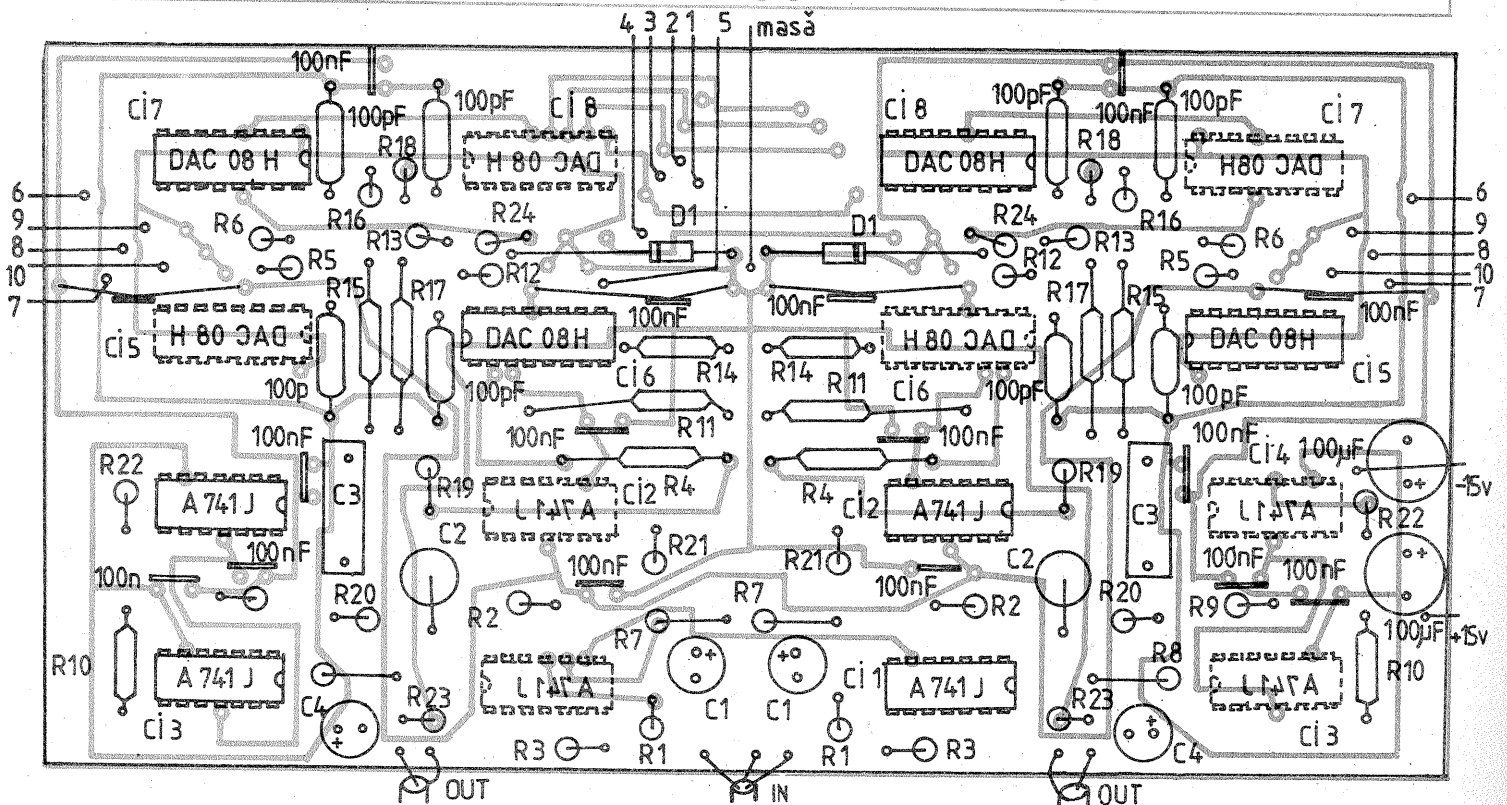
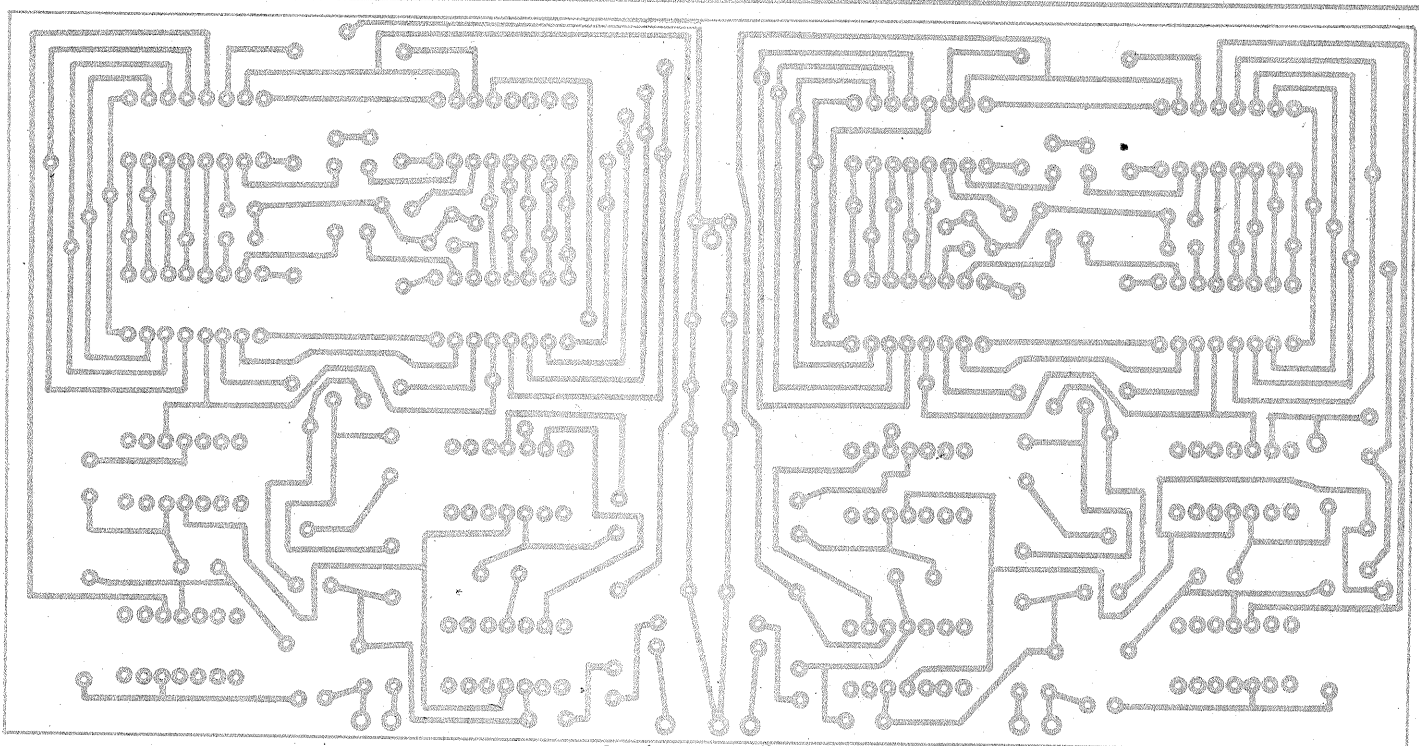
SILVIU UNGUREANU

nat aplicațiilor industriale, comportarea bună în gama de frecvență 20—20 000 Hz (printr-o compensare adecvată) îl face apt pentru aplicația de față.

Montajul este în esență un corector de ton activ, în care funcția potențimetrelor de ton clasice este preluată de convertoarele digital-analogice CI5, CI7 care au rolul de a diviza tensiunea de AF preluată după filtrele trece-jos și trece-sus formate de R20—C3, respectiv R19—C2. S-a folosit intrarea inversoare a amplificatorului referinței din cadrul convertorului digital-analogic (CDA) pentru a minimiza influența impedenței de intrare a

acestui asupra atenuării filtrelor.

Pentru a înțelege modul de funcționare, să urmărim modificările de fază ale semnalului de intrare, în cazul în care pe toate intrările logice ale lui CI5 avem „1” logic, iar pe cele ale lui CI6 „0” logic. În acest caz, curentul de referință este transferat pe pinul 4 al circuitului CI5, respectiv pe pinul 2 al lui CI6. Semnalul audio de la intrare, cu faza zero, este aplicat cu faza  $\pi$  la intrările CI5, CI6, fiind defazat de CI1. Frecvențele joase preluate după filtrul trece-jos și aplicate cu faza  $\pi$  la intrarea CI6 sosesc la intrarea inversoare a sumatorului CI1 cu aceeași fază  $\pi$ . Deși convertorul





CDA inversează faza, ieșirea în tensiune negativă o păstrează identică cu cea de la intrare. Repetorul de tensiune CI2 asigură atacul corect (pe impedanță mică) al sumatorului CI1. Frecvențele înalte preluate după filtrul trece-sus și aplicate ca fază  $\pi$  la intrarea lui CI5 sosesc la intrarea inversoare a sumatorului CI3 cu aceeași fază  $\pi$ . Frecvențele joase se compun în antifază cu semnalul audio, iar frecvențele înalte în fază, obținându-se o atenuare a frecvențelor joase și o accentuare a celor înalte. Întrucât la ieșirea 2 a lui CI5, respectiv ieșirea 4 a lui CI6, nu avem respectiv, ieșirea la intrarea inversoare a lui CI4, respectiv frecvențele înalte prin CI2. În poziția de mijloc a „potențio- metrelor”, frecvențele joase se compun în fază cu semnalul audio la intrarea inversoare a lui CI3 și în antifază la intrarea inversoare a lui CI1. Compunerea se face, însă, la jumătatea amplitudinii semnalului audio de la ieșirea lui CI1, astfel încât nivelul frecvențelor joase la ieșirea lui CI3 rămâne același cu cel prezent la intrarea inversoare a lui CI1 prin R1. Aceeași problemă și în cazul frecvențelor înalte. În afirmația de mai sus s-a neglijat diferența de  $1 BS_{min}$  între ieșirile de curent ale CDA pentru poziția de mijloc a „potențio- metrelor”. Circuitele CI7, CI8 sînt folosite pentru compensarea componentei de curent continuu, necesară deoarece CDA-ul nu poate funcționa decît cu curenți pozitivi de referință. În cazul tensiunii nule la intrare, vom avea tensiune nulă la ieșire dacă se respectă egalitățile:  $R1 = R3, R8 = R10, R4 = R5 = R6 = R11 = R12 = R13 = R15 = R16 = R17 = R18;$

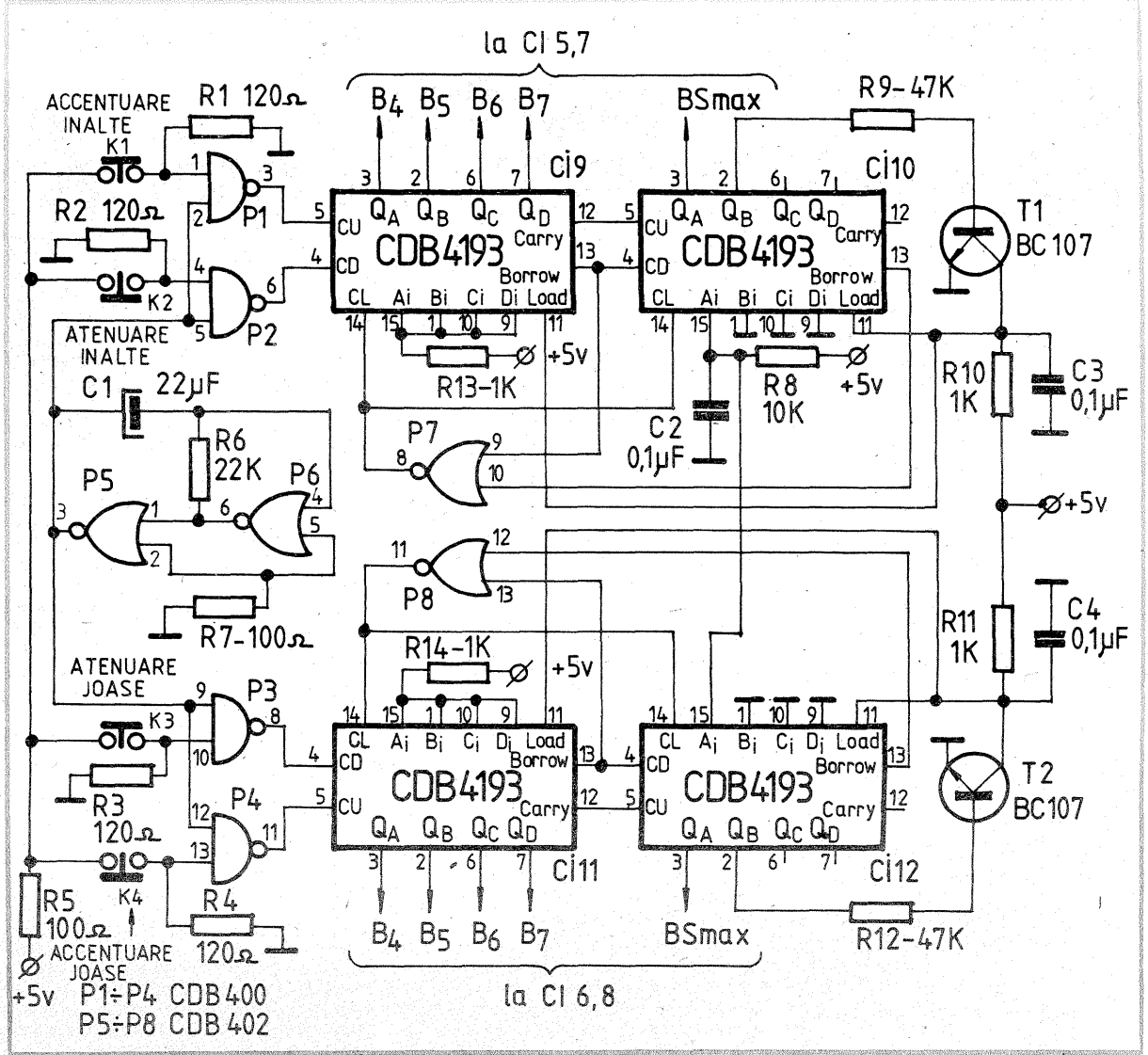
$$\frac{R3}{R2} = \frac{R10}{R9} = a; \quad \frac{R7}{R6} = \frac{R14}{R13} = a$$

$$a = \frac{A}{a+2}; \quad a = \frac{A-1}{\sum_{k=1}^n 2^k}$$

unde n = numărul de biți de comandă a CDA-ului, A = 2 + 10 pentru amplificari de  $\pm 6 dB \div \pm 20 dB$  la frecvențele de fringere ale filtrelor,

$$f_o = \frac{1}{2\pi RC}$$

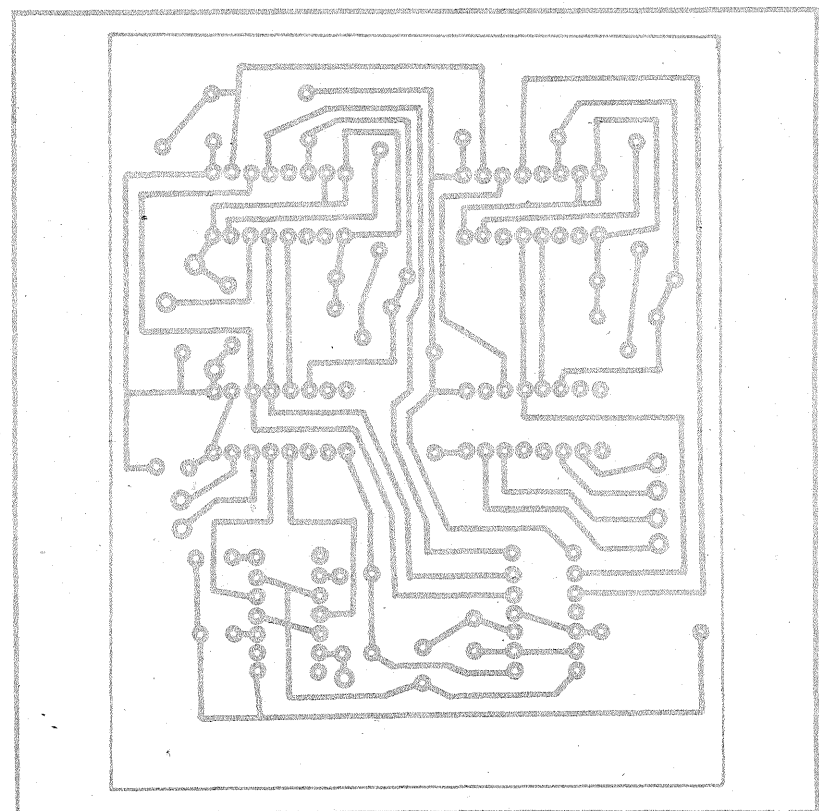
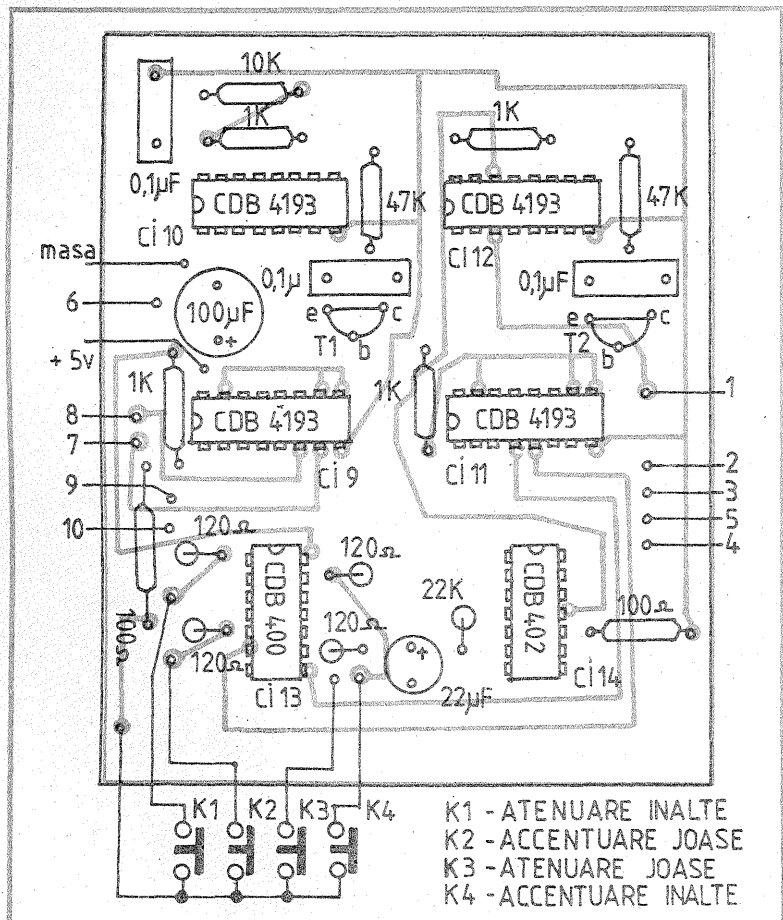
Comanda CDA-urilor se face prin

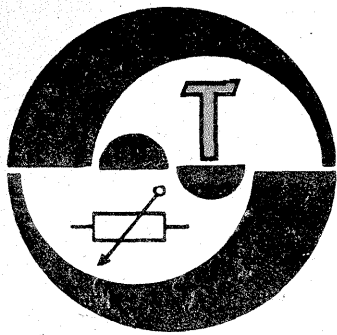


intermediul număratoarelor binare sincron reversibile CDB4193. Acestea sînt prevăzute cu comenzi pentru blocare la apariția stărilor „00000” și „11111” (atunci cînd comanda se face în 5 biți). Astfel, la apariția stării „00000” ieșirile BOR-

(CONTINUARE ÎN PAG. 19)

Nr. biți de comandă		3	4	5	6	7	8
Nr. trepte	accentuare	4	8	16	32	64	128
	atenuare	3	7	15	31	63	127
Eroare la accentuare (%)		0,22	0,15	0,12	0,1	0,09	0





ATELIER

# AUTOMAT DE CUPLARE

Ing. EUGEN BROASCĂ

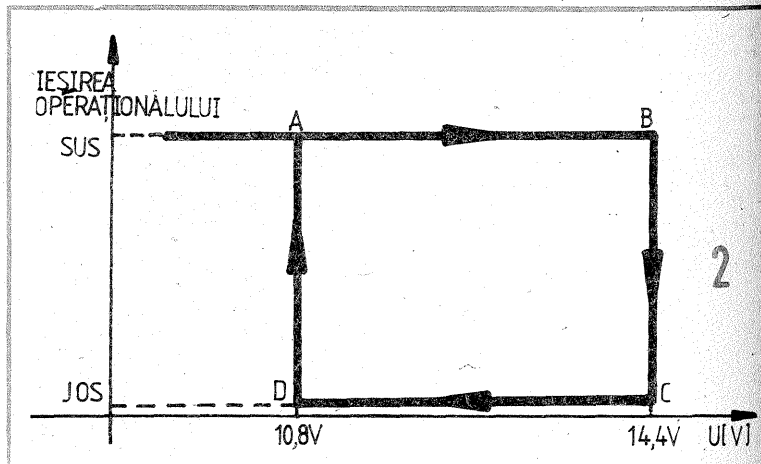
Spre deosebire de alte dispozitive de cuplare și decuplare a bateriei de acumulator la/de la redresorul care o încarcă, circuitul prezintă următoarele avantaje:

- utilizează un singur circuit integrat BA741, spre deosebire de schema clasică, care utilizează două circuite integrate pentru detectarea celor două praguri de 10,8 V (deci când tensiunea pe element a ajuns la 1,8 V) și 14,4 V (deci când tensiunea pe un element al bateriei a ajuns la 2,4 V);
- elimină transformatorul și redresorul care alimentează montajul;
- consum redus (maximum 90

mA);  
— cost redus, datorită numărului redus de piese.

Funcționarea montajului se bazează pe folosirea integratului BA741 pe post de comparator între o tensiune fixă de referință și o tensiune variabilă aplicabilă prin intermediul divizorului rezistiv în intrarea inversoare a operaționalului.

Inițial presupunem că tensiunea bateriei aplicată între bornele M (+) și N (-) ale montajului este sub 10,8 V, deci sub 6,5 V pe intrarea inversoare a operaționalului; la ieșirea operaționalului regăsim tensiunea aplicată și, prin intermediul rezistenței de 5,6 kΩ, este adus în conducție

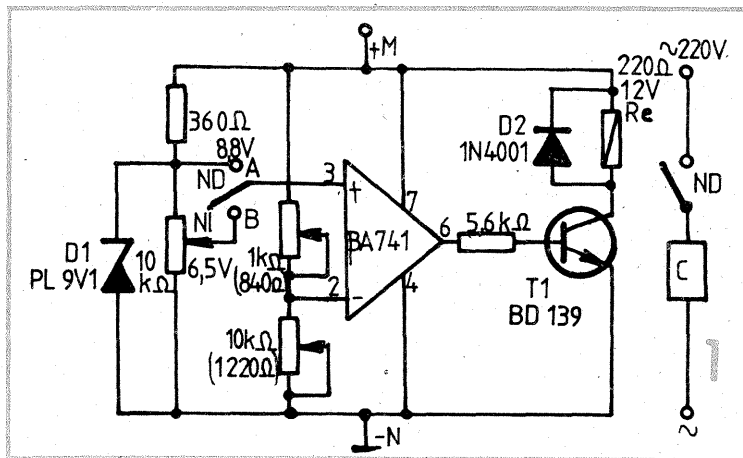
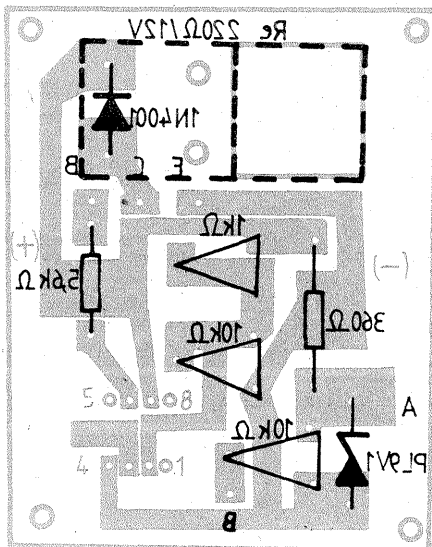


tranzistorul T1 și deci releul anclanșează și prin contactul său aplică 8,8 V (datorită dispersiei parametrilor diodei Zener PL9V1) pe intrarea neinvertoare a operaționalului. Deci, când tensiunea pe intrarea neinvertoare depășește 8,8 V (când la bornele MN avem 14,4 V), operaționalul basculează în starea de jos și o dată cu el, prin intermediul contactului releului, se modifică și tensiunea pe borna neinvertoare de la 8,8 V la 6,5 V, deci tensiunea la borna inversoare a operaționalului poate scădea pînă la 6,5 V (la bornele MN avem 10,8 V), fără ca releul să-și modifice starea, adică rămîne neanclanșat. Când

tensiunea pe borna inversoare este sub 6,5 V (deci la bornele MN avem mai puțin de 10,8 V), operaționalul basculează în starea SUS la ieșire, tranzistorul intră în conducție și releul anclanșează, modificînd tensiunea pe borna neinvertoare de la 6,5 V la 8,8 V și ciclul se repetă. Deci montajul realizează un histerzis conform diagramei din figura 2. Chiar dacă tensiunea bateriei este la început mai mică decît cea admisă (10,8 V), dispozitivul anclanșează releul și prin intermediul unui contact poate pune sub tensiune un contactor care conectează prin contactele normale deschise acumulatorul la redresorul care-l încarcă (prin contactele normale închise ale contactorului se poate conecta acumulatorul la receptorul pe care-l alimentează).

Pe porțiunea DC acumulatorul este conectat la receptor și tensiunea la borne nu poate decît să scadă, deci porțiunea CD este parcursă în sensul de la C la D.

De remarcat că dispozitivul poate fi folosit și ca semnalizator pentru starea bateriei; atunci când tensiunea este între 10,8 V și 14,4 V, releul este declanșat și avem starea normală, care poate fi semnalizată de un LED sau un bec. Când tensiunea scade sub 10,8 V (deci pe intrarea inversoare tensiunea este sub 6,5 V), operaționalul basculează în starea de sus, modificînd pragul de la 6,5 V la 8,8 V pe intrarea neinvertoare.



# FONOCARDIOGRAF

CORNEL DELICOSTEA

Fonocardiografia este tehnica de măsurare și redare a zgomotelor cardiace provocate de curgerea singelui prin camerele inimii, prin activitatea mecanică de contracție și relaxare a mușchiului cardiac, de închidere și deschidere a valvelor.

Vibrațiile sonore produse în profunzime se propagă prin țesuturi pînă la suprafața corpului, de unde pot fi recepționate. Zgomotele cardiace sînt caracterizate prin frecvență, intensitate și desfășurare temporală. Astfel, mușchii și grăsimea amortizează componentele de frecvență mare, plămîinii plini cu aer, corespunzător ciclului respirator inspirație-expirație, evidențiază componentele de frecvență joasă.

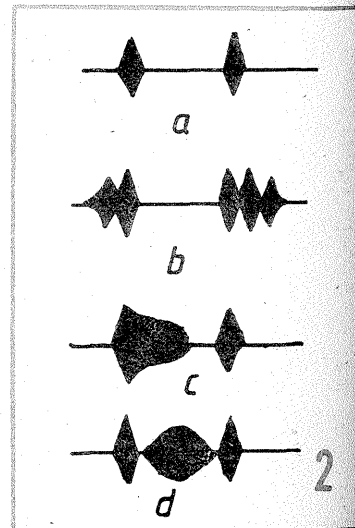
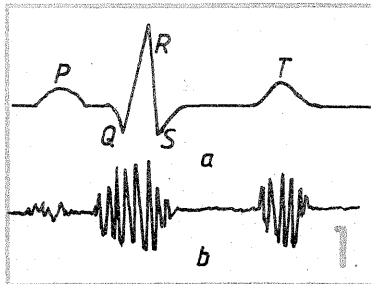
În caz de efort puternic sau în anumite situații patologice, apar sufluri cardiace care se datorează în principal curgerii turbulente a singelui, punînd în evidență diverse boli ale sistemului cardiovascular.

Inima poate fi considerată ca fiind constituită dintr-un sistem electric care generează ritmic impulsuri contractile și dintr-un sistem mecanic care reacționează la aceste impulsuri prin contracții ritmice.

Activitățile acestea se fac prin depolarizarea și repolarizarea celulelor sale, care, măsurate electric, dau o formă de undă asemănătoare celei din figura 1a (QRST). Această undă este prelucrată prin electrocardiografie. Metoda de investigare fonografică a arătat că se poate renunța la caracteristica de fază și se poate înregistra doar anvelopa semnalului. Forma acesteia se modifică în cazurile patologice. În figura 1b este arătată fonocardiograma normală, iar în figura 2 sînt prezentate fonocardiograma normală (a) în comparație cu diferite cazuri patologice: (b) — stenoza mitrală, (c) — insuficiența mitrală, (d) — stenoza aortică.

Stetoscopul este un instrument medical pentru perceperea zgomotelor produse de diferite organe în funcțiune (în special plămîinii și inima).

În ultimii ani s-au realizat stetoscoape electronice care permit amplificarea sunetelor și audierea lor în difuzor sau cască (Walkman), astfel încît, de exemplu, cei care trebuie instruiți în tehnica auscul-





tației pot beneficia de audiere împreună cu profesorul lor.

Stetoscopul electronic poate fi folosit, de asemenea, pentru numărarea bătăilor inimii în cazul în care pulsul pacientului este dificil de urmărit, sau pentru determinarea capacității de recuperare după un efort (de exemplu la sportivi).

Schema bloc a unui stetoscop electronic este redată în figura 3. Personal însă am folosit în realizarea lanțului audio radiocasetofonul într-o schemă ca în figura 4, deoarece această metodă am considerat-o accesibilă oricărui amator. Informații, casetofonul utilizat în teste este produs de firma SONY, model CF 420L, ce are reglă pentru diverse accesorii, printre care mufe pentru microfon și stație. Puterea audio a lui dată în manualul service este de 2,7 W, iar tensiunea de alimentare de 6 V, la baterii sau de la rețea. Nu am intervenit în schema lui electronică internă.

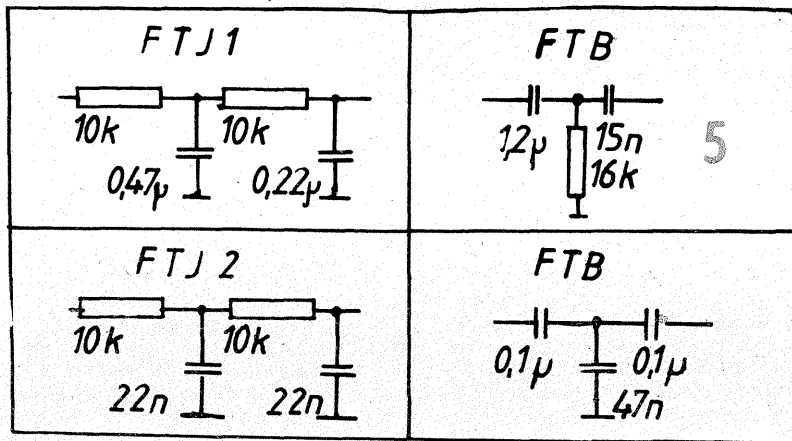
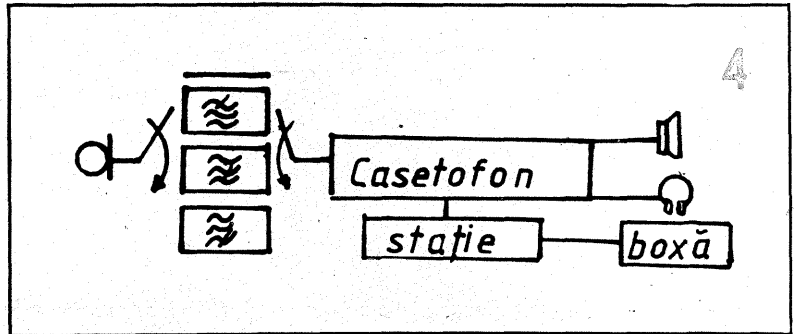
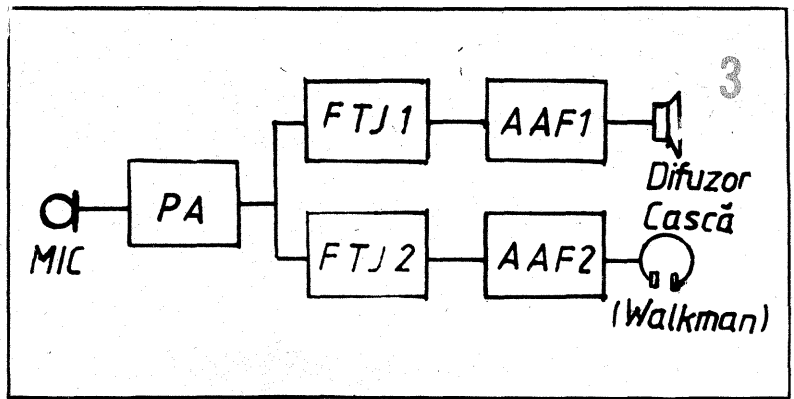
Am contactat la borna MIC din exterior un microfon, la început direct, apoi prin intermediul unor filtre.

Pe casetă am înregistrat bătăile inimii ce s-au auzit pentru fiecare caz.

Am folosit diferite filtre pornind de la cele din fig. 5, obținute prin schimbarea condensatoarelor cu diverse valori situate între cel de valoare maximă și cel de valoare minimă.

Filtrele utilizate ca punct de plecare în teste, FTJ 1,2, au frecvențele de tăiere la aproximativ 50 Hz, respectiv aproximativ la 500 Hz, iar filtrele FTB 1,2 au banda de frecvență de 8—12 Hz și respectiv aproximativ 500—1 800 Hz.

Fonocardiografia fiind o tehnică de investigare curentă, s-au standardizat sisteme de măsurare pe benzii de frecvență a zgomotelor și suflurilor cardiace. Unul din cele mai utilizate sisteme de măsurare în Europa este sistemul Maass și Weber, care definește frecvențele de tăiere la 20 dB ale filtrelor trece-sus, de compensare a caracteristicii de frecvență trece-jos toracice (din motivele expuse în introducere) și pantele de atenuare la: 35 Hz cu 0 dB/octavă, 70 Hz cu 18 dB/octavă, 140 Hz cu 24 dB/octavă, 250 Hz cu 24 dB/octavă și 400 Hz cu 24 dB/octavă. Astfel, cu notațiile standard ale benzilor de frecvență, J reprezintă banda de frecvență joasă, 20—75 Hz, M1 banda de frecvență medie 1,



75—150 Hz, în care se studiază zgomotele cardiace, M2 banda de frecvență medie 2, 150—300 Hz, și I banda de frecvență înaltă, 300—1 000 Hz, în care se analizează suflurile cardiace.

Am folosit un casetofon deoarece am avut avantajul posibilității de înregistrare-redare, nu am avut probleme cu redarea de microfonie, aparatul este portabil (alimentat la baterii sau de la rețeaua electrică). La o schemă electronică realizată cu CI tensiunea minimă ar fi fost de 9 V, preamplificatorul ar fi fost, de exemplu, cu  $\mu A741$ , iar AAF cu TBA790 sau TCA150, dar s-ar fi ivit probleme specifice montajelor

audio.

Rămâne ca fiecare utilizator să-și găsească zona pe corp în care microfonul poate sesiza zgomotele inimii cel mai bine, însă ascultarea casetei și interpretarea concluziilor trebuie încredințate unui medic.

Casetofonul și microfonul folosite de mine pot fi înlocuite cu orice altele, iar filtrele pentru orice standard pot fi proiectate cu ajutorul calculatorului.

Medicina omului sănătos ne învață ca din când în când să ne facem cîte un control preventiv, căci un proverb popular spune că „omul trăiește cît timp inima lui bate”.

# CONVERTOR

Referitor la schema convertorului din revista „Tehnum” nr. 1/1989, pag. 18, care înlocuiește bateria de 15 V din dotarea aparatelor „MAVO-35”, pentru radioamatorii ce nu posedă oală de ferită recomand o variantă mai simplă ce utilizează transformator pe tole (fig. 1).

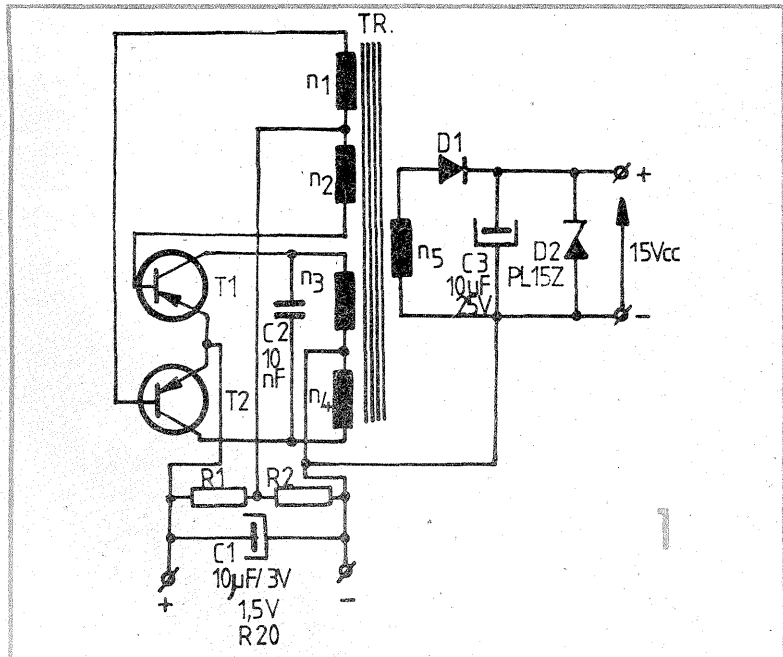
## LISTA PIESELOR PRINCIPALE

T1, T2=EFT321, EFT322, EFT323; C1=condensator electrolitic 10  $\mu F/3 V$  — picătură; C2=condensator ceramic disc — 10 nF; C3=condensator

ION RAICU

electrolitic 10  $\mu F/16 V$  — picătură; R1=rezistență chimică 130  $\Omega$ —0,25 W; R2=rezistență chimică 180  $\Omega$  —0,25 W; D1=diodă cu germaniu EFD107 sau 108; D2=diodă stabilizatoare PL15Z; TR — transformator cu tole din ferosiliciu, provenit de la radioreceptoarele mai vechi de tip „Mamaia” sau „Nordic” (s-a folosit transformatorul defazor).

Datele bobinelor sînt: n1, n2=2x6 spire CuEm  $\Phi 0,25$  mm, în paralel;

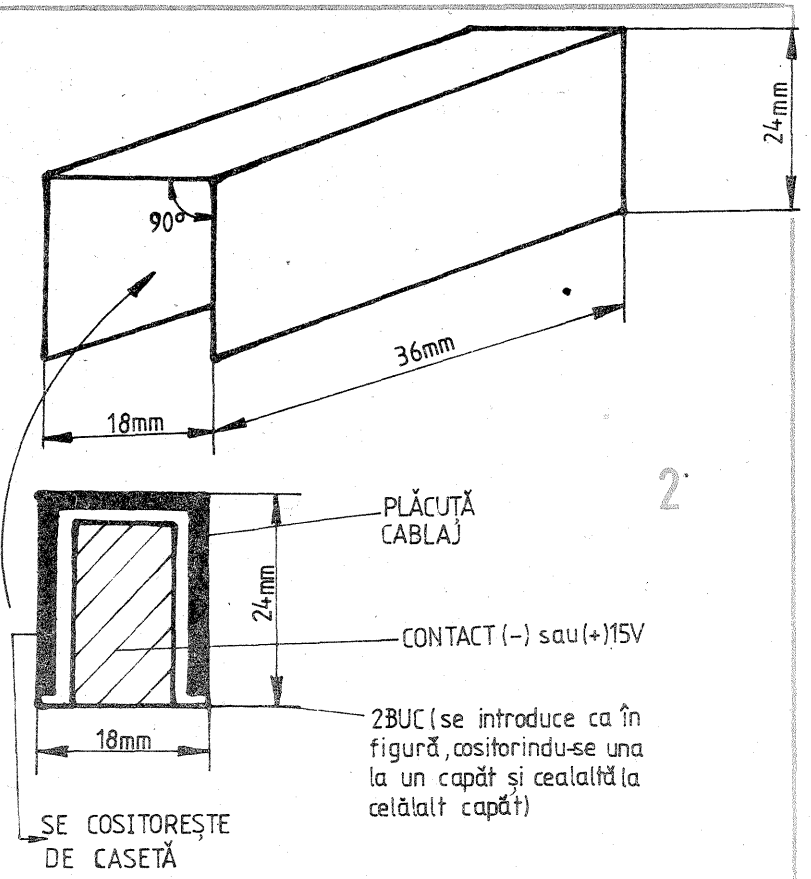


n3, n4=2x8 spire CuEm  $\Phi 0,25$  mm, în paralel; n5=250 spire CuEm  $\Phi 0,25$  mm. Cablajul se execută de către fiecare radioamator după preferință, în funcție de piesele disponibile.

Acest montaj se introduce într-o casetă metalică din tablă (fig. 2), se cositorește pe margini, caseta fiind

izolată din punct de vedere electric.

La capetele acestei mici casete se vor confecționa două bucățele de cablaj imprimat cositorite de asemenea și ele pe casetă. Pe aceste mici bucățele de cablaj vom culege tensiunea de 15 V necesară alimentării aparatului „MAVO-35” în cazul măsurătorilor pe scala de x10 k $\Omega$ .

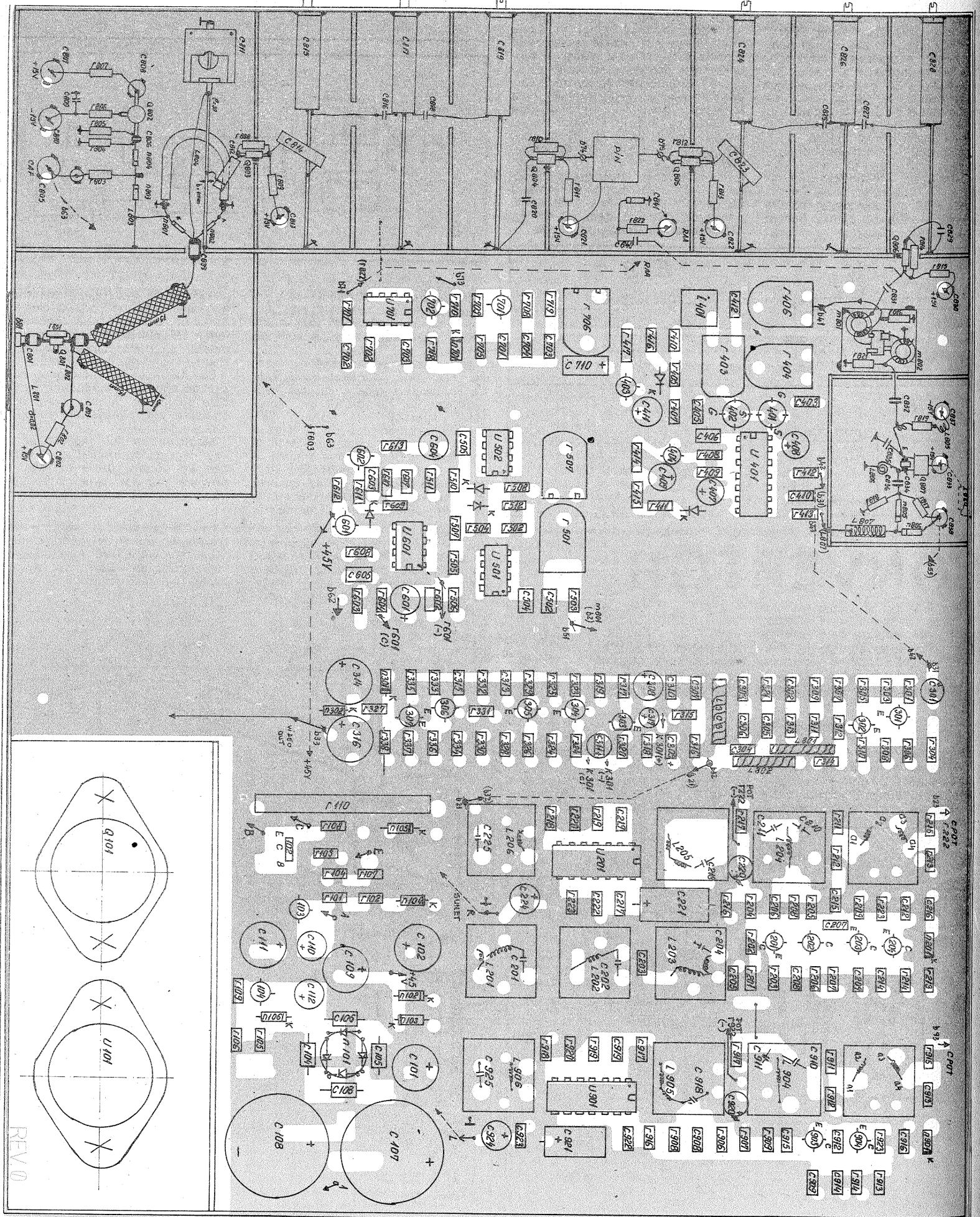


# TV-DX

## RECEPTIA ÎN BANDA SHF

(URMARE DIN NR. TRECUT)

Dr. fiz. DRAGOȘ FĂLIE





## PLANUL DE IMPLANTARE

Pentru a ușura munca radioamatorului vom da unele explicații referitoare la montarea pieselor și realizarea conexiunilor.

Mufa de conectare a LNC-ului este montată direct pe peretele incintei ecranate în care se află amplificatorul de intrare. Pe panoul din spate al cutiei se va perfora o gaură prin care mufa LNC-ului va ieși în afara cutiei.

Cablajul se va prinde pe panoul din spate al cutiei cu două șuruburi ce vor susține ecranul exterior al amplificatorului de intrare în două puncte adiacente mufei N. Prin intermediul altor două șuruburi cablajul se va mai prinde de panoul din spate pe radiatorul pe care sînt montate tranzistorul Q101 și circuitul integrat U101. Radiatorul pe care sînt montate aceste două piese este confecționat din tabla de aluminiu cu grosimea de 2 mm ce este îndoită în forma de U. Tranzistorul și circuitul integrat se vor prinde de radiator și cablaj cu câte două șuruburi.

Corpul circuitului integrat Q101

nu trebuie izolat de radiator deoarece terminalul legat la carcasa se conectează și la masa aparatului. Celelalte două terminale trebuie, evident, izolate de radiator. Pentru aceasta, în radiator se vor da două găuri cu un diametru de 3 mm, astfel încît celelalte două terminale să poată trece fără să se atingă de acesta.

Carcasa tranzistorului Q101 se va izola fața de radiator cu un izolator din mica. Șuruburile cu care tranzistorul este fixat de radiator se vor izola fața de acesta cu ajutorul a două tubușoare din material izolant. Colectorul tranzistorului se conectează cu circuitul sursei prin intermediul șuruburilor de fixare.

Poziția condensatoarelor de trecere este marcată pe cablaj cu găuri cu diametrul de 1 mm. Aceste găuri se vor lărgi la diametrul exterior al condensatorului de trecere. Terminalele exterioare ale condensatoarelor de trecere se vor suda cu cositor la masa cablajului, pe partea cu componentele. Dacă este posibil, aceste terminale se vor suda la masa și pe partea cealaltă a cablajului.

Pe partea cablajului unde se vor planta componentele trebuie montate ecranele în interiorul cărora se află partea de radiofrecvență. Ecranele se confecționează din tabla de fier cositorită, cu grosimea de 0,5 mm. Aceste ecrane se vor suda cu cositor pe tot conturul. După montarea tuturor componentelor, fiecare incintă ecranată se va închide cu un capac independent, care se va monta la aproximativ 1 mm în interiorul incintelor.

## INDICAȚII REFERITOARE LA MONTAREA AMPLIFICATORULUI DE INTRARE

Condensatoarele de cuplaj C801 și C839 sînt de tipul fara terminale. Condensatorul de decuplare C803 este de tipul fara terminale și se sudează direct pe cablajul imprimat.

Condensatoarele de decuplaj se sudează cu un terminal direct pe circuitul imprimat. Pe schema de implantare, aceste condensatoare sînt simbolizate printr-un cerc ce are în două părți diametral opuse câte o linie îngroșată ce reprezintă sudura acestuia la cablaj.

Colectorul tranzistorului oscilator Q802 se sudează direct pe condensatorul de decuplare C808 cît mai scurt posibil.

Tranzistorul Q803 se montează în peretele incintei ecranate; emitorul acestuia se va suda cît mai scurt posibil la masa montajului. Rezistența r808 se montează direct pe capsula tranzistorului. În mod similar se montează și tranzistoarele Q804, Q805 și Q806.

Atenuatorul cu diode PIN se montează pe un mic cablaj în interiorul incintei ecranate corespunzătoare de pe schema.

Pe planul de implantare este reprezentat și punctul de conexiune a condensatoarelor de cuplaj cu filtrele. Acest punct este orientativ; el se va stabili precis în momentul reglării receptorului.

Conexiunile la condensatoarele de trecere se realizează de spatele cablajului folosind sîrma de conexiuni.

Restul de conexiuni sînt figurate pe schema cu trimeri și linii punctate.

**NOTA REDACȚIEI:** Precizăm că în banda SHF (3—30 GHz), pentru serviciul de radioamatori sînt alocate în partaj cu alte servicii benzile 5 650—5 800, 10 000 — 10 500, 21 000 — 22 000 MHz, iar pentru serviciul de radiodifuziune directă de pe satelit banda 11,7 — 12,5 GHz. Celelalte porțiuni de spectru sînt alocate altor servicii de uz profesional, la care nu are acces decît Administrația de telecomunicații, în conformitate cu legislația internă și internațională. Utilizarea benzilor indicate mai sus trebuie făcută cu respectarea reglementărilor privind serviciul de radioamatori.

## SURSĂ DE TENSIUNE STABILIZATĂ

(URMARE DIN PAG. 3)

În situația intrării în funcțiune a elementului de protecție, tensiunea la ieșire devine mai mică decît tensiunea de deschidere a diodei D2 ( $U_{\text{desire}} < 0,3 \text{ V}$ ), dioda nu mai conduce, T6 se blochează, iar T5 conduce. Astfel LED-1 primește tensiune semnalizînd avaria. R7 are rolul de a limita curentul din circuit, iar R8 este rezistența de sarcină a lui T6. Acest sistem de semnalizare se pretează oriunde se urmărește o cădere de tensiune. D3 se dimensionează (se alege dioda Zener) pentru pragul de tensiune urmărit.

Instrumentul de măsură 1 utilizează montajul de extensie a scalei, realizat cu tranzistorul T7 (BC107), diodele Zener D5, D6 (PL9V1Z, PL3V6Z), releul miniatură REL (1 x 2 contacte) și dioda LED—2 pentru o reglare comodă și corectă a tensiunii de ieșire a sursei.

Se știe că citirea tensiunii reglate a unui stabilizator pe butonul potențimetrului (P1) este incomodă și inexactă, deoarece variația rezistenței potențimetrului nu este proporțională cu variația tensiunii, cu atît mai mult pe o plajă largă.

În scopul mai sus menționat, instrumentul folosit 1 este un microampermetru de 500  $\mu\text{A}$  de precizie și gabarit redus, pe a cărui scală, grație montajului electronic de extensie, plaja tensiunii furnizate de sursa se citește în două trepte, respectiv treapta I  $1,8 \div 10 \text{ V}$  și treapta a II-a  $9 \div 22 \text{ V}$ . Fiecare treaptă folosește întreaga scală de măsură a instrumentului.

Montajul are la baza principiul de extensie cu dioda Zener, măsurîndu-se tensiunea care apare după ce dioda Zener intră în conducție (coul Zener). Montajul funcționează astfel:

— pentru treapta I,  $1,8 \div 10 \text{ V}$ , instrumentul de măsură 1 se află în circuitul asigurat de contactele a—c ale releului REL, în serie cu semireglabilul R19 (50 k $\Omega$ ) cu ajutorul căruia se reglează capul de scală la 10 V;

— pentru treapta a II-a,  $9 \div 22 \text{ V}$ , cînd dioda Zener D5 (9,2 V) intră în conducție, circuitul instrumentului de măsură se comută prin contactele b—c, în serie cu semireglabilul

R18 (50 k $\Omega$ ) cu care se reglează capul de scală la 22 V.

Prin atingerea pragului de tensiune de 9,2 V, la care se deschide dioda Zener D5, se deschide și tranzistorul T7, releul REL anclanșează, comutînd contactele pe poziția b—c, iar dioda LED-2, încorporată în instrument, fiind pe același circuit, semnalizează trecerea pe treapta a II-a de măsură. Rezistorul R14 este rezistența de sarcină a diodei Zener D5. Rezistoarele R15, R16, R17 au rolul de limitatoare de curent, iar dioda Zener D6 (3,6 V) limitează tensiunea bază-emitor a lui T7 la o valoare nepericuloasă cînd sursa se reglează la valori mari.

## REALIZAREA PRACTICĂ

Montajul este executat pe o placă cu circuit imprimat, sub forma a două module (fig. 2).

Toate rezistoarele, cu excepția lui R1 și R16, sînt de 0,5 W/  $\pm 5-10\%$ . Rezistorul R1, de 1,2  $\Omega$ , este confecționat din sîrma de kanthai cu  $\varnothing = 0,6 \text{ mm}$ , pe un suport izolator, avînd capetele fixate ferm cu șuruburi. R16 este un rezistor de buna calitate, de 0,25 W.

Tranzistoarele, diodele, puntea redresoare, precum și tiristorul (componentele active) sînt de producție curentă indigenă.

Pentru generatorul de cîrent constant, amplificatorul de eroare și montajul de extensie a scalei de măsură, respectiv tranzistoarele T3, T4 și T7, au fost alese tranzistoarele BC177 și BC107. Acestea, avînd tensiunea colector-emitor de 45 V, fac posibilă folosirea montajului pe o plajă largă a tensiunii.

Tiristorul T1N1 (1 A la 100 V, în capsula SOT — 32) poate fi înlocuit cu altul de putere mai mică.

În general, pentru a atinge performanțele scontate, absolut toate componentele au fost verificate și astfel alese încît cele mai solicitate (electric sau mecanic) să fie de buna calitate. Este și cazul potențimetrelor P1 (10 k $\Omega$ , lin.) și P2 (500  $\Omega$ , lin.), primul pentru reglajul grosier al tensiunii de ieșire, al doilea pentru reglajul fin, notat cu  $\pm \Delta\text{V}$ .

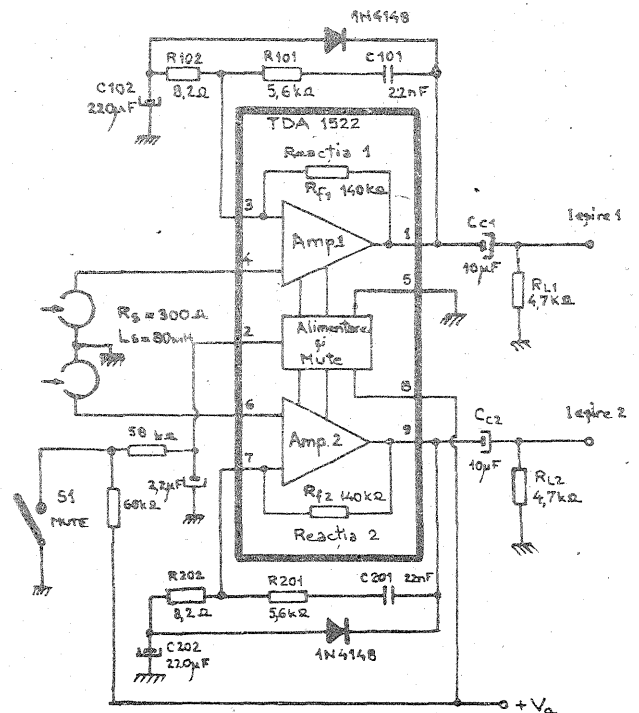
## TDA 1522

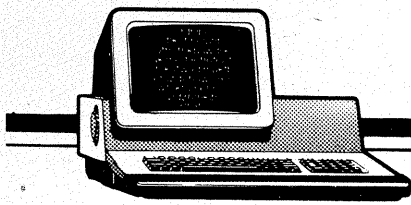
Circuitul integrat TDA1522 este un preamplificator stereo care realizează și corecția de frecvență necesară redării imprimărilor pe casete. Circuitul este introdus într-o capsulă de tip SOT 142 cu 9 picioare în linie. Gama tensiunilor de alimentare este cuprinsă între 7,5 V și 23 V maximum, la un consum de 5 mA. Distorsiunile armonice totale au o valoare foarte mică, de ordinul a 0,05 %, iar separarea între canale este de minimum 45 dB. Schema de utilizare, precum și distribuția pinilor sînt date în figură.

Reacția se stabilește intern prin rezistența  $R_{f1} = 140 \text{ k}\Omega$  pentru canalul 1, respectiv  $R_{f2}$  pentru canalul 2.

Montajul mai este prevăzut cu un circuit de tip „MUTE” comutabil din selectorul S1.

Capul de citire (stereo) are o rezistență ohmică de 300  $\Omega$  și o inductanță de 80 mH. Bineînțeles că lejer abateri față de valorile acestea ale capului nu influențează practic caracteristicile preamplificatorului. Este recomandabil ca rezistențele folosite să fie cu peliculă metalică, iar condensatoarele electrolitice cu tantal.





# INFORMATICA

## INTERCONECTAREA CALCULATORULUI HC 85 CU UN MICROCALCULATOR CU AJUTORUL INTERFETEI SERIALE V24

(URMARE DIN NR. TRECUT)

```

;*****
; PROGRAM DE EMISIE SI RECEPTIE PE C U B Z
; PE INTERFATA SERIALA
; S I D
;*****
ASEG
ORG 100H
; S I D A ESTE DESTINAT COMUNICATIEI
SIOCOM EQU 0E1H
SIODAT EQU 0E0H
; C T C
CLK0 EQU 0D0H ; TRANSMISIE
CLK2 EQU 0D2H ; RECEPTIE
DMA EQU 80H
BDOS EQU 05H
START:
; PROGRAMARE CTC
LD A,5DH
OUT (CLK0),A
LD A,02
OUT (CLK0),A
LD A,5DH
OUT (CLK2),A
LD A,02
OUT (CLK2),A
; PROGRAMARE SIO A
; ATENTIE ! FICARE CUVINT DE MOD TREBUIE PRECEDAT DE
; SCRIREA IN WR0 A NUMARULUI REGISTRULUI CE
; VA FI AFECTAT
LD HL,INISIOA
LD C,SIOCOM
LD B,10
OTIR
EORR:
LD C,09H
LD DE,ENDREC ;EMISIE SAU RECEPTIE ?
CALL BDOS
LD C,01H
CALL BDOS
LD (RASPUNS),A
CP "E"
JP Z,RASPOK
CP "R"
JP Z,RASPOK
JR EORR
RASPOK:
; COMPLETARE F C B CU NUME FISIER
LD C,09H
LD DE,NUMEFIS
CALL BDOS
LD C,0AH
LD DE,NNUME
CALL BDOS
LD HL,NNUME+2
LD DE,NAME
LD A,(NNUME+1)
CP 00H
JR Z,RASPOK
LD C,A
LD B,0
CALL LDIR
; SI ACUM DESCHIDEM FISIERUL
LD DE,FCB
LD A,(RASPUNS)
CP "E"
JR NZ,CREARE
LD C,0FH
CALL BDOS
CP 0FFH
JP NZ,BETFIS
LD C,09H
LD DE,OPENERR
CALL BDOS
JP RETCPM
LD C,16H
CALL BDOS
CP 0FFH
JP NZ,RECEP
LD C,09H
LD DE,MAKEERR
;*****
CALL BDOS
JP RETCPM
;*****
EMISIE
;*****
BETFIS:
LD DE,FCB
LD C,14H
CALL BDOS
CP 00
JP NZ,GATA
LD HL,DMA
LD B,128
EMISIE:
LD A,00H
OUT (SIOCOM),A
IN A,(SIOCOM)
AND 04H
CP 00000100B
JR NZ,EMISIE
SEPOATEEM:
LD A,(HL)
OUT (SIODAT),A
INC HL
DJNZ EMISIE
JP GETFIS
;*****
RECEPTIE
;*****
RECEP:
LD HL,ENDPROG
LD (ADRCRT),HL
CALL PRIMIIDOI
RECEPTIE:
CALL ESCAPE
LD A,00H
OUT (SIOCOM),A
IN A,(SIOCOM)
AND 01H
CP 00000001B
JR NZ,RECEPTIE
; CARACTER PRIMIT ; FACEM INPUT
IN A,(SIODAT)
LD HL,(ADRCRT)
LD (HL),A
INC HL
LD (ADRCRT),HL
LD HL,(LUNGIME)
DEC HL
LD A,L
OR H
JR Z,CLOSE
LD (LUNGIME),HL
JP RECEPTIE
CLOSE:
LD DE,ENDPROG
LOOP:
LD (SALVDE),DE
EX DE,HL
LD BC,128
LD DE,00H
LDIR
LD DE,FCB
LD C,15H
CALL BDOS
LD HL,128
LD DE,(SALVDE)
ADD HL,DE
EX DE,HL ; IN DE DE +128
TESTD:
LD A,(ADRCRT+1)
CP D
JR C,GATA
JP LOOP
GATA:
LD DE,FCB
LD C,10H
CALL BDOS
RETCPM:
LD C,00H
CALL BDOS
PRIMIIDOI:
; PRIMII DOI OCTETI REPREZINTA LUNGIMEA TOTALA
; A PROGRAMULUI RECEPTIONAT
CALL ESCAPE
LD A,00H
OUT (SIOCOM),A
IN A,(SIOCOM)
AND 01H
CP 01H
JR NZ,PRIMIIDOI
IN A,(SIODAT)
LD (LUNGIME+1),A
LD HL,(ADRCRT)
LD (HL),A
INC HL
LD (ADRCRT),HL
CAR2:
LD A,00H
OUT (SIOCOM),A
IN A,(SIOCOM)
AND 01H
CP 01H
JR NZ,CAR2
IN A,(SIODAT)
LD (HL),A
INC HL
LD (ADRCRT),HL
LDIR:
; RUTINA DE TRANSFER NUME FISIER
; D E ADRESA DESTINATIE
; H L ADRESA SURSA
; C LUNGIME SIR
LD A,(HL)
CP "."
JR NZ,NOTP
LD DE,NAME+8
DEC C
INC HL
JP RETLDIR
NOTP:
LD (DE),A
INC DE
INC HL
DEC C
RETLDIR:
LD A,C
CP 0
RET Z
LDIR
ESCAPE:
; RUTINA DE SALVARE IN CAZ DE ERDARE PE RECEPTIE
LD C,06H
LD E,0FFH
CALL BDOS
CP 10H
RET NZ
LD C,00H
CALL BDOS
NUMEFIS: DB 0AH,0DH,"NUME FISIER : *"
NNUME: DB 0DH,00H
NUME: DS 13
ADRCRT: DB 00H,00H
FCB:
DISK: DB 00H
NAME: DB "
OCT12: DB 00H,00H,00H,00H,00H,00H,00H,00H
DS 16
OCT32: DB 00H,00H,00H,00H,00H,00H,00H,00H,00H,00H,00H,00H,00H,00H,00H,00H
; S I D SE PROGRAMEAZA CU

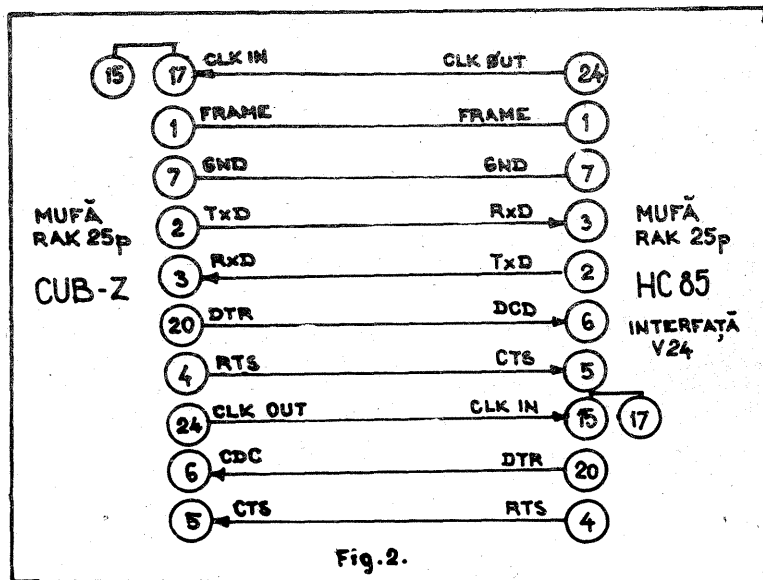
```



```

; -2 B SSTOP
; X16 (CLOCK)
; 8 B /CHAR
; PARITATE IMPARA
INISIOA: DB 18H
          DB 18H
          DB 14H ;WR4
          DB 4CH ;X16,2BIT STOP PARITATE IMPARA
          DB 13H ;WR3
          DB 0C1H ;8 B/CHAR,REC ENABLE
          DB 05H ;WR5
          DB 0EAH ;8B/CHAR ,TRANSMITER ENABLE
          DB 01H ;WR1
          DB 00,00,00,00,00
          DB 0,0
          DB 0,0
          DB 0AH,0DH,"EMISIE SAU RECEPTIE "E,R6 ?:"
          DB " "
          DB 0AH,0DH,"FILE NOT FOUND $"
          DB 0AH,0DH,"DISK OR DIRECTORY FULL $"
          DB 0
          DB 0
LUNGIME:
SALVDE:
EMDRREC:
RASPUNS:
OPENERR:
MAKEERR:
ENDPROG:
          DB 0
          DB 0
          END
          START

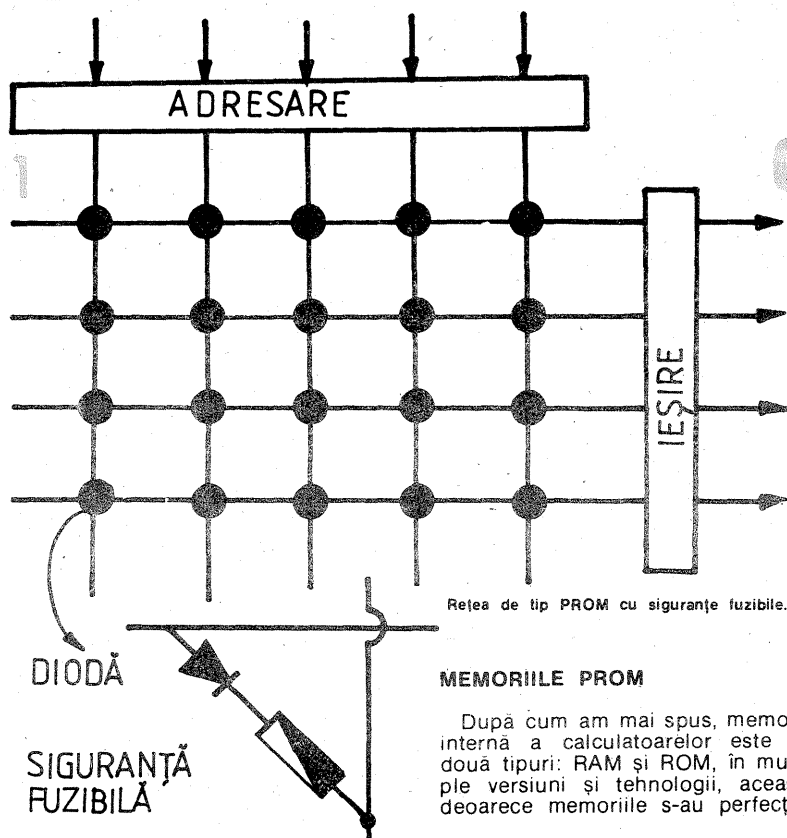
```



```

00010 ORG 65267
00020 ;*****
00030 ; program de RECEPTIE *
00040 ;
00050 ; primii 2 bytes contin*
00060 ; E LINE - PROG *
00070 ; urmatorii doi contin*
00080 ; E LINE - VARS *
00090 ; permite receptia unui*
00100 ; program BASIC *
00110 ;*****
00120 ENT
00130 DI
00140 XOR A:OUT (127),A
00150 LD A,000
00160 OUT (127),A
00170 LD A,000
00180 OUT (127),A
00190 LD A,64
00200 OUT (127),A
00210 LD A,206
00220 OUT (127),A
00230 LD A,55
00240 OUT (127),A
00250 LD HL,(#5C53)
00260 CALL TST
00270 IN A,(119)
00280 LD B,A
00290 CALL TST
00300 IN A,(119)
00310 LD C,A
00320 CALL TST
00330 IN A,(119):LD D,A
00340 CALL TST
00350 IN A,(119):LD E,A
00360 PUSH DE
00370 PUSH BC
00380 LOOP NOP
00390 CALL #1F54
00400 JP NC,RETUR
00410 CALL TST
00420 IN A,(119)
00430 LD (HL),A
00440 INC HL
00450 DEC BC
00460 LD A,B
00470 DR C
00480 JP NZ,LOOP
00490 LD HL,(#5C53)
00500 POP BC
00510 CALL #1655
00520 LD HL,(#5C59)
00530 POP DE
00540 SBC HL,DE
00550 LD HL,(#5C4B).HL
00560 RETUR EI
00570 RET
00580 TST IN A,(127)
00590 AND #02
00600 CP #02
00610 JR NZ,TST
00620 RET
00030 ;
00040 ; permite conectarea pe*
00050 ; o interfata seriala cu*
00060 ; un alt calculator si*
00070 ; emisia spre acesta *
00080 ; unui program BASIC *
00090 ;*****
00100 ORG 65267
00110 ENT
00120 DI
00130 LD A,0:OUT (127),A
00140 LD A,0:OUT (127),A
00150 LD A,64
00160 OUT (127),A
00170 LD A,55
00180 OUT (127),A
00190 LD A,55
00200 CALL PRGEM
00210 LOOP NOP
00220 IN A,(127)
00230 AND #05
00240 CP #05
00250 JR NZ,LOOP
00260 LD A,(HL)
00270 OUT (119),A
00280 INC HL
00290 DEC DE
00300 LD A,D
00310 OR E
00320 JR NZ,LOOP
00330 EI
00340 RET
00350 IN A,(127)
00360 AND #05
00370 CP #05
00380 JR NZ,AUT
00390 LD A,B
00400 OUT (119),A
00410 RET
00420 ;*****
00430 ;rutina PRGEM emite pri*
00440 ;mi 4 BYTES :doi repre*
00450 ;zinta lungimea totala *
00460 ;programului BASIC iar*
00470 ;ultimii doi reprezinta*
00480 ;lungimea fara variabile*
00490 ;*****
00500 PRGEM LD DE,(#5C53)
00510 LD HL,(#5C59)
00520 SBC HL,DE
00530 EX DE,HL
00540 LD B,D:CALL AUT
00550 LD B,E:CALL AUT
00560 PUSH HL
00570 PUSH DE
00580 LD DE,(#5C4B)
00590 LD HL,(#5C59)
00600 SBC HL,DE
00610 EX DE,HL
00620 LD B,D:CALL AUT
00630 LD B,E:CALL AUT
00640 POP DE
00650 POP HL
00660 RET

```



# CALCULATORUL ELECTRONIC ÎNTR-UN DOUĂ GENERAȚII

Ing. MIHAELA GORODCOV

(URMARE DIN NR. TRECUT)

nati continuu, îmbunătățindu-și parametrii (timp de acces din ce în ce mai mic, capacitate de memorare din ce în ce mai mare, vizând valori de ordinul MB în prezent) și facilitățile oferite utilizatorului.

Memoriile ROM (Read Only Memory) au cunoscut — și cunosc în continuare — numeroase variante care includ toate aspectele enumerate mai sus.

Așadar, memoriile PROM (Programmable ROM) se programează de către utilizator, după programul propriu, pentru aplicația cărui îi este destinat calculatorul. Cum se poate înșcrie un PROM? Iată două moduri pentru a efectua această operație.

Primul dintre moduri se bazează pe conectarea în serie a fiecărui

punct de memorie cu o siguranță fuzibilă din Al sau NiCr (fig. 1). Prin topirea anumitor siguranțe fuzibile, diodele corespunzătoare vor fi deconectate. Fiecare siguranță fuzibilă se volatilizează cu un impuls electric puternic, la o anumită adresă, cu ajutorul unui aparat special de programare.

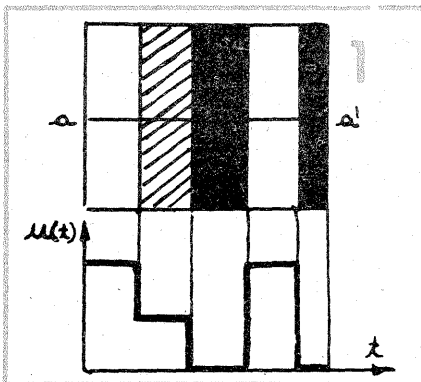
O altă modalitate nu constă în topirea unei siguranțe fuzibile — deci în suprimarea unei conexiuni — ci în stabilirea unei conexiuni prin distrugerea unui element izolator (fig. 2) — în cazul prezentat o diodă. Această diodă reprezintă, de fapt, una din joncțiunile unui tranzistor bipolar. O dată programată de către utilizator, memoriile PROM au aceleași destinații ca și cele de tip ROM

(CONTINUARE ÎN NR. VIITOR)

# INTRODUCERE ÎN TELEVIZIUNE

Ing. CRISTIAN IVANCIOVICI

Televiziunea poate fi definită ca ansamblul de principii, metode și tehnici utilizate pentru transmiterea pe un canal de comunicație prin mijloace electrice a imaginilor în mișcare. Formarea semnalului ce caracterizează imaginea, transmiterea acestuia și reconstituirea imaginii originale, ca etape esențiale în transmisiunile de televiziune, au o serie de aspecte particulare, specifice în raport cu transmiterea informației de alt tip și pentru a căror înțelegere sînt necesare o cunoaștere temeinică a noțiunilor de bază de radio și TV, componente și circuite, cit și o vedere de ansamblu asupra principiului transmiterii imaginilor



Principiul de bază al televiziunii alb-negru ((AN), cit și în culori) îl constituie descompunerea imaginii într-un anumit număr de elemente, care este în funcție de sistemul utilizat. La televiziunea alb-negru se transmite pentru fiecare element o singură informație ce definește modul în care este iluminat. Aceasta este informația de luminanță. Ea este transmisă în mod succesiv cu o frecvență suficient de mare pentru ca imaginile reconstituite să nu dea impresia de pîlpire. Deci putem spune că imaginea care se transmite un interval de timp este descompusă într-un număr de imagini statice pe care le denumim cadre, iar cadrul, la rîndul său, este transformat într-o succesiune de Z linii. Procesul de descompunere a imaginii în cadre și linii avînd ca rezultat formarea unui semnal  $s(t)$  poartă numele de explorare. El se realizează fie prin baleierea unei suprafețe (continue sau discontinue) sensibile la lumină, pe care se proiectează imaginea, cu un fascicul de electroni (în cazul țintelor tuburilor de luat vederi), fie prin citirea secvențială a unui mozaic de celule elementare ce formează regiunea fotosensibilă a dispozitivelor cu transfer de sarcină. Modul în care se baleiază sau se citesc suprafețele respective depinde de sistemul de explorare ales.

Aceasta trebuie să satisfacă anumite condiții:

- să stabilească o corespondență biunivocă (pentru un cadru dat) între oricare punct al suprafeței imaginii și timp, pentru ca din semnalul funcție de timp  $s(t)$  să poată fi reconstituită imaginea originală;

- deoarece, de cele mai multe ori, amplitudinea semnalului obținut prin explorare depinde atât de luminanță, cit și de timpul în care se citește valoarea acesteia și de intervalul între două citiri succesive ale aceluiași punct, se impune ca fiecare element de imagine să fie explorat în același interval de timp, deci explorarea să fie uniformă. Considerente practice fac utilă alegerea unei explorări care să poată fi realizată simplu. Aceste cerințe au condus la standardizarea explorării liniare, cu viteză uniformă, începînd de la stînga la dreapta și de sus în jos. Citirea și reconstituirea imaginii se realizează parcurgînd în acest sens întregul cadru, linie cu linie, după care procesul se repetă pentru cadrul următor. Intervalele de timp necesare pentru întoarcerea spotului de electroni, adică perioadele în care fasciculul revine de la extrema dreapta a imaginii la cea stîngă (întoarcerea orizontală) și din partea cea mai de jos a cadrului în partea de sus (întoarcerea verticală), sînt neutil pentru transmiterea informației referitoare la luminanța imaginii și deci se dau pe cit posibil mai mici, valorile standardizate fiind dictate de considerente de putere în circuitele de deflexie. Mai nou, pe perioadele de întoarcere se transmit un alt fel de informații de genul teletext (informații transmise pe timpul de întoarcere a liniilor pe verticală).

Semnalul  $s(t)$  care se obține prin explorarea suprafeței imaginii și care este determinat în mod univoc de luminanța acesteia poartă numele de **semnal de imagine**. În figura 1 se observă modul de obți-

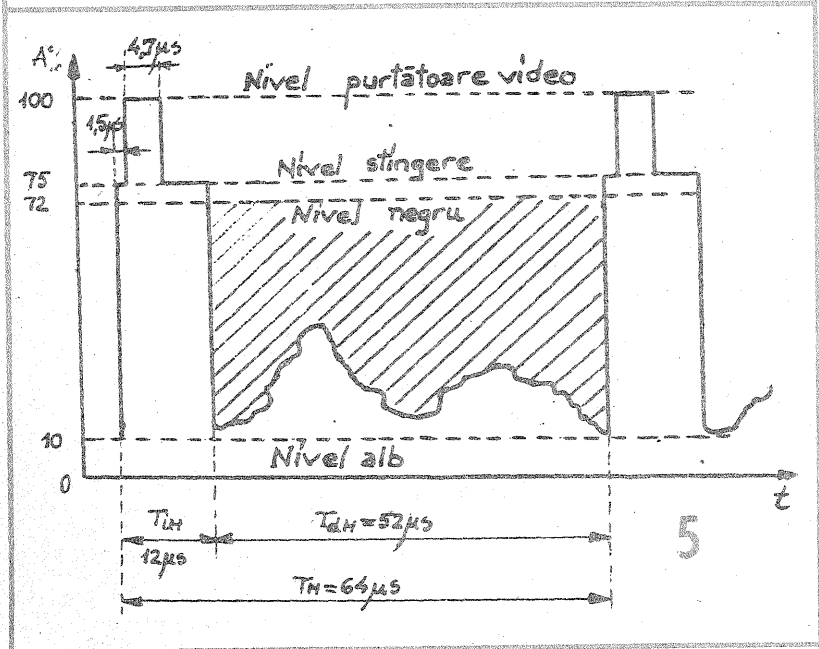
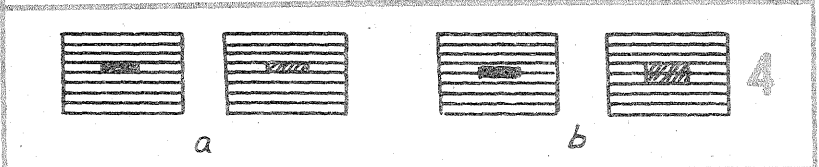
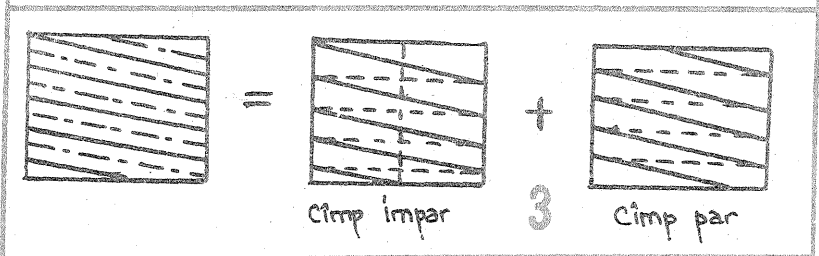
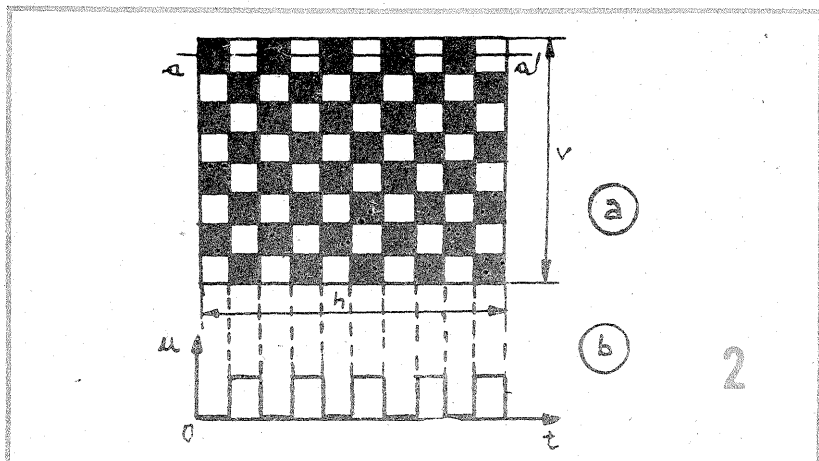
nera a unui semnal pe intervalul de explorare a liniei aa'. Pentru cazul în care semnalul crește la mărirea luminanței, așa cum este cel din figura 1, se obține semnal video pozitiv. În situația unui semnal care ia valori cu atît mai mici cu cit luminanța este mai mare, semnalul video este negativ. Atributul pozitiv sau negativ semnifică deci legătura care există cu valoarea luminanței și nu polaritatea semnalului. Luminanța fiind în mod esențial o mărime negativă, semnalul video este, de asemenea, de o singură polaritate.

Valoarea medie a semnalului sau componenta continuă pe o durată dată reprezintă luminanța medie existentă în imagine pe regiunea corespunzătoare și va fi pozitivă pentru semnal video pozitiv.

După cum am menționat, intervalele în care fasciculul de electroni se întoarce nu pot fi făcute oricît de mici. În aceste perioade de timp, nivelul semnalului trebuie să fie astfel încît la reconstituirea imaginii să nu apară urmele spotului pe ecranul tubului cinescop, se utilizează un nivel de semnal superior nivelului de negru, iar semnalul corespunzător se numește semnal de stingere. Vor exista deci semnale de stingere pe orizontală, respectiv pe verticală, care trebuie să depășească în durata întoarcerii fasciculului de explorare. Reconstituirea fidelă a imaginii impune o sincronizare perfectă a sistemelor de baleiere de la recepție cu cele care au efectuat explorarea imaginii proiectate pe suprafața traductorului optoelectronic al sistemului de captare a imaginii (camera de luat vederi). Se impune deci transmiterea simultană cu semnalul de imagine și a unor **semnale de sincronizare**, care să asigure o corespondență univocă între un punct de coordonate  $(x_i, y_i)$  al planului imaginii originale și punctul  $(kx, ky)$  al imaginii reconstituite ( $k$  este un factor de proporție). Din cauza preciziei relativ scăzute a oscilatoarelor care determină frecvențele de explorare, este necesară transmiterea a două semnale de sincronizare: semnalul de sincronizare verticală  $S_v$  și semnalul de sincronizare orizontală  $S_h$ . Necesitatea separării la recepție a semnalelor de sincronizare orizontală și verticală impune diferențierea lor fie prin amplitudine, fie prin durată. S-a ales cea de-a doua soluție, pentru a nu mări în mod inutil amplitudinea totală a semnalului, micșorînd prin aceasta raportul semnal-zgomot al semnalului util (aceeași putere de zgomot se raportează la o putere a semnalului de imagine mai mică).

Semnalul obținut prin însumarea semnalului de imagine, a semnalelor de stingere și a celor de sincronizare poartă numele de **semnal video complex**. Mai departe vom reveni asupra formei semnalului video complex, reprezentînd și forma lui.

Pentru realizarea unui sistem TV, este necesar să se cunoască spectrul de frecvențe, deci și frecvența maximă a semnalului de imagine. Ea se poate determina considerînd o imagine sub forma unei table de șah. Pătratele se consideră cu latura egală cu diametrul fasciculului de explorare. Dacă se explorează o linie corespunzătoare primului rînd de pătrate, se obține un semnal ca în figura 2b. Rezulta că numărul de perechi de pătrate albe și negre transmise într-o secunda determină frecvența maximă a semnalului de imagine. Să notăm cu  $p$  raportul dintre dimensiunile  $h$  și  $v$  ale imaginii. El se numește **factor de formă sau raport de aspect** și are valoarea standardizată 4/3. Dacă se consideră că numărul total de linii de explorare este  $Z$ , atunci numărul de puncte (pătrate) pe verticală este tot  $Z$ . Pe orizontală avem în acest caz





un număr de sunete egal cu  $\frac{h}{v}Z = pZ$ . În total există deci  $pZ^2$  puncte. Ținând seama că o perioadă completă a semnalului cuprinde două puncte (unul negru și unul alb) și că într-o secundă se transmit  $f_v$  cadre, obținem:

$$f_{\max} = \frac{Z \cdot pZ}{2} f_v = \frac{1}{2} \cdot \frac{4}{3} \cdot Z^2 \cdot f_v \quad (1)$$

Pentru standardul de TV din țara noastră avem:  $Z=625$  de linii,  $p=4/3$ ,  $f_v=50$  Hz. În acest fel obținem  $f_{\max}=13$  MHz, ceea ce este foarte mult. Valoarea foarte mare a frecvenței maxime a semnalului video a impus căutarea unor soluții pentru micșorarea pe cât posibil a acestuia fără a afecta calitatea imaginii. În momentul introducerii sistemului acestuia, se punea problema găsirii unor metode simple pentru micșorarea frecvenței maxime din spectrul semnalului. Formula (1) permite să analizăm mijloacele prin care se poate împlini acest deziderat: micșorarea numărului de linii Z sau micșorarea frecvenței cadrelor  $f_v$ . Prima conduce la micșorarea rezoluției imaginii reproduse și nu este deci aplicabilă; micșorarea frecvenței cadrelor este posibilă fără înrăutățirea redării mișcărilor, însă imaginile reproduse în acest mod ar produce senzația de pîlpîire, care este oboseitoare, și soluția pare inacceptabilă.

**Frecvența critică**, începînd de la care ochiul uman percepe continuitatea unor mișcări, este  $f_c=46$  Hz și este dependentă și de aria suprafeței privite. În consecință, există posibilitatea ca, alegînd un mod de explorare particular, și anume baleînd suprafața imaginii tot a doua linie în intervalul de timp care fusese alocat unui cadru și restul de  $Z/2$  linii, intercalate cu primele, într-un interval ulterior, de aceeași durată, să se ajungă la o explorare întretesută în care discretizarea întregii suprafețe a imaginii se face într-un interval de timp de două ori mai mare. Frecvența cadrelor se reduce de două ori fără ca pîlpîirea să fie apreciaabilă, deoarece s-a redus aria suprafeței care pîlpîie.

Imaginea care se explorează cu jumătate din numărul total de linii Z poartă numele de **semicadru sau cîmp**. Un cadru este compus deci din două cîmpuri și frecvența cîmpurilor trebuie să fie cel puțin egală cu frecvența critică. În figura 3 este reprezentată modalitatea de obținere a imaginii întretesute. Frecvența cu care se transmite întreaga suprafață a imaginii (frecvența cadrelor) se reduce la jumătate și cu același factor se micșorează și frecvența maximă din spectrul semnalului video. S-au încercat și explorări cu întreteseri de ordin mai mare, adică divizarea cadrului cu cele Z linii în 3 sau 4 cîmpuri, ceea ce ar conduce la frecvențe maxime ale spectrului mai scăzute. Rezultatele nu sînt satisfăcătoare pentru televiziunea radiodifuzată din cauza unui fenomen de **migrare** (deplasare a liniilor pe imagine în jos sau în sus funcție de ordinea în care se face explorarea).

Întreteserea explorării determină următoarele efecte:

1. Micșorarea rezoluției orizontale; fenomenul poate fi urmărit în figura 4. Detaliile verticale, situate la limite de rezoluție, pot fi redată corect dacă o linie a fascicului de explorare se suprapune cu detaliul (fig. 4 a) sau pot fi redată cu lățime dublă dacă detaliul este în poziția din figura 4b. Deoarece poziția fascicului de explorare este aleatoare în raport cu detaliile de acest tip și redarea detaliilor verticale poate fi redusă cu un factor (denumit factor Kell) care va micșora și banda de frecvențe a semnalului transmis.

2. Necesitatea impulsurilor de egalizare pe durata stingerii verticale. În receptor, pentru refacerea imaginii, este necesară separarea impulsurilor de sincronizare verti-

cală de cele orizontale, separare care se realizează ținînd seama de durata mult mai mare a acestora, printr-un circuit de integrare. Alegerea explorării întretesute cu un număr impar de linii face ca poziția impulsului de sincronizare verticală în raport cu impulsurile de sincronizare orizontală să fie diferită în cîmpurile pare față de cîmpurile impare. În această situație, forma tensiunii obținute pe condensatorul de integrare după un cîmp par este diferită de cea obținută la sfîrșitul cîmpului impar, ceea ce determină, în cazul regenerării impulsului de sincronizare verticală cu ajutorul unui circuit de prag, apariția unui decalaj în timp,  $\Delta t$ , între cele două impulsuri. Situația nu poate fi admisă deoarece conduce la decalarea întregului cîmp par în raport cu cel impar, la apropierea liniilor din cele două cîmpuri (fenomen cunoscut și sub numele de împerecherea liniilor) și prin aceasta la micșorarea rezoluției verticale; la limită, cînd cele două cîmpuri ar avea liniile suprapuse, situația ar fi similară unei explorări cu jumătate din numărul de linii.

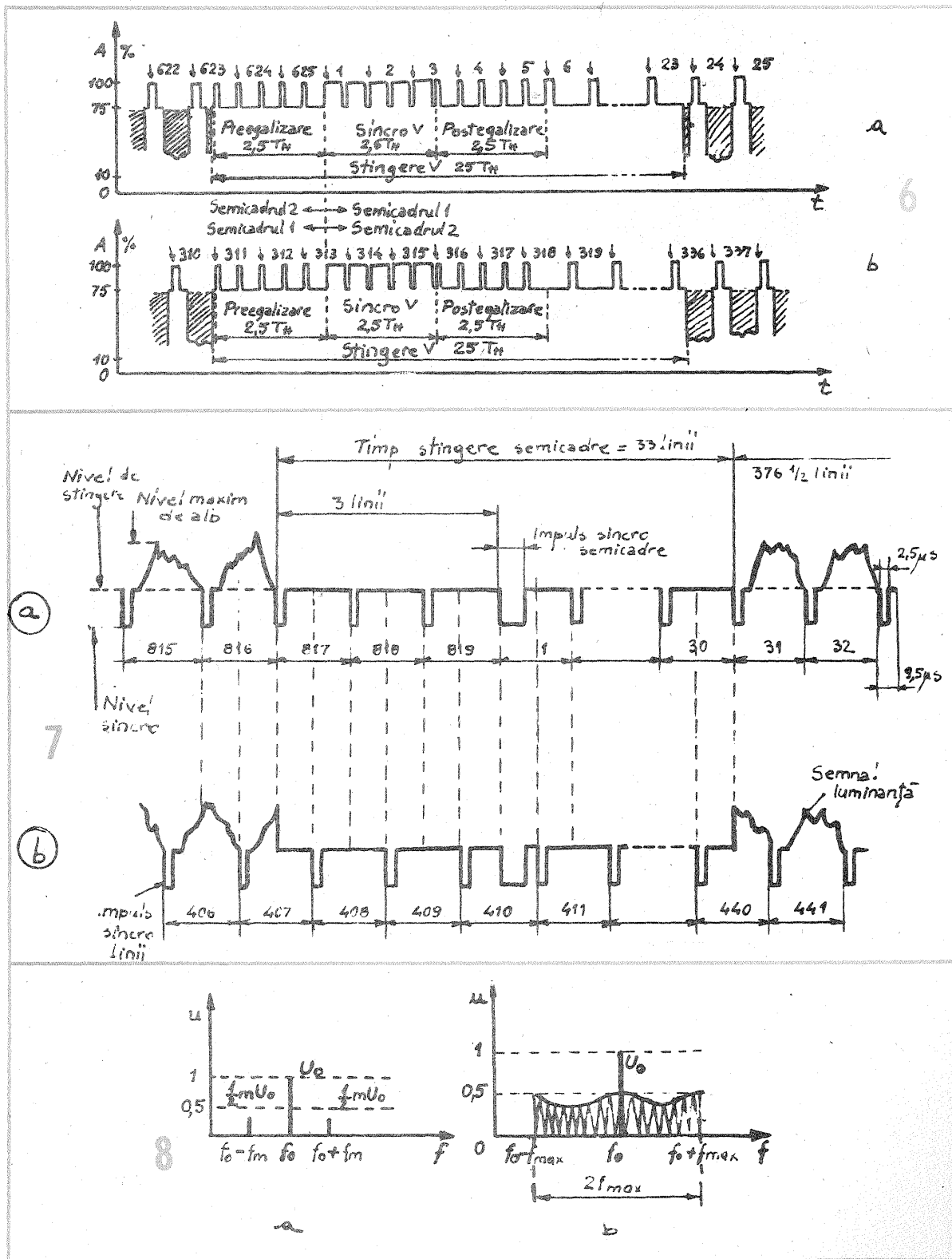
3. Modificarea imaginilor în mișcare. Posibilitatea micșorării frec-

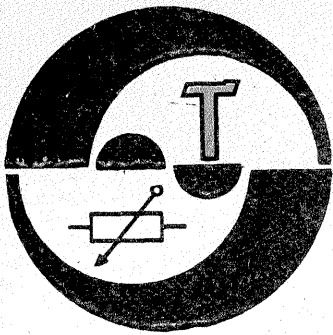
venței cîmpurilor, cu condiția eliminării pîlpîirii, a condus la sisteme (experimentale) de TV în care semnalul se transmite cu o frecvență a cadrelor mult mai mică (10 Hz se consideră suficienți pentru redarea mișcărilor). La recepție, pe baza unei memorii existente, se repetă cîmpul anterior (sau cîmpurile anterioare la factori de întretesere mai mari ca doi). La apariția în imagine a unui obiect ce se mișcă în direcția verticală, acesta va fi redat deformat, alungirea verticală a lui fiind cu atît mai pronunțată cu cît mișcarea este mai rapidă.

Pentru standardul european de 625 de linii durata unei linii  $T_H=64\mu s$ ; durata impulsului de stingere a liniei  $T_{H1}=12\mu s$ ; durata unui semicadru (cîmp)  $T_{H2}=20$  ms; durata impulsului de stingere cadre  $T_{H3}=25 \cdot T_H=1,6$  ms. Reiese că la fiecare semicadru un număr de 25 linii sînt inactice, fiind stinse. Rezultă că numărul total al liniilor active pentru un cadru complet este de 575. În figura 5 se prezintă semnalul de imagine, stingere și sincronizare de linii cu polaritate negativă, dîndu-se nivelurile și timpii specifici. Dacă se consideră că acest semnal video com-

plex modulează în amplitudine o purtătoare de radiofrecvență a unui emițător de imagine TV, amplitudinea maximă a purtătoarei (100%) se obține pe durata impulsurilor de sincronizare a liniei. Impulsurile de stingere sînt la un nivel de 75%, iar nivelul de negru al semnalului video util este de 72%. Nivelul albului este de 10%. Aceasta înseamnă că nu se atinge niciodată un grad de modulație mai mare de 90%. Simultan cu transmisia imaginii, are loc și o transmisie a sunetului canalului TV în spațiul de gardă de 10% (care nu trebuie să conțină semnal video). Impulsul de sincronizare a liniei are durata de  $4,7\mu s$  și este așezat asimetric peste impulsul de stingere a liniei, el începînd cu  $1,5\mu s$  după acest impuls. După impulsul de sincronizare a liniei urmează un palier al impulsului de stingere cu durata de  $5,8\mu s$ , care este folosit în televiziunea în culori pentru transmiterea impulsurilor de sincronizare a culorii.

(CONTINUARE ÎN NR. VIITOR)





## UTILIZAREA CIRCUITULUI C 520

Ing. DANIEL UNGUREANU, Călărași

Circuitul C520, devenit foarte cunoscut în ultimul timp, constituie piesa esențială a numeroase scheme de aparate de măsură tip AVO-metru.

Iată câteva date din foaia de catalog a acestuia:

- U alimentare: max. 7 V;
  - U alimentare pentru funcționare normală:  $4,5 \div 5,5$  V;
  - U intrare: max.  $\pm 15$  V;
  - U terminal de control (6): conversie rapidă  $3,2 \div 5,5$  V; conversie lentă  $0 \div 0,4$  V; memorare 0,8—1,6 V;
  - precizie: 0,1% (1 digit);
  - rezistența de intrare a voltmetrului echipat cu CI C520:  $10 \text{ k}\Omega/\text{V}$ .
- Acest din urmă parametru, mai puțin cunoscut, trebuie supus atenției în mod deosebit. Din dorința firească de a mări impedanța de intrare a voltmetrului echipat cu convertorul A/D C520, numeroși con-

structorii aleg valori nepotrivite pentru rezistoarele divizorului de tensiune.

Urmărind, spre exemplu, realizarea unei impedanțe de intrare de  $100 \text{ k}\Omega/\text{V}$ , divizorul rezistiv aplicat C.i. va avea, în conformitate cu figura 1, valoarea de  $100 \text{ k}\Omega$  pentru rezistorul R1.

După stabilirea zeroului și a capătului de scală (999 mV) pe scala de 1 V, o tensiune de 400 mV și alta de 600 mV aplicate divizorului vor fi in-

dicate prin 405 mV, respectiv 605 mV, iar o tensiune cu valoarea de 500 mV va fi indicată prin 510 mV. Pentru măsurători curente eroarea nu este esențială, dar va fi multiplicată cu ordinul de divizare al divizorului rezistiv, astfel că pe scala de 10 V, la o tensiune aplicată de 5 V, eroarea va fi de 100 mV, iar pe scala de 100 V, pentru 50 V la intrare indicația va fi 51 V.

După cum arată experiențele, eroarea este maximă la mijlocul scalei, tocmai unde se situează majori-

torează faptului că sursele de tensiune au în general rezistențe interne foarte mici, dar pe scalele următoare în serie cu intrarea vor apărea rezistoarele R2 sau R3 cu valori mari.

Impedanța de intrare va fi de numai  $10 \text{ k}\Omega/\text{V}$ , dar numai în acest mod se poate asigura precizia de 0,1%. Prin utilizarea unui etaj repetor cu amplificator operațional cu compensare a offset-ului, impedanța de intrare poate depăși, în funcție de schema aleasă,  $1 \text{ M}\Omega/\text{V}$ .

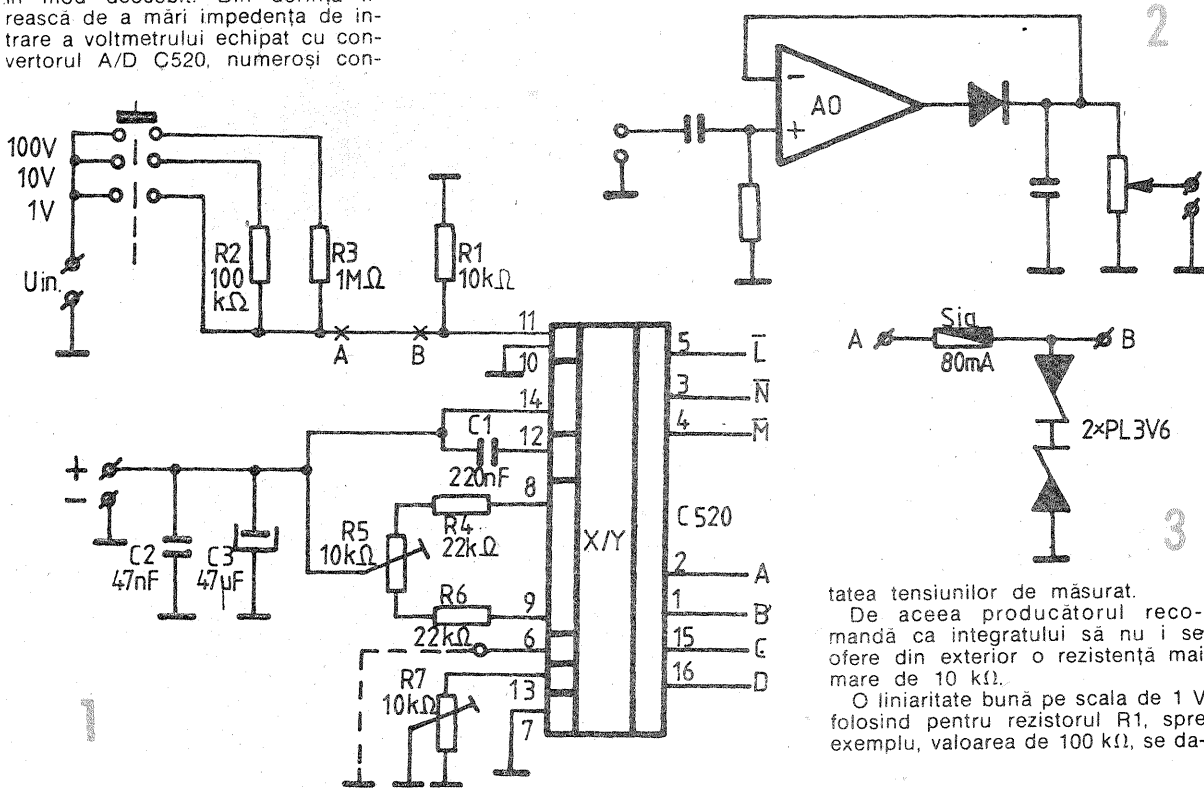
De remarcat că un astfel de etaj este necesar și pentru cuplarea convertorului rezistență/tensiune, deoarece schemele cu surse de curent constant care aplică rezistorul de măsurat direct la terminalele circuitului integrat prezintă inconvenientul mai sus menționat începând cu valoarea de  $100 \text{ k}\Omega$  a rezistorului probat.

Se atrage atenția că la construcția AVO-metrului și pentru tensiuni alternative este necesar să se folosească un divizor rezistiv separat de cel pentru c.c., deoarece factorul de divizare se va modifica, datorită efectului Miller, cu atât mai mult cu cât rezistențele au valori mai mari.

Se precizează că schemele de redresare monoalternanță de tipul celei din figura 2 pot asigura conversia c.a./c.c. numai pentru frecvențe până la câteva sute de hertzi, indiferent de tipul circuitului integrat, această reducere drastică fiind cauzată de saturația ieșirii operaționalului.

Pentru protecția convertorului C520 la tensiuni ce depășesc valoarea maximă admisă la intrare, este util circuitul din figura 3, care se intercalează între punctele A și B ale schemei din figura 1, limitând astfel tensiunea la  $\pm(3,6+0,7)$  V.

**BIBLIOGRAFIE:**  
Instrucțiuni de utilizare C520, VEB Metallurgielektronik Leipzig.



tatea tensiunilor de măsurat. De aceea producătorul recomandă ca integratul să nu i se ofere din exterior o rezistență mai mare de  $10 \text{ k}\Omega$ . O liniaritate bună pe scala de 1 V folosind pentru rezistorul R1, spre exemplu, valoarea de  $100 \text{ k}\Omega$ , se da-

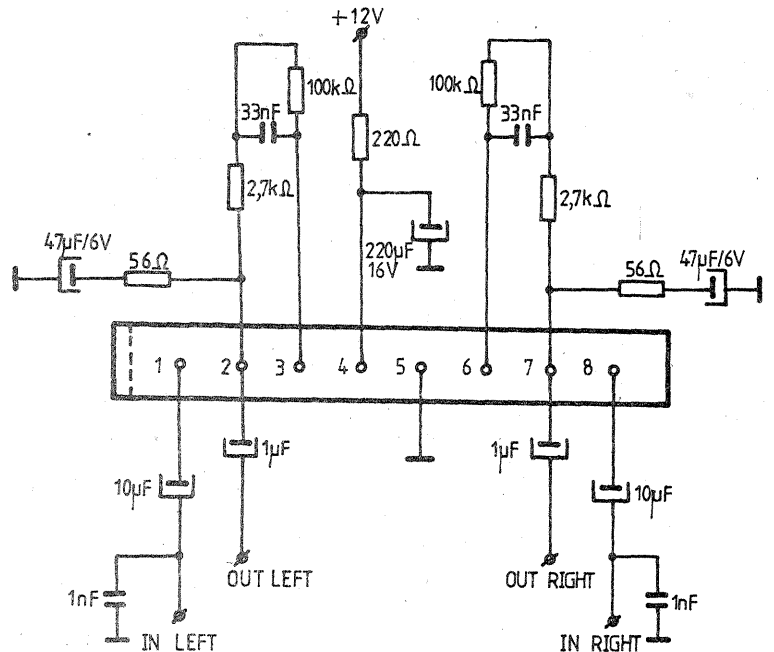
## PREAMPLIFICATOR

Ing. AURELIAN MATEESCU

Pentru constructorii amatori ce dispun, prin recuperarea de componente din diverse montaje, de un circuit integrat NEC (Japonia) cu indicativul  $\mu\text{PC1032H}$  (echivalent cu produsul ROHM-BA3281), le recomandăm să-și construiască un preamplificator pentru cap magnetic, care se poate folosi cu succes la echiparea unei mecanici de casetofon sau chiar de magnetofon ce va fi utilizată ca player-deck stereo cu performanțe foarte bune. Ieșirea montajului se poate cupla direct la intrarea AUX a unui amplificator audio.

Recomandăm utilizarea unor componente de bună calitate, atât rezistențele, cât mai ales condensatoarele din intrarea și ieșirea circuitului integrat (se vor prefera condensatoarele cu tantal solid).

Conexiunile pentru capul magnetic vor fi cât mai scurte și realizate cu cablu ecranat. În figură este prezentată schema electrică a preamplificatorului, CI fiind privit de pe fața cu terminale, țesitura ce indică pin 1 spre stânga. Circuitul integrat este în capsulă SIP8.





# ADAPTARE

VIOREL TĂRCEA

Montajul prezentat permite mărirea duratei de funcționare a tuburilor cinescop utilizate în televizoarele cu circuite integrate. Acestea deoarece la pornirea televizorului tensiunile înalte pe electrozii tubului cinescop vor fi nule, iar după încălzirea catodului etajul final linii va primi comanda de pornire și astfel electronii nu vor mai fi „smulși” din catodul rece.

Realizarea adaptării este foarte simplă și implică folosirea unei surse suplimentare de energie, ce poate fi un transformator de sunerie. El va alimenta filamentul tubului cinescop în curent alternativ și, printr-un redresor, va alimenta montajul suplimentar. Acesta este de fapt un temporizator ce acționează elementul de execuție după un timp prestabilit de la punerea sub tensiune a montajului. Cu elementele notate pe schemă, temporizarea poate fi aleasă din semireglabilul P1 între 4 și 30 de secunde. Această plajă de reglaj a fost aleasă în ideea utilizării montajului și pentru alte scopuri. Pentru TV este necesar să fie ales timpul maxim.

Conectarea montajului în televizor se va face prin intermediul unui releu de 12 V/50 ÷ 60 mA. Este recomandat ca releul să poasă două contacte normale deschise (N.D.) și două contacte normale închise (N.I.). Contactele N.D. se vor conecta între baza lui T701 (prefinal baleiaj H) și

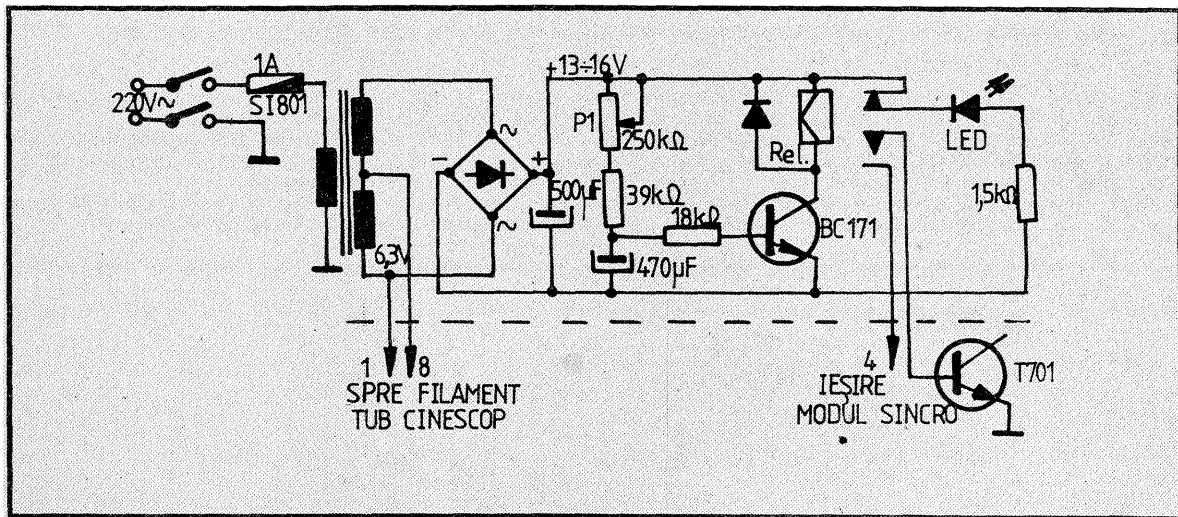
pinul 4 al modului sincro la TV cu 5 CI, iar la TV cu 2 CI între baza lui T702 și R711. Contactele N.I. vor fi folosite pentru semnalizarea funcționării TV la pornire cu ajutorul unui LED așezat pe panoul frontal. Aprinderea LED-ului la pornirea TV indică prezența tensiunii în TV, respectiv alimentarea filamentului tubului cinescop.

În primele momente după pornire,

televizorul rămâne ca oprit (fără imagine și sunet). LED-ul de pe panoul frontal va fi aprins. După trecerea perioadei de aprinzare, releul anclanșează; contactele N.I. se desfac, LED-ul se stinge, contactele N.D. se închid, baza prefinalului linii primește impulsuri de deschidere de la oscilatorul liniei și etajul final liniei intră în regim de funcționare în curent la tensiunile necesare și televizorul

pornește instantaneu.

Pentru a evita suprapunerea tensiunii de filament (provenită din transformatorul suplimentar) cu tensiunea de frecvență liniilor de la transformatorul de linii, acesta din urmă se va deconecta de pe piciorușele tubului cinescop. În acest fel regimul de funcționare în curent a tranzistorului final liniei este ușurat, sarcina lui fiind redusă cu cca 0,3 A



# CONTROLUL DIGITAL AL TONULUI

(URMARE DIN PAG. 9)

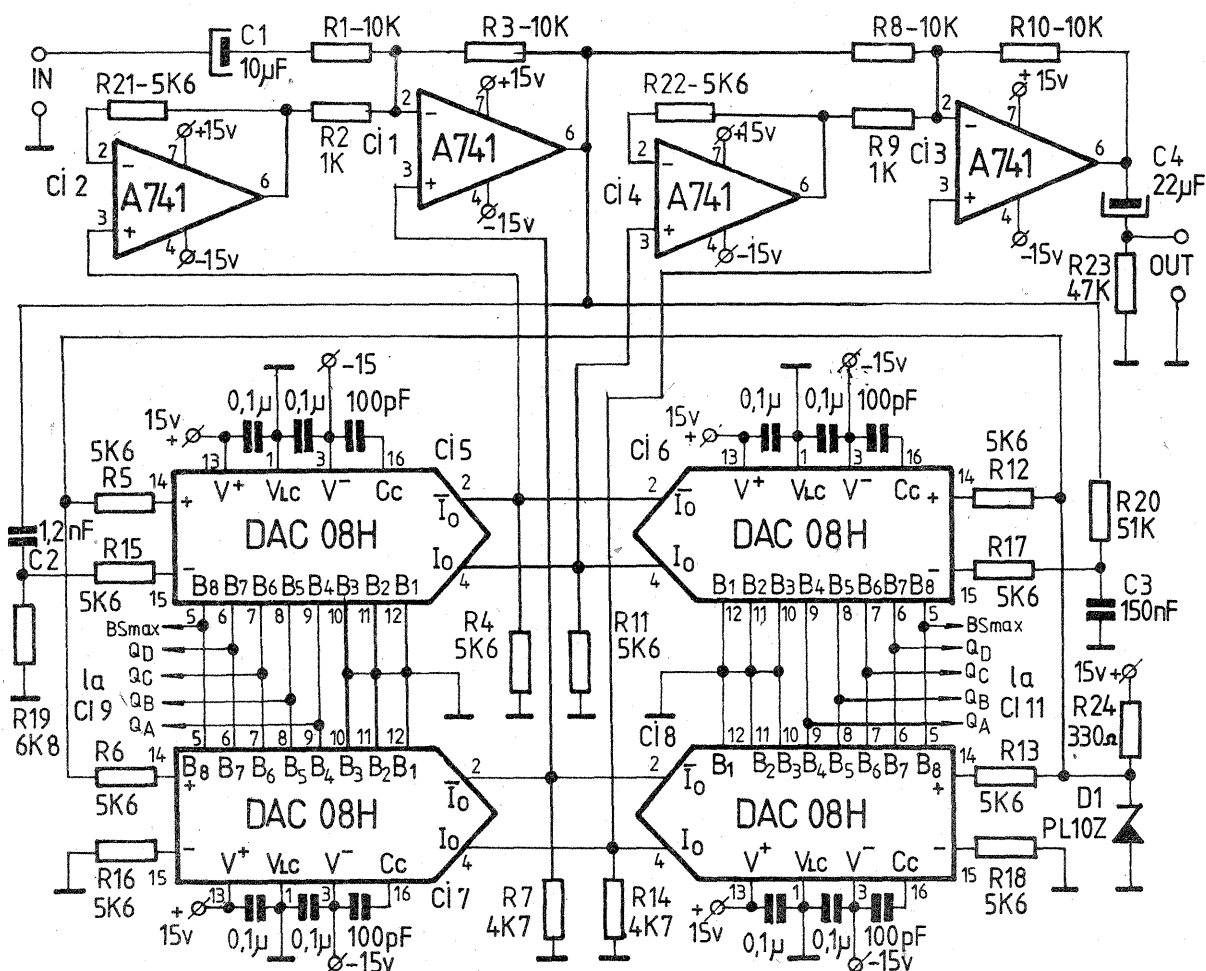
ROW ale lui CI9, CI10 trec în „0” logic, ceea ce va determina în ieșirea porții P7 „1” logic, implicit resetarea numărătoarelor. Se formează astfel o reacție BORROW-RESET care va menține numărătoarele în starea „00000” (ieșirea BORROW este „00000” cu COUNT BORROW). La următorul impuls de tact, după apariția stării „11111”, ieșirea Q<sub>B</sub> a lui CI10 va trece în „1” logic, ceea ce va determina prin intermediul tranzistorului T1 încărcarea asincronă în numărătoare a numărului „11111”. Pentru comanda CDA în 6 biți, baza tranzistorului T1 se va conecta la ieșirea Q<sub>C</sub> a lui CI10. Pentru comanda în 8 biți se vor elimina tranzistorul T1, rezistențele R10, R9, condensatorul C3, ieșirea CARRY a lui CI10 legându-se la intrările LOAD ale lui CI9, 10. La alimentarea montajului grupurile R8-C2, R10-C3 determină încărcarea numărătoarelor cu „1110”, ceea ce asigură poziția de mijloc, a „potențiometrului”, semnalul audio nefiind atenuat. Se poate selecta orice nivel la pornire, prin conectarea corespunzătoare a intrărilor de încărcare (pentru „0” logic, acestea se vor conecta la condensatorul C2). Porțile P5, P6 formează un circuit basculant astabil cu T = 0,5 s. Conectarea logică de comanda la CDA se va face prin conectarea BS<sub>max</sub> a logicii de comandă la BS<sub>max</sub> a CDA. S-a preferat această conectare (în loc de BS<sub>min</sub>) pentru a asigura o amplificare unitară ansamblului CDA — convertor curent — tensiune, cit și pentru a minimiza eroarea ce apare în cazul accentuării frecvențelor joase sau înalte (față de valoarea calculată mai sus) în cazul comenzii în mai puțin de 8 biți.

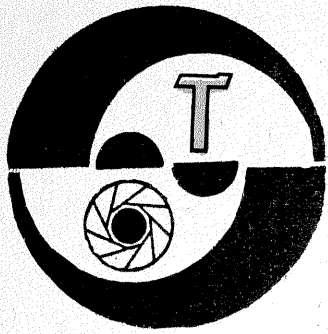
Pentru valorile din schemă se obține o amplificare de ±20 dB la 20 Hz, respectiv la 20 000 Hz. Amplitudinea semnalului de intrare nu va depăși 300 mV pentru a asigura un nivel redus al distorsiunilor. În tabel se prezintă numărul de trepte de corecție și eroarea la ac-

centuare în cazul comenzii în 3 ÷ 8 biți. Montajul va fi alimentat cu ±15 V (60 mA) pentru partea logică și +5 V (150 mA) pentru cea logică.

## BIBLIOGRAFIE:

1. M. Bodea ș.a., Circuite integrate liniare. Manual de utilizare. vol. 4, București, Editura Tehnică, 1980.
2. C. Bulucea, M. Vais, H. Profeta, Circuite integrate liniare, București, Editura Tehnică, 1975.
3. I.P.R.S.-Băneasa, Catalog de circuite integrate digitale.





## PENTRU APARATUL DE FOTOGRAFIAT

M. M.

Trăim într-o zonă geografică în care numărul de zile ploioase este destul de ridicat. Și dacă nu ne plouă, ne ninge, sau vântul spulberă nisipul plajei și ni-l suflă în aparat. Acesta este motivul pentru care posesorii de aparate fotografice

evită folosirea lor pe vreme proastă, chiar și în concediu, când dispoziția și disponibilitatea pentru fotografiere sînt mult mai ridicate. Și cîte imagini bune nu se pierd deoarece ploaia, ninsoarea, vîntul sînt elemente care dau dinamică imaginii,

iar natura și oamenii pot fi prinși în ipostaze inedite.

Acestea sînt argumentele pentru confecționarea accesoriului pe care vi-l propun.

Ansamblul apărătoare este constituit din două părți:

a) o pungă de plastic care protejează aparatul de fotografiat, transparentă și cît mai maleabilă pentru manevrarea comenzilor aparatului prin ea;

b) montură de prindere pe aparat, cu flanșe pentru prinderea pungii și un filtru UV pentru protejarea lentilei frontale a obiectivului de intemperii.

Modul asamblării se vede în figura 1.

Se decupează în pungă o gaură rotundă  $\varnothing 55$  și se fixează pe montură (poz. 1), strîngîndu-se cu inelul filetat (poz. 2) între două garnituri de cauciuc cu grosimea de 0,6—1 mm. Filtrul UV (poz. 4) se fixează cu inelul (poz. 3).

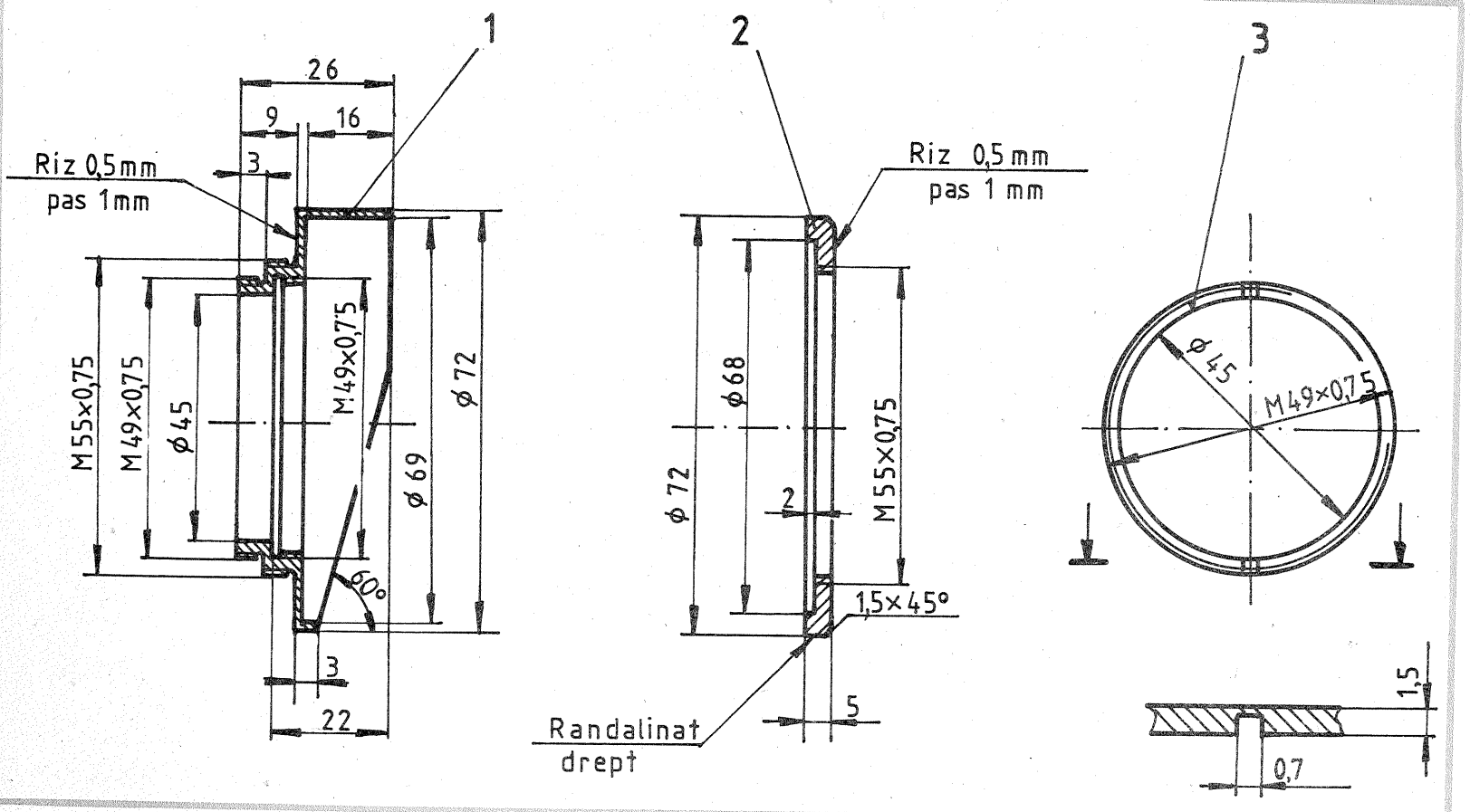
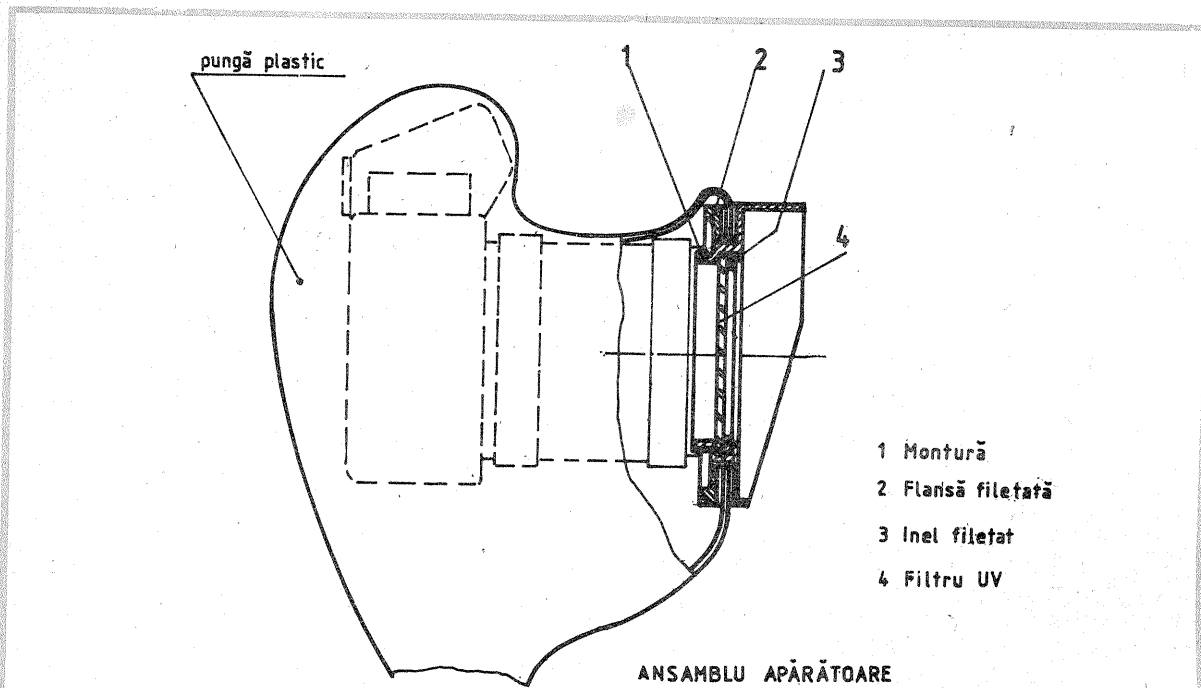
Pungile mici nu permit vizarea prin aparat, punerea la punct făcîndu-se pe inelul de profunzime al obiectivului, iar cadrarea orientativ (după cîteva exerciții, preferîndu-se superangularele).

Folosirea unei pungii mai mari (de exemplu cele de haine, din comerț) poate proteja, alături de aparat, și pe operator, acesta manevrînd aparatul din interiorul pungii.

Apărătoarea frontală a monturii are o formă ce nu permite intrarea picăturilor de ploaie spre obiectiv.

Teșitura inferioară la  $60^\circ$  se execută după stabilirea poziției, prin înșurubare completă pe obiectiv.

După executarea lor din dural, piesele se vor eloxa negru mat.





# DISPOZITIV PENTRU COPIAT FILM

Prof. MICKEY D. MOCIORNIȚĂ

Sînt nenumărate ocaziile în care fotoamatorul dorește să copieze prin contact un film. În acest fel, el poate obține un pozitiv după negativ sau invers, clișee mai contrastate sau mai compensante, măști, pseudorelief etc.

Se pune întîi pelicula virgină cu

emulsia în sus, apoi clișeul cu emulsia în jos, se presează pentru contact intim și se expune la lumină naturală sau artificială.

Ca dispozitiv de copiere se pot folosi aparate de fotografiat, aparate de mărit, rame speciale de copiat sau o simplă placă de sticlă pusă

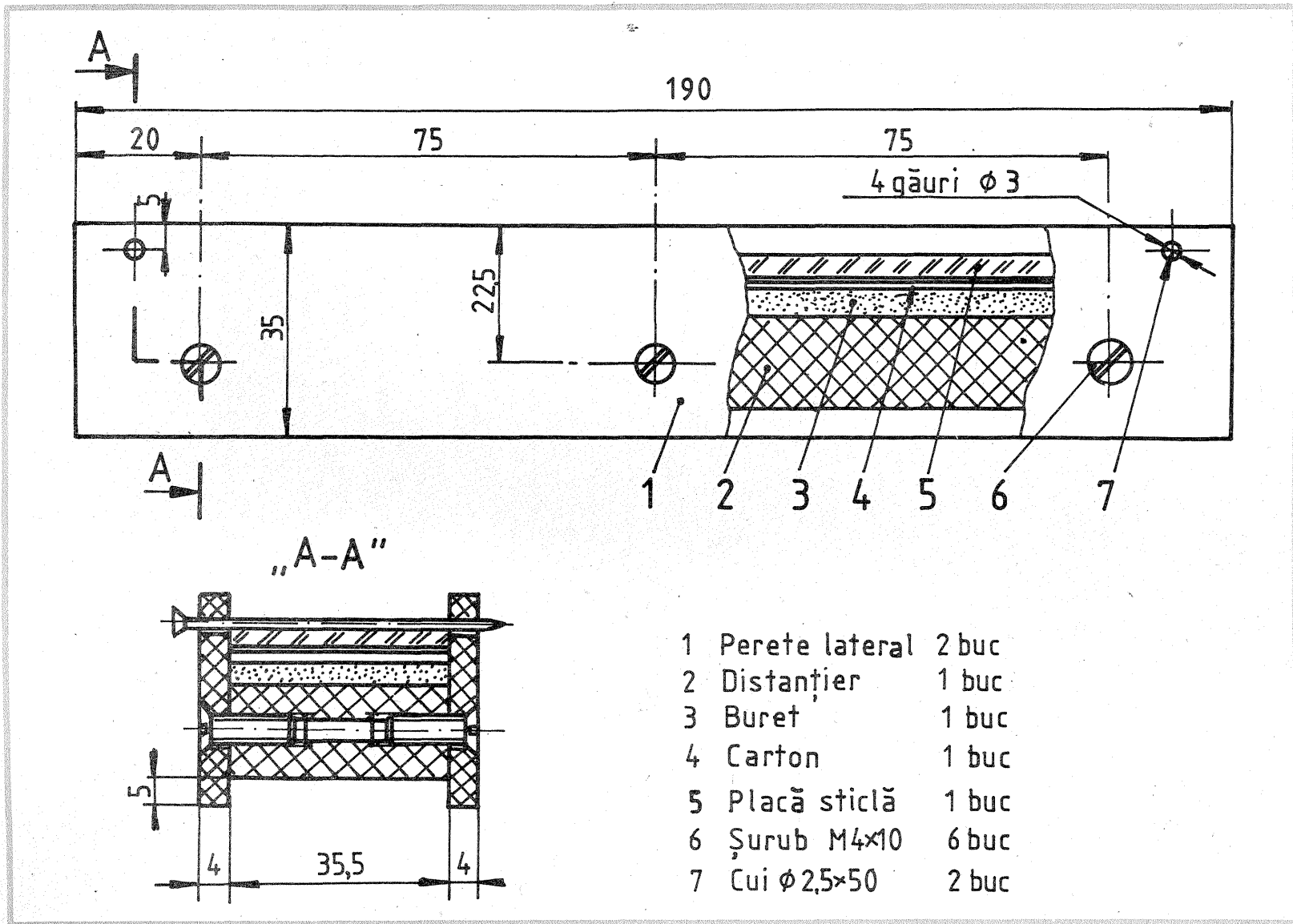
peste cele două pelicule.

Inconvenientul apare la poziționarea celor două pelicule una față de cealaltă, pe întuneric. Pentru aceasta am construit un dispozitiv format dintr-un ghidaj din două plăci de plastic, fixate de un distanțier cu șuruburi.

Peste distanțier am lipit un strat de buret de 5 mm și un carton drept (gros de 2 mm).

Placa de sticlă care le presează este fixată cu două cui  $\varnothing 2,5$  mm, forța de apăsare obținindu-se prin comprimarea stratului de buret. Pentru film de 60 mm, distanțierul, buretele, cartonul și geamul se fac cu lățimea de 60,5 mm, iar în locul cuielor se folosesc bucăți de an-drele.

Lungimea dispozitivului permite copierea de ștraifuri de film de 35 mm de 5 imagini și necesită o iluminare de la cel puțin 0,8 m (în caz contrar se observă diferența de iluminare între imaginea din centru și cele marginale).



## ȘTIȚI CE ESTE JCII?

Fiz. GH. BĂLUTĂ

Adeea pe aparatele sau accesoriile fotografice de fabricație japoneză se întâlnește o etichetă aurie de formă ovală, purtînd inscripția PASSED și inițialele JCII. Pentru cei care s-au întrebă ce se „ascunde” sub aceste inițiale, precizăm că este vorba de denumirea prescurtată a unui organism guvernamental japonez, intitulat Japan Camera Inspection Institute, însărcinat cu controlul calității aparatului optic și de luat vederi destinată exportului. El supune aparatul la un set complet de teste specifice și acordă aprobarea pentru export.

În cazul aparatelor fotografice se efectuează controlul etanșeității la lumină a camerei, se verifică planeitatea filmului, corectitudinea vitezelor obturatorului în centrul și la

marginile cadrului, fiabilitatea acestuia (testul celor 100 000 de declanșări), corecta funcționare a expometrului, sensibilitatea spectrală a fotocelulei, spectrul de transmisie al lentilelor obiectivului, definiția imaginii și contrastul în centrul și la marginile cadrului, corectitudinea valorilor diaframelor afișate pe obiectiv, funcționarea aparatului în gama de temperatură garantată, rezistența la șocuri și vibrații, izolarea electrică a accesoriilor care pot prezenta pericol de electrocutare (blitzuri, proiectoare) ș.a.

Aparatele sînt supuse la întregul set de încercări atunci cînd sînt testate pentru prima oară și apoi de cîte două ori pe an — cîte trei exemplare. Independent de aceasta, din fiecare lot exportat se prele-

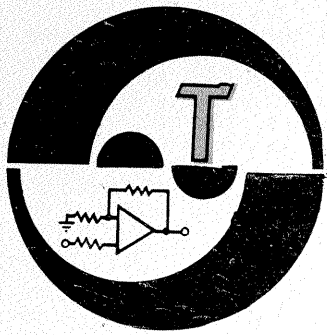
vează un număr de exemplare care sînt testate parțial.

Același institut acordă și un calificativ pentru designul aparatelor. Dacă aspectul și concepția au un caracter original, pe eticheta ovală se adaugă inițialele JMDC ale Japan

Machinery Design Center.

Între altele, eticheta respectivă constituie o garanție pentru calitatea aparatului, o dovadă că a „tre-cut” testele și a fost admisă pentru export.





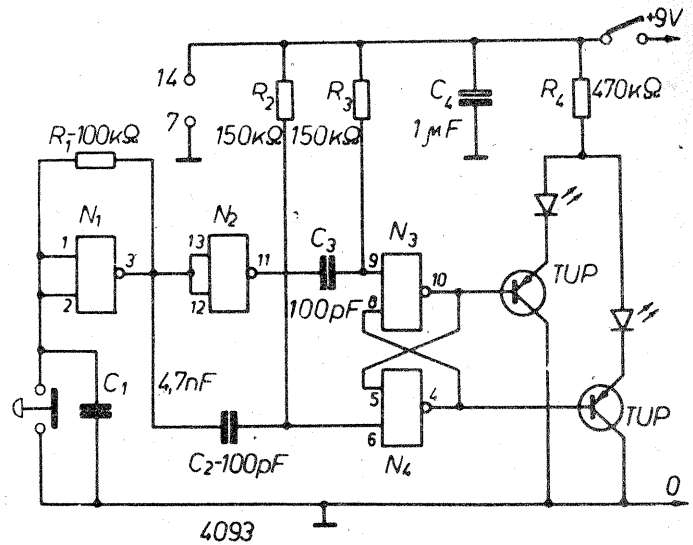
## AMUZAMENT

Sint multiple jocuri în care partenerii își aleg anumite situații prin aruncarea unei monede, de exemplu, la începerea unei partide de fotbal.

Schema electrică simulează cele două rezultate posibile prin coman-

darea celor două diode LED. În componența acestui montaj sint incluse două tranzistoare BC177 sau echivalente și un circuit CMOS tip 4093.

ELEKTOR, 8/1982



## AMPLIFICATOR

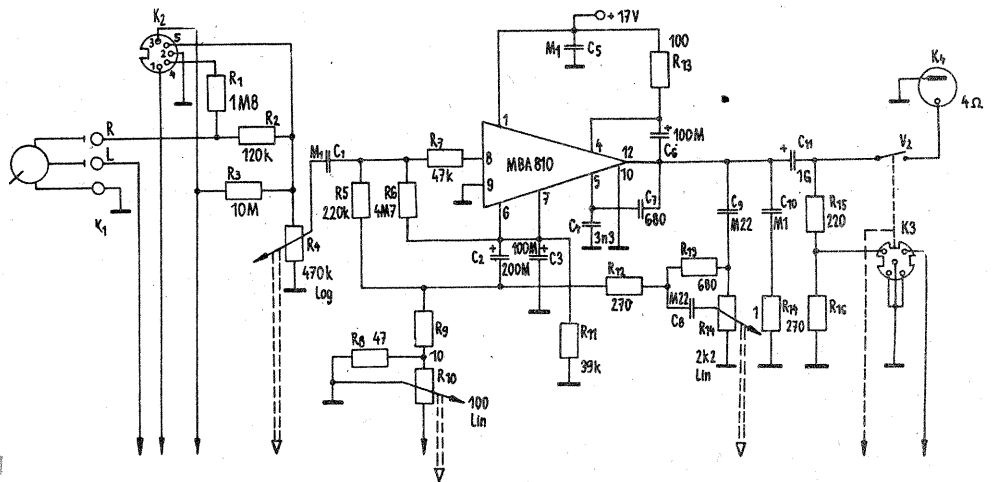
Construit cu un circuit integrat TBA810, particularitatea acestui amplificator constă în faptul că primește semnal direct de la o doză piezoceramică.

La intrare sint plantate circuite RC de corecție pentru intrarea de doză piezo și pentru intrare cap magnetic.

În schemă sint prevăzute legăturile la canalul alăturat pentru construcție în varianta stereo.

Alimentarea se face cu 17 V și se obține o putere de ieșire de 5 W pe 4Ω. La ieșirea amplificatorului este plantată o mufă pentru audiția în căști.

VTM, 22/1986



## RECEPTOR

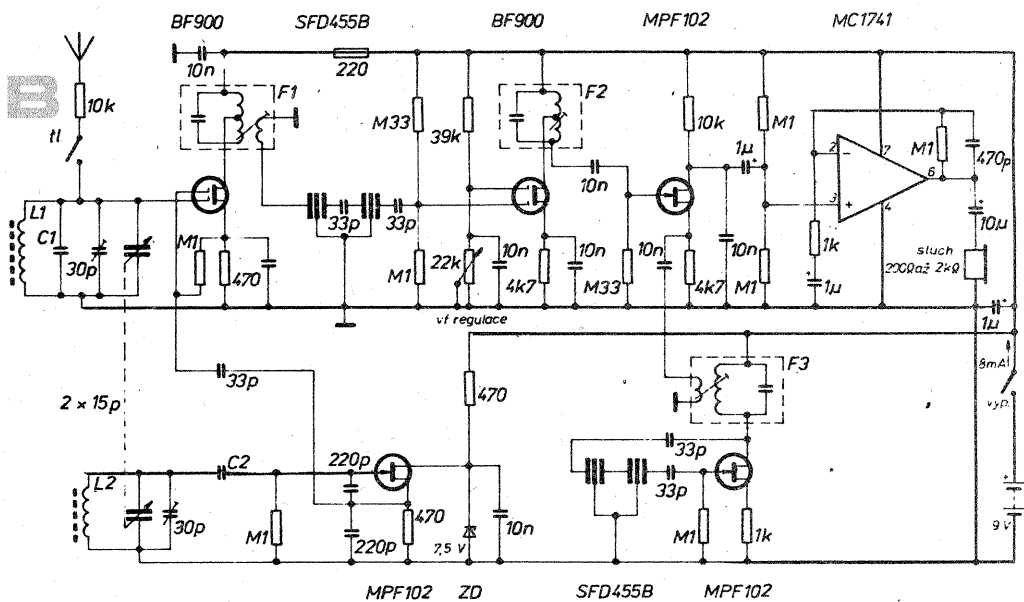
Semnalul de la antena este mixat de un tranzistor MOS-FET BF900 și în circuitul de drenă se obțin 455 kHz. Acest produs de modulație este trecut prin filtru ceramic și amplificat tot de un tranzistor BF900, tranzistor la care se poate regla manual amplificarea prin polarizarea unei porți. Următorul etaj primește și semnal pentru refacerea purtătoare la emisie SSB. De remarcă modul cum este construit oscilatorul de 455 kHz.

Bobina de intrare L1 are 11 spire din CuEm 0,5 dacă C1=100 pF. Bobina L2 are 45 de spire din CuEm 0,2 pentru C2=470 pF, ambele bobine realizându-se pe carcasa pentru US de la radioreceptoare. Transformatoarele F1 sint de producție industrială.

Oscilatorul lucrează pe frecvențe cuprinse între 3 995 și 4 255 kHz pentru a se acoperi gama recepționată de 3,5 — 3,8 MHz.

AMATÉRSKÉ RADIO, 10/1989

SSB



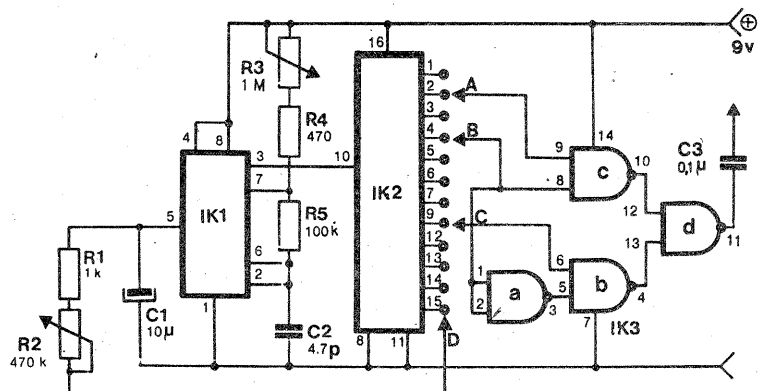
## GENERATOR

Montajul permite obținerea unor semnale AF cu diferite nuanțe sonore, cum ar fi: efect de fading, vibrare, percucie etc. Toate combinațiile se stabilesc prin combinarea conectării terminalelor A, B, C, D la

ieșirea circuitului IK2. În schemă IK1 este BE555, IK2 este un circuit 4020, iar IK3 este de tipul 4011.

Ieșirea generatorului se aplică la un amplificator.

TEHNIČKE NOVINE, 10/1988







# MICROELECTRONICA

VĂ OFERĂ:

## MIND

### MICROCALCULATOR MODULAR

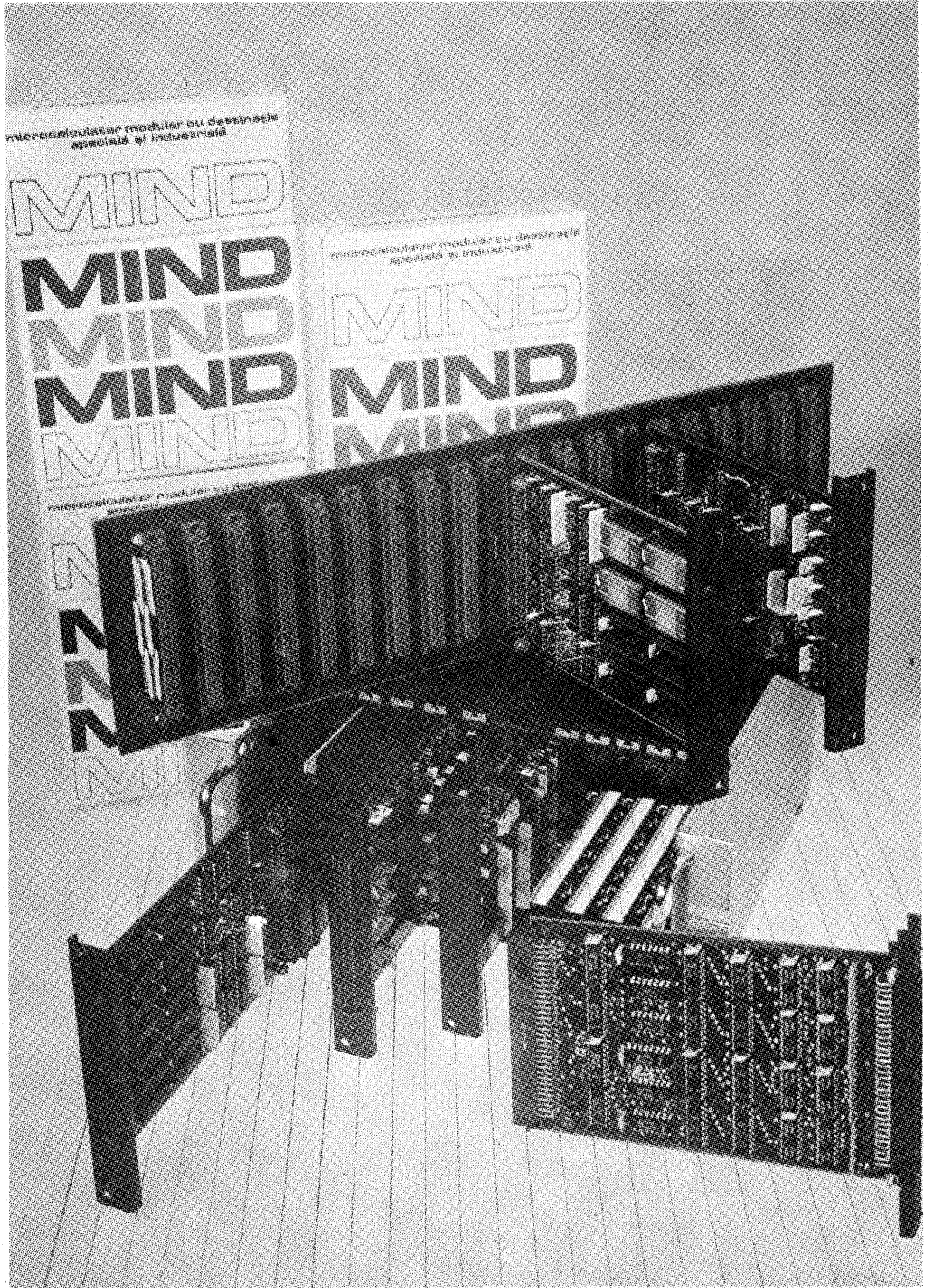
Facilități de utilizare specifice sistemelor **MIND**.

- modulele **MIND** oferă posibilitatea realizării unor sisteme de control „pe măsură”, configurația minimă putînd fi alcătuită dintr-un singur modul
- extinderea ulterioară a unor configurații inițiale reduse este facilitată de magistrala standard prezentă pe fiecare modul
- utilizează componente electronice standard, ceea ce facilitează depanarea
- sistemele **MIND** au fost gândite pentru a fi folosite pe mașini, utilaje și instalații industriale, în medii cu condiții mai grele și cu nivel de zgomot ridicat
- cheltuielile utilizatorului pentru implementarea acestor tipuri de sisteme sînt reduse și pot fi esalonate pe toată durata evoluției sistemului
- utilizatorul poate dezvolta el însuși module specifice necesităților sale utilizînd plăci universale.

### CARACTERISTICI TEHNICE GENERALE ALE FAMILIEI MIND

**MIND** este un microcalculator modular configurabil de către utilizator, realizat cu circuite integrate din familia **MMN80** și **CMOS** seria 4 000, cu următoarele caracteristici:

- Margine de zgomot ridicată (min. 2 V)
- Consum redus (tipic 5 V/150 mA, 12 V/50 mA)
- Domeniu extins de temperatură (-50°C...+70°C)
- Formatul modulelor este simplu EUROCARD (100 mm x 160 mm)
- Sistemul acceptă extensie I/O pînă la 512 porturi (8 biți) și de memorie pînă la 128 kocteți
- Prezintă modulele de întrerupere 0, 1, 2, caracteristice microprocesorului **MMN 80 CPU**, prioritatea la întreruperi fiind stabilită de poziția modulului în „DAISY CHAIN”, și este maximă în prima poziție din sertar
- Tensiuni de alimentare:  $\pm 5$  V,  $\pm 12$  V pentru sistemul extins
- Magistrala sistemului este de tip **STD EX CMOS**, prezentînd următoarele niveluri de tensiune: VIHmin. (nivel de tensiune minim asociat valorii logice "1") = +9 V și VILmax (nivel de tensiune maxim asociat valorii logice "0") = +3 V.



Informații suplimentare puteți obține de la:

**MICROELECTRONICA**  
— București, Str. Erou Iancu Nicolae nr. 34 B,

sector 2, cod 72966, telex 10457 merom r, telefoane 79 41 21 și 33 40 50, int. 594, 595, 306.

**I. MICROELECTRONI-**

**CA** — Suceava, telefon 987/10699.

**I.E.I.A.** — Cluj-Napoca, telefon: 951/15037 (referitor la sursă și sertar).



Cu prilejul Anului Nou 1990, colectivul revistei „Tehnum” urează tuturor colaboratorilor și cititorilor multă sănătate, fericire și spor la muncă.  
LA MULȚI ANI!

# SERVICE

**STROE ION — jud. Vrancea**  
Nu se construiesc în industrie filtre TV oprește-banda.

**AVRAM ȘTEFAN — Oradea**  
Nu avem datele bobinelor din tunerul „Geco”.

**ENACHE FLORIN — Motru**  
Din simpla afirmație „nu merge”, nu putem stabili ce este defect în televizor. Așteptăm precizări.

**POSTELNICU THEODOR — Constanța**

Luați o baterie de 4,5 V și un rezistor de 800—1 000 Ω, alimentați dioda de la baterie prin acest rezistor și o să determinați care este anoda.

La zarul electronic montați un rezistor de 240 Ω. În rest nu deținem date.

**LĂZĂROAIE EUGEN — București**

Lungimile elementelor unei antene Yagi depind de canalul TV pe care lucrează. Planul dipolului este perpendicular pe planul elementelor directoare (variante 1 din desen). Pentru antena colectivă telefonați la 35 32 22.

**PĂRDUT JEAN — Sibiu**  
Nu transformați televizorul în monitor.

Mai comod este să construiți un modulator UHF prin intermediul căruia să introduceți semnalul prin borna de antenă.

**SMERA DĂNUȚ — jud. Iași**  
Construiți două antene cu 9 elemente și amplificator de antenă.

**RADU SÂNDEL — jud. Vrancea**  
Nu deținem date tehnice de la aparatul dv.

**PEȘTERĂU GH. — Buzău**

Montați antenele la distanță mai mare de λ/2.

**IANCU DĂNUȚ — Constanța**  
Verificați starea alimentatorului (condensatoarele de filtrare).

**PALAGHIAN AURELIAN — Focșani**

Dioda 1N914 este echivalentă cu 1N4148; înlocuiți BF180 cu BF181 și ASZ15 cu ASZ17. Tubul PCH200 are echivalent tubul 9V9 și se alimentează cu 9,2 V, curentul fiind 0,3 A. Înlocuiți PCF802 cu PCF82 (direct).

**ALTMANN REALDO — Timișoara**  
Radioreceptorul are antenă încorporată. Bobinați pe bara de antenă 4 spire și cuplați la ele o antenă exterioră.

**BADEA ION — Urziceni**  
În etajul audio la casetofonul „Electronica 302”, în locul circuitului integrat K174YH7 montați circuitul TCA150T fără a opera modificări.

**APOSTOL ION — Oltenița**  
Recepția unor stații de televiziune la foarte mare distanță, cu instalații obișnuite, se produce numai în lunile de vară din cauza unor condiții speciale de propagare a cîmpului electromagnetic.

Alte stații TV afară de cele menționate în scrisoare nu mai pot fi re-

cepționate în localitatea dv.  
**MANOLESCU LIVIU — jud. Călărași**

Nu puteți îmbunătăți recepția construind mai multe antene; totul depinde de condițiile de propagare.

**PURICĂ GH. — Buhuși**  
Scrisoarea a fost remisă uzinei constructoare a amplificatorului.

**MIRCEA GH. — Focșani**  
Filtrele XF9 și EMF500 sunt folosite pentru emisiuni SSB și nu se recomandă a fi montate în cascadă.

Folosiți un filtru LC cu bandă variabilă și un filtru cu bandă fixă de trecere.

**CERCEL EMIL — Alexandria**  
Vă recomandăm să construiți o antenă Yagi cu 3 elemente pentru canalul 2 TV.

**STOIȚA BUJOREL — jud. Constanța**

Este recomandabil să lucrați cu putere audio mai mică, altfel riscați să deteriorați etajul final sau difuzoarele.

**BOBOC FLORIN — jud. Bacău**  
Construcția unei stații de telecomandă necesită în primul rînd o autorizație.

Pentru aprofundarea cunoștințelor în acest domeniu vă recomandăm să luați legătura cu un club de modelism

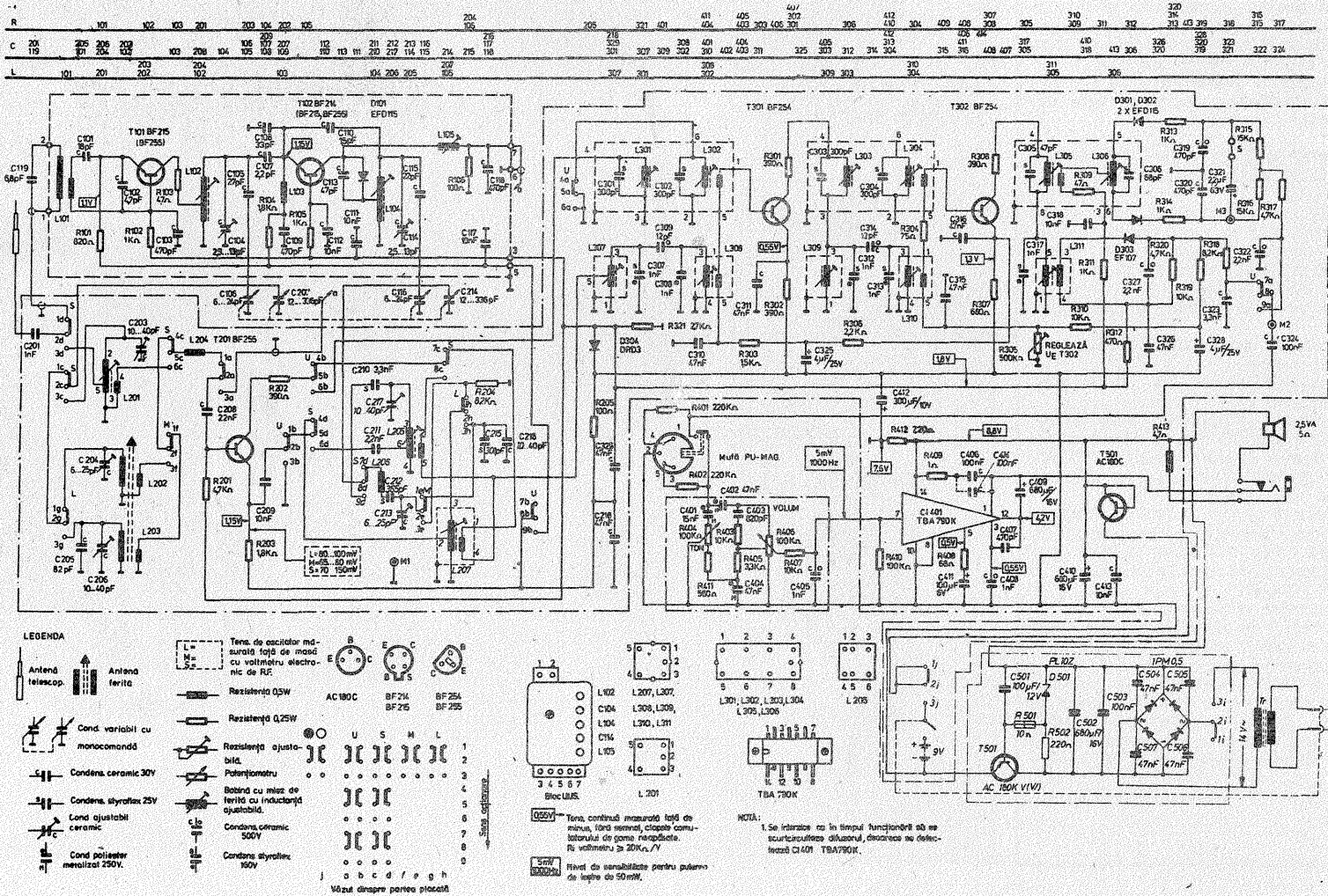
I. M.

# MADRIGAL-2

**PREDA CORNEL — Reșița**  
Radioreceptorul „Madrigal-2”, produs „Tehnoton”—Iași, lucrează în gamele de undă UL (150 — 260 kHz), UM (525 — 1 605 kHz), US

(5,9 — 16 MHz) și UUS (65 — 73 MHz). Se poate alimenta de la 6 baterii R14 sau de la rețeaua de curent alternativ, 220 V. Operînd remedieri în alimentator,

trebuie să cuplați cele patru condensatoare pe brațele punții; desigur și alte valori sînt utile (20 nF — 100 nF).



**Redactor-șef: ing. IOAN ALBESCU**  
**Redactor-șef adj.: prof. GHEORGHE BADEA**  
**Secretar responsabil de redacție: ing. ILIE MIHĂESCU**  
**Redactor responsabil de număr: fiz. ALEXANDRU MĂRCULESCU**

Administrația  
Editura Știința

**INDEX 44212**

**CITITORII DIN STRĂINĂTATE SE POT ABONA PRIN „ROMPRESFILATELIA” — SECTORUL EXPORT-IMPORT PRESĂ, P.O.BOX 12—201, TELEX 10376, PRSFIR BUCUREȘTI, CALEA GRIVIȚEI NR. 64—66.**

Tiparul executat la  
Combinatul Poligrafic „Casa Științei”